



محاضرات في
الأطیاف الجزيئية
(molecular spectra)
dr / hussien mohammed

الفصل الأول
أساسيات عامة لعلم الأطیاف

(1)

مقدمة

الطيف عباره عن صوره مجموعه من الاشعاعات مرتبه في اتجاه معين حسب اطوال موجاتها وان الطيف الذي تسجله الاجسام هو نتيجة لحدوث تفاعل بين الاشعاعات الكهرومغناطيسية وبين مكونات المادة بحيث ينتج عن هذا التفاعل تغيرات في الطاقة يمكن تسجيلها هذا التفاعل له نوعان ؛ احدهما ناتج من تفاعل المجال الكهربائي المتذبذب *oscillating* للفوتون مع شحنه كل من الالكترون او الانويه ؛ وهذا يؤدي الى حدث امتصاص لأشعة ذات تردد *frequency* محدد. والنوع الثاني ؛ عندما يمتلك الجزيء قوه قطبيه؛ فان التفاعل قد يحدث مع المجال المغناطيسيي المتذبذب *oscillating* الذي يصاحب حركة الفوتون ؛ وامتصاص الطاقة ذات التردد *magnetic frequency* المحدد ينتج لنا ما يسمى باسم التأرجح المغناطيسي *magnetic resonance*؛ هذا التفاعل يترتب عليه انتقالات للإلكترون مصحوبه بتغير اتجاه القوه المغناطيسية ؛ او مصحوبه بآعاده توجيه *reorientation* النواة والمغناطيسية *magnetic electron and nuclear resonance*؛ هذه التأثيرات تسمى "التأرجح الالكتروني المغناطيسي"؛ والتأرجح النووي المغناطيسي.

هذا ولاشك احد النتائج الهامه للنظرية الكميه وتطبيقاتها في الاشعاعات الكهرومغناطيسية. ولقد ثبت ان الأشعة عباره عن موجات تتكون من وحدات ان كل شعاع يتكون من وحدات ابعادها "ذيل بلا" حيث "ذ" عباره عن تردد الشعاع . "بلا" عباره عن ثابت بلانك ؛ والوحدة هي

الفصل الأول

أساسيات عامة لعلم الأطیاف

General feature of spectroscopy

تعتبر الأطیاف الجزئیة لدى العاملین في مجال الكیمیاء الفیزیائیة وبقیه العلوم الكیمیائیة والتجربیة وسیله عملیه في ایجاد التراکیب الجزئیة (الهیئات الترکیبیة واطوال وزوایا الروابط او الاواصر) وترددات الاهتزاز ودینامیکیة الجزئیات. ففي الكیمیاء الحركیة مثلما نستخدم التقنية الطیفیة في متابعه تراکیز المواد المتفاولة مقابل الزمن. كما يستخدم العاملون في مجال الكیمیاء العضویة واللاعضویه اطیاف الرنین المغناطیسی ويعتبرونها مفتاح العون في دراسات ایجاد التراکیب.

ويزداد استخدام الأطیاف من قبل الباحثین في علوم الكیمیاء الحیاتیة في دراسة تراکیب و دینامیکیة الجزئیات البایولوجیه . ویلجا الباحثون في مجال التحلیل الكیمیائی الى الأطیاف لمعرفه مكونات النماذج . وسوف نتكلم بدرجه من التفصیل عن الاساس النظیري لكل نوع من انواع الأطیاف وذلك في الفصول القادمة

اما الان فسوف نركز اهتمامنا على طبیعة الأشعة الكهرومغناطیسیة وتفاعلها مع المادة (وهو اساس نشوء الأطیاف) ثم نستعرض الخطوط الطیفیة من حيث شدتھا وشكلھا و العوامل التي تؤثر علیھما

2-1 الأشعة الكهرومغناطیسیة: electromagnetic radiation

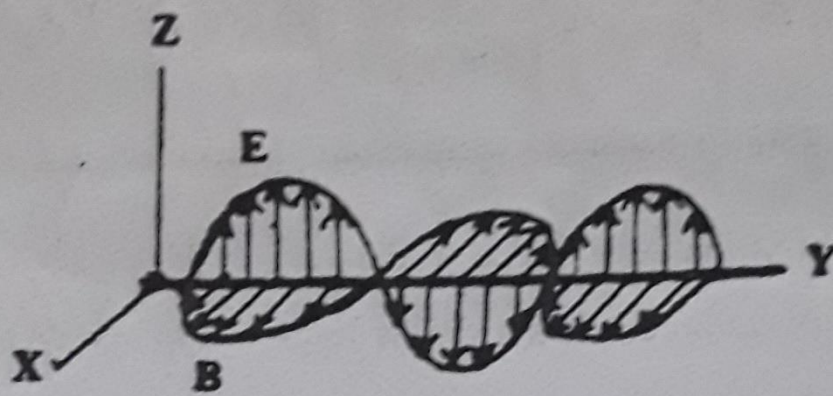
لاحظ توماس يونغ في عام 1801 تداخل الضوء interference of light عندما عانی سیل من الضوء حیودا diffraction عند ثقب صغير وهذا السلوك يعكس الطبیعة الموجية للضوء وتتضمن الموجه اهتزازا في حيز space وفي زمان. والسؤال الذي يطرح نفسه الآن هو: "ما هي الكمیه الفیزیائیة المھتزة في موجه ضوئیة؟" جاء الجواب من قبل ماکسویل في عام 1860 بعد اشتقاء لمعادلات تفاضلیة أساسیة للكهربائیة والمغناطیسیة. فقد تنبأت هذه المعادلات شيئاً لم يكن معروفاً آنذاك نصیغه کالآتي "تبعد الشحنة الكهربائیة المعجلة طاقة بشکل موجات کهرومغناطیسیة تسیر بسرعة v_{cm} في حيز مفرغ vacuum حيث :

$$v_{cm} = (4 \wedge \epsilon_0 \times 10^{-7} \text{ Ns}^2 \text{ C}^{-2})^{-1/2} \quad \dots (1-1)$$

و عند تعويض القيمة العملية لنفاذية الحيز المفرغ ، ϵ_0

$$\epsilon_0 = 8.854 \times 10^{-12} \text{ C}^2 \text{ N}^{-1} \text{ m}^{-2}$$

في معادلة (1-1) سنحصل على قيمة لـ v_{cm} مساوية لـ $2.998 \times 10^8 \text{ ms}^{-1}$ وهذه تمثل القيمة العملية لسرعة الضوء في حيز مفرغ . وهكذا فقد اقترح ماكسويل بان الضوء يتكون من موجات كهرومغناطيسية وهذه الموجات تتكون من مجالين مهتزرين **Oscillating fields** كهربائي ومغناطيسي . وان متجهي **vectors** E و B يكونان عموديين على بعضهما البعض وكذلك عموديين على اتجاه مسار الضوء كما يوضحه الشكل (1-1) أدناه :



الشكل (1 - 1) : جزء من موجة كهرومغناطيسية مستقطبة المتنوى .

وكما هو واضح في الشكل بان \mathbf{u} هو اتجاه مسار الموجات الكهرومغناطيسية . اما المتجهان فيعطيان قيمان \mathbf{E} و \mathbf{B} عند نقاط على المحور \mathbf{u} في كل لحظه من الزمن ، وبمرور الوقت تتحرك القمم (peaks) والمنخفضات (valleys) او (troughs) الى اليمين .

لا يعتبر الشكل (1-1) وصفاً كاملاً للموجة، لأنّه يعطي قيمة E و B فقط عند نقاط على المحور z ولكن من أجل أن نوصّف الموجة الكهرومغناطيسية بصورة كاملة يجب أن نعطي قيمة للمتجهات الثلاثة لكل من E و B عند كل نقطة في منطقة من الحيز الذي تتحرك خلاله الموجة. ويقال الموجة المبينة في الشكل (1-1) بأنّها مستقطبة المستوى ويعني ذلك بأن جميع متجهات E تقع في نفس المستوى.

نحصل على مثل هذه الموجة من تذبذب الإلكترونات إلى الخلف إلى الأمام في سلك مستقيم . في حين يعتبر الضوء المنبعث من مجموعه من الذرات أو الجزيئات الساخنة (كضوء الشمس مثلاً) غير مستقطب تتوزع فيه متجهات المجال الكهربائي باتجاهات مختلفة عند نقاط مختلفة من الحيز. وعلى أية حال يبقى E للموجة غير المستقطبة عمودياً على اتجاه مسار الموجة.

يعرف الطول الموجي λ wavelength بانه المسافة بين قمتين متتاليتين successive. أما الدورة cycle الواحدة فتمثل ذلك الجزء من الموجة الواقع بين اثنين من القمم المتتالية او بين اي نقطتين متتاليتين لهما نفس الطور phase . . و يعرف تردد Frequency الموجة بأنه عدد الدورات المارة بنقطه معينه بوحدة الزمن.

فإذا اجتازت 7 من الدورات نقطه معينه بوحدة الزمن ، فإن الزمن الذي تستغرقه دورة واحدة للمرور بتلك النقطة هو $1/7$ وبذلك ستقطع القمه مسافه بوقت مداره $7/1$. وإذا كانت c تمثل سرعة الموجة ، عندئذ تكون المسافة مساوية لسرعة مضروبة بالزمن اي ان:

$$\lambda = c \left(\frac{1}{v} \right) \text{ او } \lambda v = c$$

ويعطي التردد غالباً بوحدات s^{-1} (مقلوب الثانية) والوحدات بالنظام الدولي تعطي التردد وحدات الهرتز (Hz) وهي تكافئ s^{-1} ونذكر مضاعفات الهرتز كالاتي :

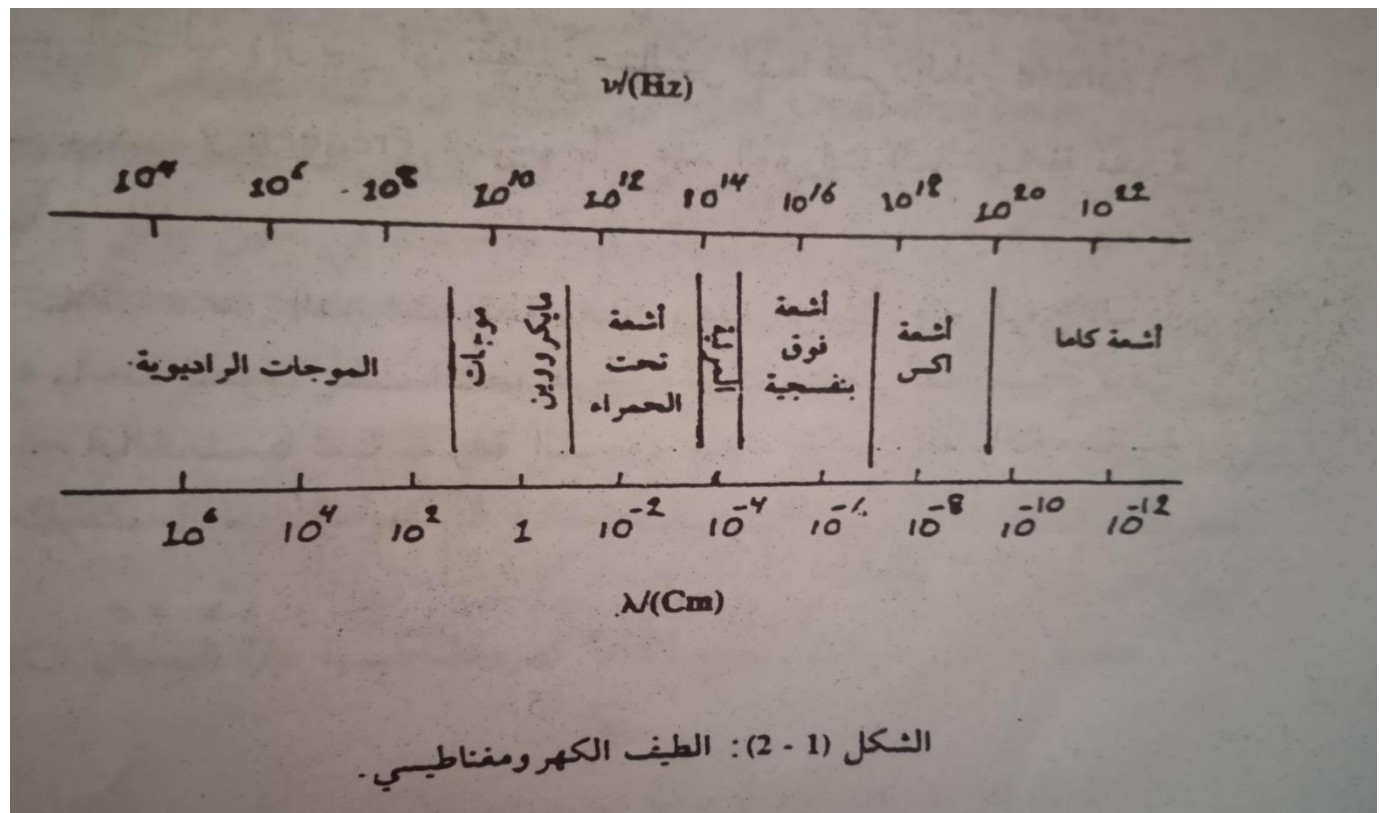
(5)

$$1\text{GHz} = 10^9 \text{Hz}, 1\text{MHz} = 10^6 \text{Hz}, 1\text{KHz} = 10^3 \text{Hz}, 1\text{Hz} \equiv 1\text{s}^{-1}$$

اما الوحدات الشائعة الاستخدام للطول الموجي هي الأنجدستروم A° والمایکرومیتر μm والنانومیتر nm و ذكر العلاقة بينها كما يلي :

$$1\text{A}^\circ \equiv 10^{-8} \text{cm} = 10^{-10} \text{m}, 1\mu\text{m} = 10^{-6} \text{m}, 1\text{nm} = 10^{-9} \text{m} = 10^\circ \text{A}$$

وهناك تعبير اخر يكثر استخدامه في علم الاطياف ، هو العدد الموجي $\text{wave number cm}^{-1}$ وهو مقلوب الطول الموجي: $\nu = \frac{1}{\lambda}$ وغالبا يعبر عنه بوحدات cm^{-1} تكون العين البشرية حساسة للأشعة الكهرومغناطيسية ذات الطول الموجي المحصور ضمن المدى 400nm (الضوء البنفسجي) الى 750nm (الضوء الاحمر) يعطي الشكل (1-2) الطيف الكهرومغناطيسي وهو مدى الترددات والاطوال الموجية لل WAVES كهرومغناطيسية.



وقد اجري تقسيم الطيف الكهرومغناطيسي الى مناطق متعددة لتسهيل التعامل معها ولكن في الحقيقة لا توجد حدود حاده بين المناطق المجاورة.

(6)

تسير جميع ترددات الأشعة الكهرومغناطيسية (الضوء) بنفس السرعة هي c وتساوي $2.998 \times 10^{10} \text{ cm s}^{-1}$ في حيز مفرغ. وإذا رمزا لسرعة الضوء في المادة B بالرمز c_B فان النسبة c/c_B لتردد معين من الضوء تمثل تعبيرا يعرف بمعامل الانكسار $n_B = c/c_B$ للمادة B لذلك التردد. وندون أدناه بعضا من قيم n_B عند درجه حراره 25°C وضغط جو واحد 1atm وللضوء الاصفر للصوديوم بطول موجي 5893°A

الزجاج	كلوريدي الصوديوم	ثنائي يوديد المثان CH_2I_2	ثنائي كبريتيد الكربون CS_2	الأيثانول	البترزن	الماء	الهواء
1.9-1.5	1.53	1.75	1.63	1.36	1.50	1.33	1.0003

ويستخدم الباحثون في مجال الكيمياء العضوية معامل الانكسار كخاصيه مقاسه لتساعدهم في تشخيص السائل .

ان مرور الضوء من ماده الى اخرى يؤدى الى انكساره بسبب الاختلاف في السرعة في المادتين. اما مقدار الانكسار فيعتمد على نسبه سرعتي الضوء في المادتين وبالتالي فهو يعتمد على معاملات الانكسار للمواد .

تعني حقيقه اعتماد n (معامل الانكسار) لماده على التردد v ان الضوء ذا الترددات المختلفة ينكسر بمقادير مختلفة. وهذه الحقيقة تساعدنا في فصل او تشتت الموجة الكهرومغناطيسية الحاوية على العديد من الترددات الى مكوناته التردديه. وكمثال على ذلك هو تشتت الضوء الابيض بواسطه المنشور *prism* الزجاجي الى الالوان: الاحمر، البرتقالي، الاصفر، الاخضر ،الازرق، البنفسجي.

ان ما ذكرنا لحد الان حول الأشعة الكهرومغناطيسية يتمثل بإعطاء الصورة الكلاسيكية عن الضوء، وعلى اية حال، اقترح اينشتين في عام 1905 بان التفاعل

بين الأشعة والمادة يمكن فهمه بصوره مثلى عندما نتصور وجود طبيعة جسيمية للضوء، اي تكونه من كمات particle nature (فوتونات) وطاقة الكم الواحد تساوي $h\nu$. وان اتجاه زيادة التردد في الشكل(1-2) هو اذن يمثل اتجاه ازدياد طاقة الفوتونات.

وعلى الرغم من ان الصورة الكلاسيكية للأشعة الكهرومغناطيسية (بكونها ناتجة من شحنه كهربائية معجله) تعتبر مناسبه لحاله توليد الموجات الراديوية waves من قبل الکترونات متحركة بدرجه من الحرية في سلك معدني (تمتلك مثل هذه الالكترونات مدى مستمرا continuous range من الطاقات المسموحة) الا ان انباع او امتصاص الأشعة من قبل ذرات او جزيئات يمكن فهمه فقط بواسطه فيزياء الكم quantum physics . حيث ان النظرية الكميه للأشعة تصور عمله انباع او امتصاص الفوتون كنتيجة للانتقال بين مستويين طاقتين مسماوهين في ذره او جزيئه.

3-1 تفاعل الأشعة الكهرومغناطيسية مع المادة:

تعامل التقنية الطيفية مع كل التفاعلات بين الأشعة الكهرومغناطيسية والمادة. ومن بين ما تضمنه هو امتصاص وانباع وتشتت الأشعة بواسطه المادة . تدعى مجموعه الترددات الممتصة من قبل نموذج ب طيف امتصاص تلك المادة . وتشكل الترددات المنبعثة طيف انباع. اما طيف الخطوط line spectrum فيحتوي على ترددات منفصله discrete frequencies في حين يمثل وجود مدى مستمر من الترددات بالطيف المستمر او المتصل continuous spectrum . فمثلا نجد ان المواد الصلبة المسخنة تعطي طيف انباع مستقر كما هو الحال مع اشعه الجسم الاسود. في حين يعطى الغاز المسخن عند ضغوط ليست عاليه جدا طيف خطوط تعود للانتقادات بين المستويات الطاقية المسموحة (وفقا لميكانيك الكم) لجزئيات الغاز المستقلة .

عندما تعرض جزيئات نموذج لا شعه كهرومغناطيسية فان المجال الكهربائي للأشعة سيسلط قوه (متغيره مع الزمن) على الشحنات الكهربائية (الالكترونات والنووى). ومن اجل معالجه تفاعلات الأشعة مع المادة نحتاج الاستعمال ميكانيك الكم

(8)

وبالاخص معادله شروdonker المعتمدة على الزمن، وطالما ان هذه المعالجة تتضمن تفاصيل رياضيه معقده فسوف لا ننطرق اليها و سنكتفي بذكر النتائج فقط .

توضح معالجه ميكانيك الكم بان تعريض جزئيات في حاله استقرار m الأشعة الكهرومغناطيسية قد يسبب في امتصاصها لفوتون ذا تردد ν مناقلا ايها الى حالة طاقيه اعلى n . يتم هذا في حاله كون تردد الأشعة الممتصه يحقق المعادله:

$$E_n - E_m = h\nu$$

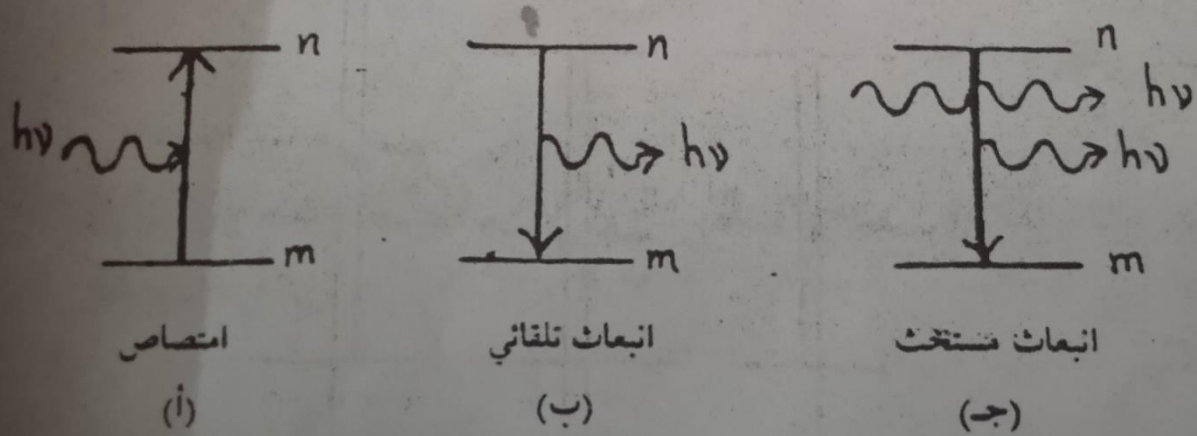
كما هو واضح في الشكل (1-3أ)

ان وجود جزيئه في حاله استقرار n (وبغياب الأشعة) يمكنها ان تنتقل تلقائيا الى الحاله الطاقية الاوطن m باعثه فوتون بتردد يحقق المعادله spontaneously

$$E_m = h\nu - E_n$$

وهذا يدعى بالانبعاث التلقائي للأشعة(لاحظ الشكل (1-3ب)).اما عند تعريض جزيئه في الحاله n الي اشعة كهرومغناطيسية ذات تردد ν يتحقق المعادله $E_n - E_m = h\nu$ فإنه سيزيد من احتمالية انتقال الجزيئه الي الحاله الاوطن m مع ابعاث فوتون بتردد ν . ويدعى الانبعاث الحاصل نتيجة للتعريض للأشعة الكهرومغناطيسية بالانبعاث المستحدث stimulated emission (لاحظ الشكل (1-3ج))

(9)



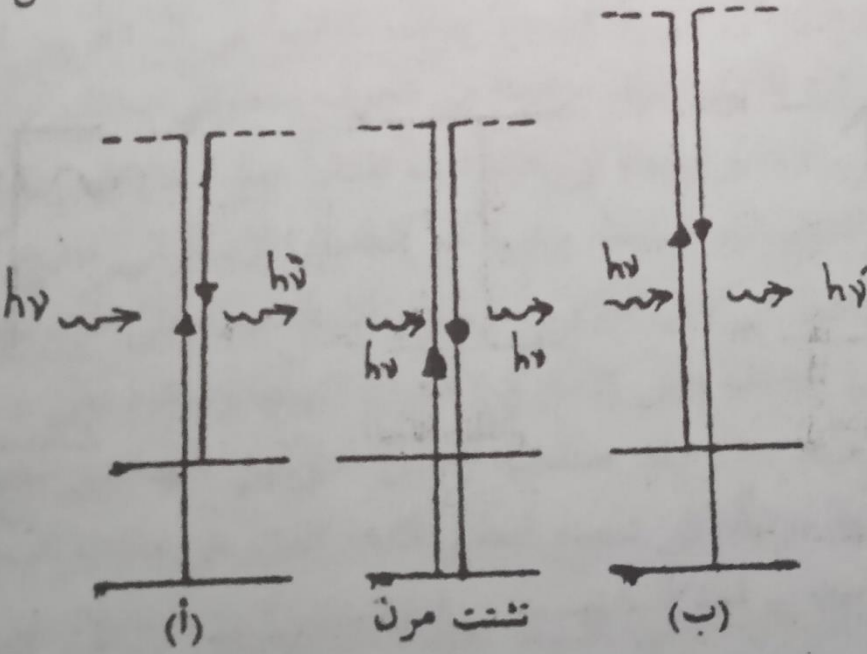
الشكل (١ - ٣): الامتصاص والابعاث التلقائي والمنتخت للأشعة بين الحالتين m و n .

وكما هو معروف من حسابات ميكانيك الكم ، اعبر الحالات الالكترونية electronic states لجزئية متباينة طاقياً عن بعضها البعض بدرجة اكبر مما للحالات الاهتزازية vibrational states واكبر بكثير مما للحالات الدورانية rotational states.

تعود الانتقالات بين الحالات الالكترونية الجزيئية الى الامتصاص في منطقتي المرئية وال فوق البنفسجية . اما الانتقالات الاهتزازية فتعود الى الامتصاص في منطقة الاشعة تحت الحمراء ، والاطياف الناتجة هي اطياف امتصاص الاشعة تحت الحمراء في حين تعود الانتقالات الدورانية الى الامتصاص في منطقة المايكروويف والاطياف المقابلة لها تعرف بأطیاف امتصاص المايكروويف.

وعندما تتشتت scattered الاشعة الكهرومغناطيسية الساقطة على نموذج فان ترددات جديدة ستظهر ، وذلك لأن الفوتون سيكتسب او سيفقد طاقة خلال تصادمه مع جزيئات النموذج والطيف الناتج يعرف بطيف رaman spectrum . و اذا حدث تهيج لجزيئات بواسطة الضوء خلال التصادم فان الجزيئات سوف تسحب بعضا من طاقة الفوتون وبذلك يظهر الضوء المتشتت عند تردد او طأ ما هو للضوء الساقط كما هو في الشكل (1-4أ). اما اذا كانت الجزيئات مسبقا في حالة متهيجة قبل تصادمها مع الضوء الساقط عندها ستذهب الجزيئات طاقة وبالتالي فان الفوتونات الناشئة ستظهر كضوء ذو تردد اعلى في الاشعة المتشتتة (لاحظ الشكل (1-4ب))

(10)



الشكل (١ - ٤): شنت رامان.

و قبل ان ننهي هذا الجزء ، نؤد ان نذكر هنا صوره مبسطه عن الليزرات :lasers
ان كلمه ليزر جاءت من الحروف الاولى للكلمات الانجليزية التالية
amplification by stimulated
(وتعرفيها هو تضخم الضوء بواسطه الأشعة
الابعائية المستحثه).

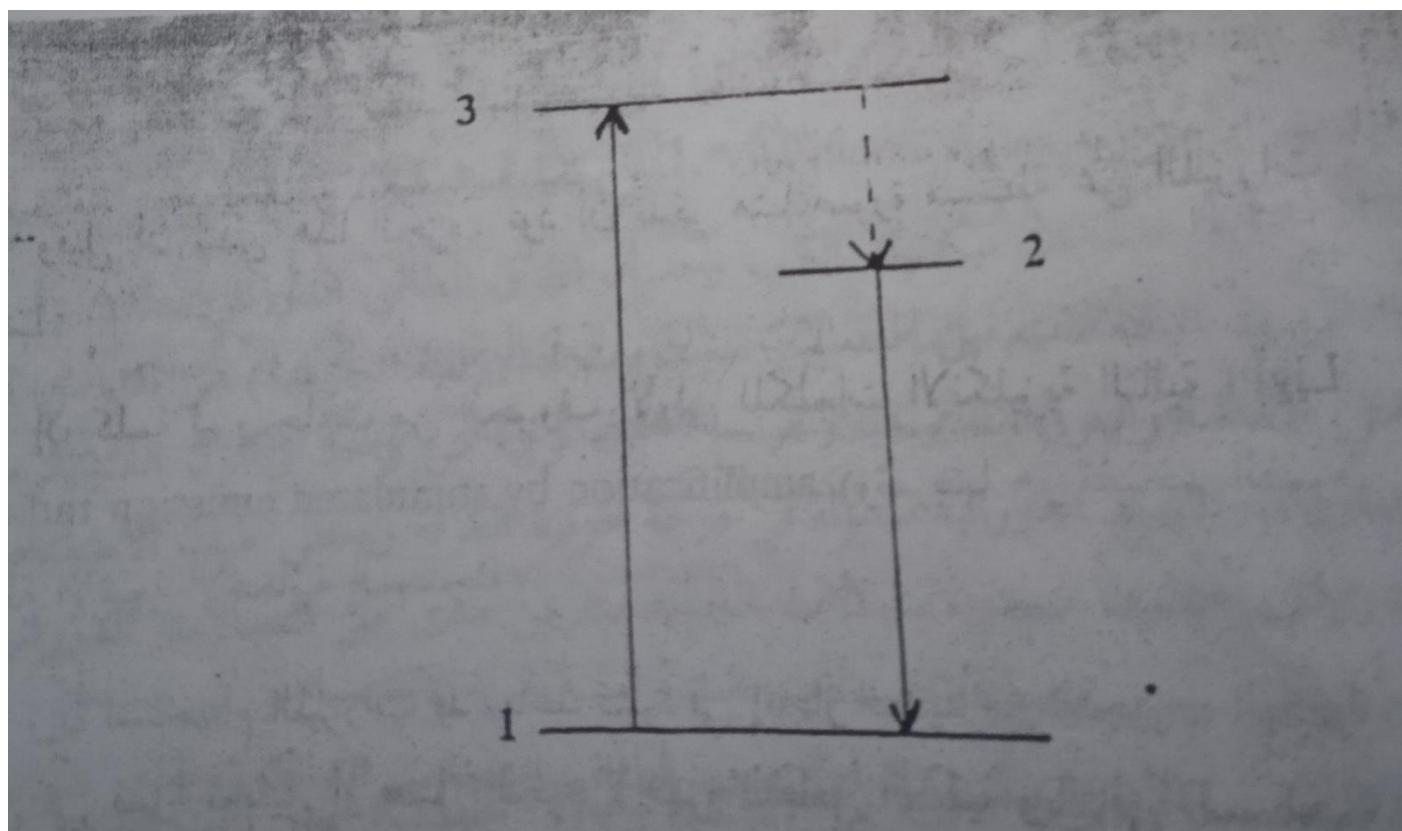
وان استخدام الليزرات قد ساعد كثيرا في انجاز العديد من التجارب الطيفية و حسن
في قدرة تحليل او فصل الحزم لأجهزه القياس الطيفية وبالتالي المساهمة في
الحصول على معلومات طيفيه دقيقه . ان نفع الليزر يتم بعد احداث انقلاب او تحول
في تعداد (او عدد) population inversion الجزيئات في النظام ؛(وهذه هي
حاله اللاتوازن وفيها عدد الجزيئات في الحاله المتهيجه excited state اكثره مما
هو موجود في الحاله الدنيا lower -lying state) ولنرمز للتعداد والطاقة في
الحالتين (المتهيجه والدنيا) ب N_1 و E_1 و N_2 و E_2 على التوالي(وان $E_2 > E_1$)
(،ولنفترض عندنا انقلاب في التعداد بحيث $N_1 > N_2$. و الان ستقوم الفوتونات (ذات
التردد ν_{12} والمساوي ل $E_2 - E_1 / h$) المنبعثة تلقائيا من جراء نزول الجزيئات من
الحاله(2) الى الحاله(1) على حث stimulate جزيئات اخرى في الحاله(2)

(11)

على بعث emit فوتونات بتردد ν_{12} والنزول الى حالة (1) كما هو موضع بالشكل (3-1ج) اعلاه .

ان الفوتونات ذات التردد ν_{12} قد تؤدي الى حدوث عملية امتصاص absorption والانتقال من حالة (1) الى حالة (2) ولكن طالما ان النظام فيه $N_1 > N_2$ فهذا يعني ان الانبعاث المستحدث سيكون هو السائد على عملية الامتصاص وبالتالي سنحصل على تضخيم لاسعه ذات التردد

ينبعث الفوتون المستحدث في نفس الطور مع الفوتون الذي انتج انبعاثه ويسير معه بنفس الاتجاه. ولكي نرى كيفيه حصول انقلاب التعداد وفعل الليزر laser action نننظر في المخطط التالي ؛ الذي فيه تظاهر المستويات 1؛2؛3 المتضمنه في فعل الليزر :



و عند استخدام تفريغ كهربائي electric discharge او ضوء منبعث من مصباح وميضي flash lamp فانه يمكن لبعض الجزيئات ان تهيج من المستوى

(12)

الارضي ground - level (مستوى 1) الى المستوى (3)). واذا افترضنا ان المصير الاكثر احتمالا للجزئيات في المستوى (3) هو اعطاء طاقه بشكل سريع الى الجزيئات المحيطة والنزول الى المستوى (2) من دون انباع اشعه، واذا افترضنا ايضا ان الاحتمالية للانبعاث التلقائي من مستوى (2) الى المستوى الارضي (1) هي قليله جدا ، عندئذ سوف يزداد التعداد في المستوى (2) بسرعه وسيفوق ما هو موجود في المستوى الارضي (1) معطيا بذلك انقلابا في التعداد بين المستويين (1) و (2). ان نظام الليزر يكون موجودا في مجوف اسطواني يمتلك مرآيا متوازية عند نهايتيه . وفي البداية تتبعت فوتونات قليله تلقائيا عند انتقال الجزيئات من (2) الى (1). وان الفوتونات المنبعثة بزاويه مع المحور الاسطواني تخرج بعيدا عن النظام ولا تختل دورا في فعل الليزر، اما الفوتونات المنبعثة على طول محور الليزر فإنها ستتحرك الى الخلف والى الامام بين المرآيا النهاييه وستقوم على حث انباع فوتونات اخرى بتردد f_{12} . وقد صممت احدى المرآي النهايتيين بحيث تكون مقابله لنفاذ الأشعة جزائيا لكي تسمح لبعض اشعه الليزر من مغادره المجوف.

يعتبر نتاج الليزر احادي التردد monochromatic ، وموجه directional وشديد intense ومجاته متناسبة الطور (متلازم) coherent ويوجد العديد من الليزرات و ان المواد المستخدمة في فعل الليزر قد تكون صلبه او سائله او غازا. اما التردد المنبعث فقد يقع في منطقه الأشعة تحت الحمراء او المرئية او فوق البنفسجية.

4-1 شده الخطوط الطيفية : Intensity of spectral lines

تتضمن الاطياف خطوطا لها شدات مختلفة، بعضها عالي الشده والآخر ضعيف. وهناك خطوطه تتوقع وجودها ولكنها لا تظهر على الاطلاق. انه من الصحيح ان الجزيئية تمتلك مستويات طاقيه مفصولة بمسافه طاقيه ΔE ولكن في مثل هذه الحالات لا يشخص الامتصاص او الانبعاث عند تردد $\frac{\Delta E}{h} = v$. والان من اجل متابعه هذا التباين في شده خطوط الاطياف وعدم ظهور بعض خطوط الامتصاص او الانبعاث لابد من دراسة علاقه الشده بعدد الجزيئات الموجودة في الحالات الطاقية المختلفة

وكذلك معرفه قدره الجزيئات على امتصاص او بعث الفوتونات.

1-4-1 عدد الجزيئات والشده: Population and Intensity

ما نلاحظه في علم الاطياف في الاغلب هو امتصاص او انبعاث الأشعة الكهرومغناطيسية من مجموعه جزيئات عديده غازيه او سائله او صلبه .تحتل الجزيئات حالات طاقيه مختلفه وفقا لقانون التوزيع لبولتزمان Boltzman distribution .ويلاحظ الامتصاص من قبل حاله طاقيه معينه فقط عندما يوجد عدد من الجزيئات في تلك الحاله .ولنحاول متابعيه عدد الجزيئات في الحالات الدورانية والاهتزازية و الالكترونية تحت ظروف مألفه: يعطي قانون التوزيع لبولتزمان عدد الجزيئات النسبي (او التعدد النسبي) للحالتين اوز كال التالي:

$$N_i/N_j = e^{-(E_2 - E_1)kt} \quad \dots \dots (2-1)$$

حيث N_i و N_j تمثلان عدد الجزيئات في الحالتين i و j .اما k فهو ثابت بولتزمان .

و عند درجه حراره الغرفة يكون :

$$kT = 4.1 \times 10^{-21} \quad J = 0.026 \text{eV}$$

ومن حسابات ميكانيك الكم، وجد ان الفرق الطaciي الدوراني ΔE_{top} (او ما يدعى بالمسافة الطaciية الفاصلة بين المستويات الدورانية الجزيئية) هي اقل من kT عند درجه حراره الغرفة وبذلك تصبح $e^{-E_{top}/kt}$ قريبه من واحد ويكون العديد من مستويات التهيج الدورانية ما هوله في درجه حراره الغرفة ويعطي طيف الامتصاص الدوراني خطوطا نتیجة لانتقالات الجزيئات من مدى من الحالات الدورانية المأهولة.

ان تردد الاهتزاز ν يساوي $\frac{1}{2\pi}(\mu/k)^{1/2}$ حيث k يمثل ثابت القوه وتشير μ الى الكتله المختزله او الكتله المصححة reduced mass (ولجزئيات ثقيلة ثنائيه الذرة مثل Br_2 و I_2) تعطي القيمه العاليه للكتله المختزلة ترددًا مقارباً 10^{10}s^{-1} وفرق طaciي اهتزازي ΔE_{vib} مساوياً تقريباً 0.04eV وهو مقارب لقيمة kt عند درجه حراره الغرفة وعندئذ لجزئيات ثقيلة ثنائيه الذرة يوجد عدد لا باس به من الجزيئات في مستوى تهيج طaciي اهتزازي واحد او اكثـر عند درجه حراره الغرفة

(14)

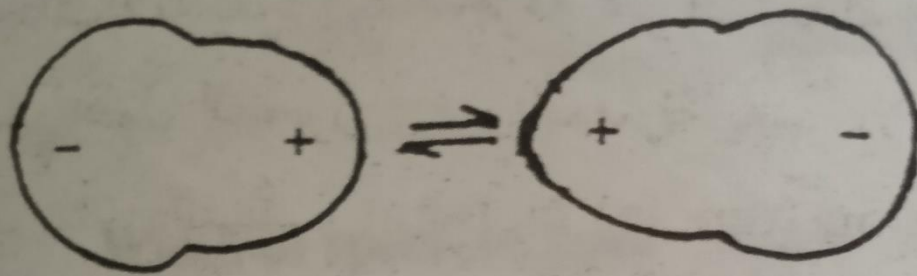
اما الحال مع جزيئات ثنائية الذرة خفيفة نسبيا (مثل H_2, HCl, CO, O_2) فهي تمتلك تردد اهتزاز بحدود 10^{14} s^{-1} وفرق طaci اهتزازي مقارب ل 0.4 eV هذه القيمة هي اكبر بكثير من kT عند درجه حراره الغرفة وبهذا فان $e^{-E_{\text{tot}}/kT}$ سيكون صغيرا وستحتل جميع الجزيئات تقريبا المستوى الاهتزازي الاو طا او مستوى اهتزاز حاله الاستقرار ground vibrational level عند درجه حراره الغرفة. وطالما ان الفرق الطaci الالكتروني E_{et} هو اكبر بكثير من kT عند درجه حراره الغرفه فانه بصوره عامه لا تحمل الجزيئات حالات التهيج الالكترونية عند درجة حراره الغرفة وبالتالي فان طيف الامتصاص الالكتروني يعطي خطوطا الناتجه من جزيئات في حالات الاستقرار الالكترونية . Electronic ground states

1-4-2 قواعد الاختيار: Selection Rules:

ان الفكرة الأساسية هنا تتلخص كالتالي *تولد موجة كهرومغناطيسية ذات تردد ν بواسطة ثنائي القطب الكهربائي Electric dipole المهزز عند التردد ν . ولنرى كيف يتم تطبيق هذه الفكرة على انواع مختلفه من انتقالات الانبعاث او الامتصاص .

أ- الانتقالات الدورانيه :

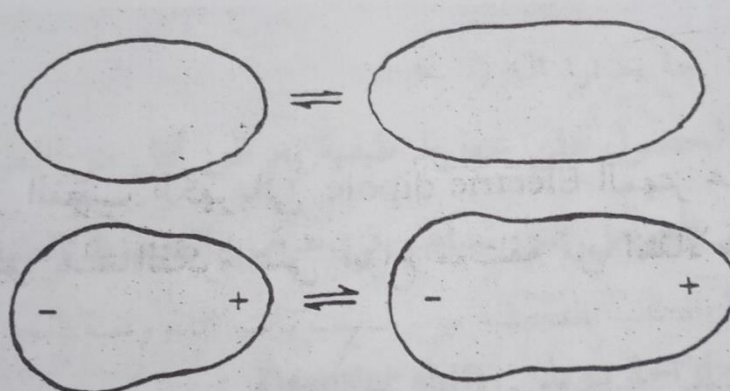
تظهر الجزيئات الحاويه على عزم دائمي ثبائي القطب permanent dipole عند دورانها كثنائي القطب المتموج fluctuating dipole moment (لاحظ الشكل(1-5)). وسوف لا يرى المراقب (او جهاز القياس) الموجود في مستوى الدوران ثبائي القطب المتموج عندما لا تحمل الجزيئه ثبائي القطب الدائمي وهذا يمكن للجزيئات التي تمتلك عزوم دائميه ثبائيه القطب فقط ان تبعث او تمتص أشعة من خلال الانتقال بين الحالات الدورانية المختلفة.*



الشكل (1 - 5) : جزيئه قطبية دوارة

بــ الانتقالات الاهتزازية:

عندما يحدث امتطاط للروابط bending او احناء bond stretching خلال عملية اهتزاز الجزيئية فان عزم ثنائي القطب قد يتغير وهناك بعض الاهتزازات لا تغير عزم ثنائي القطب الجزيئي (مثل حركة الامتطاط لجزيئات ثنائية الذرة المتجانسة كجزيئه النيتروجين، لاحظ الشكل(1-6))، و سوف لا يكون هناك تفاعل مع، او بعث اشعه وهكذا *فالاهتزازات المصحوبة بتغيير عزم ثنائي القطب فقط يمكنها ان تتهيج بواسطه او تبعث اشعة كهرومغناطيسية*



الشكل (1 - 6) : الجزء العلوي يمثل جزيئه غير قطبية.

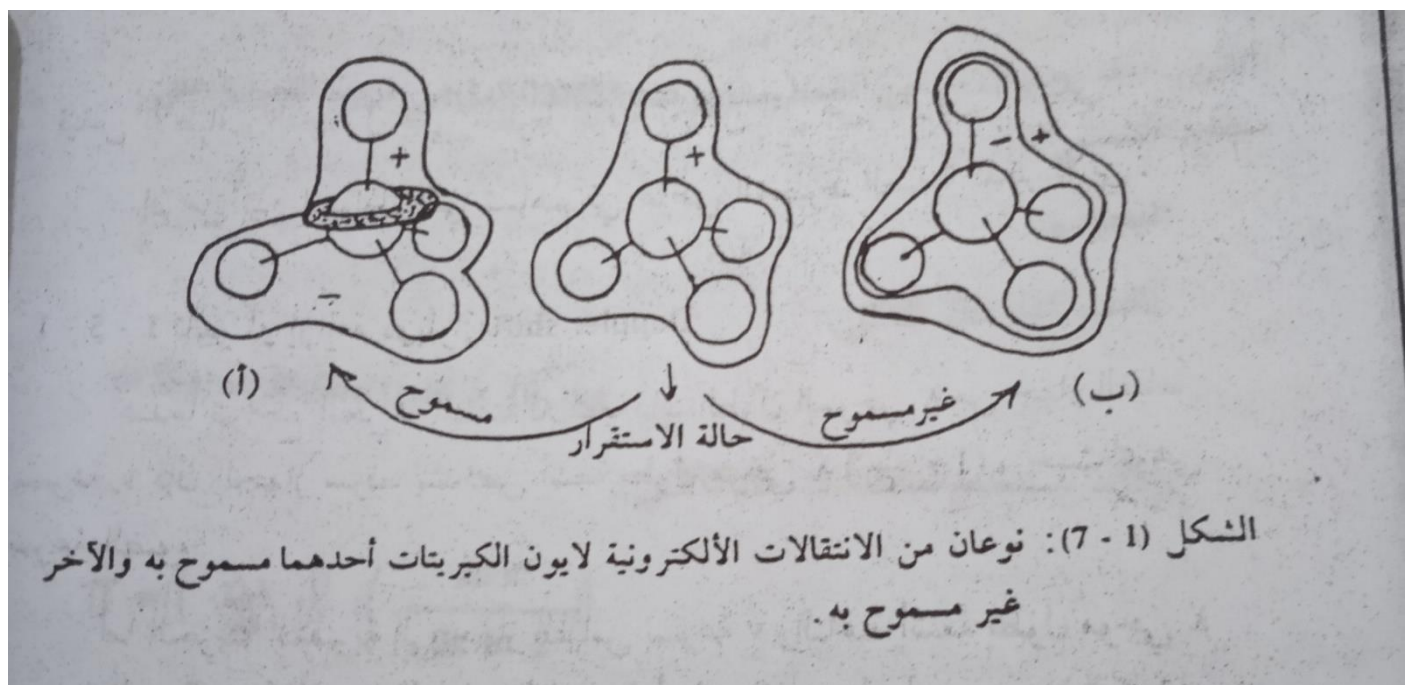
الجزء السفلي يمثل اهتزاز جزئية قطبيه وهو مصحوب بتغيير عزم ثنائي القطب

جـ- الانتقالات الإلكترونية:

ان عزم ثنائى القطب لجزيئه قد يتغير خلال التوزيع الإلكتروني فإذا حدث اعاده توزيع الكترون بشكل متماثل او (بشكل متناظر symmetric) فسوف لا يكون هناك تغيير في عزم ثنائى القطب ويبقى الانتقال غير مسموا به forbidden transition .

فمثلا في حالة ذره (التي قد لا تمتلك عزم دائمي ثنائى القطب) يعتبر الانتقال $P_z \rightarrow S$ مسموا وذلك لأنه يعود الى الحركة غير المتماثلة للشحنة على طول المحور Z و بالمقارنة يعتبر الانتقال $1S \rightarrow 2S$ متماثلا و قيمه عزم الانتقال ثنائى القطب تساوي صفراء وبالتالي فان احتماليه الانتقال تساوي صفراء ويقال له بالانتقال غير المسموح به . وفي حالة الجزيئات ، ينبغي ان نفترض عن نفس النوع من عزم الانتقال ثنائى القطب المصاحب لا عاده توزيع الشحنة .

ولنأخذ المثال الواضح في الشكل (1-7) بخصوص ايون SO_4^{2-} . يعتبر الانتقال الذي يعطي الشكل (1-7أ) مسموا (لأنه يمتلك عزم انتقال يشابه نوعياً لذلك العائد للانتقال $p_z \rightarrow S$ في حالة الذرة) في حين يمتلك الانتقال الثاني المشار له في الشكل (1-7ب) والذي يشابه الانتقال $S \rightarrow S$ في حالة الذرة عزم انتقال مساو للصفر وبذا فهذا الانتقال يكون غير مسموح به .



لقد ركزنا لحد الان على الاساسيات العامة التي يمكن ان تمتلكها الجزيئية لا عطاء

(17)

طيف انباع او امتصاص. و تعني كلمه الاساسيات العامة هنا قاعده الاختيار الجمالية. اما التغيرات المسموحة في عدد (او اعداد) الكم (s) quantum number(s) الكم selection rule (s) قاعده او قواعد الاختيار (s) النظام.

5-1 عرض الخطوط الطيفية: width of spectral lines

يعرف عرض الخط او الامتصاص الطيفي على اساس انه العرض الكلي المقاس عند منتصف الارتفاع وسنري هنا بعض الاسباب التي تجعل خطوط الامتصاص او الانبعاث تنتشر على مدى من الترددات.

تتضمن اجهزه قياس الاطياف على شق صغير ميكانيكي تمر من خلاله الأشعة قبل سقوطها على الشخص وان فتحة هذا الشق ليست ضيقه بدرجه متاهيه جدا ولذلك سوف يسمح لمدى من الترددات وليس لتردد منفرد بالمرور وبالتالي سيضيف توسيعا الى العرض الطبيعي للخط الطيفي (ينشا العرض الطبيعي للخط الطيفي بسبب كون تعين المستويات الطاقية لأنظمة الذرية او الجزيئية بصوره مضبوطة غير ممكن) ولا تستطيع اجهزه قياس الاطياف الحصول على خطوط طيفية بعرض اقل من العرض الطبيعي.

ان من بين العوامل التي تساهم في عرض الخطوط الطيفية ذكر الاتي

1-5-1 تأثير او ازاحه دوبлер: Doppler shift

عندما تتراجع الجزيئية الباعثة للأشعة ذات الطول الموجي λ من من جهاز القياس بسرعه v فان الجهاز سوف يشخص اشعه بطول موجي $\lambda' = \lambda / (1 + v/c)$ ، حيث c هي سرعه الضوء.

ام الجزيئية المقتربة الى جهاز القياس بسرعه v والباعثة اشعه بطول موجي λ' فسوف تظهر بالنسبة الى جهاز القياس الثابت وكأنها تبعث عند طول موجي $\lambda = \lambda' / (1 - v/c)$ وكما هو معروف بان السرعه الجزيئية في الحالة الغازية قد تصل قيم عاليه جدا لذا نتوقع من جهاز القياس ان يرى مدي من الاطوال الموجية (العائدة لمجموعه جزيئات عاليه السرعة) في الضوء الذي يشخصه او يقيسه .فهناك جزيئات تتوجه نحو جهاز القياس واخرى بعيده عنه، بعضها سريع واخرى بطئه. وهكذا فان شكل

(18)

الخط الطيفي الذي يتم تشخيصه هو عباره عن مظهر جانبي للامتصاص او الانبعاث الناتج من جميع ازاحات دوبلر في النموذج. ويعطي عرض $\Delta\lambda$ الخط الطيفي بوحده الطول الموجي نتيجة لتأثير دوبلر كالتالي:

$$\Delta\lambda = \left(\frac{2\lambda}{C} \right) \left(\frac{2kt \ln 2}{m} \right)^{1/2} \quad \dots \quad (3-1)$$

ويزداد $\Delta\lambda$ مع ازدياد درجه الحراره وهذا يعود الى ان الجزيئات ستمتلك مدى اوسع من السرعه الجزيئية .

ولأجل الحصول على خطوط بادني عرض ينبغي العمل مع النماذج عند درجات حراره واطئه ويكتسب توسيع دوبلر للخطوط الطيفية اهميه تطبيقيه في تعين درجات الحرارة على سطوح الكواكب الفضائيه وذلك من قياس قيم عرض خطوطها **الطيفية**

مثال: تبعث الشمس خط طيفي Fe^{57} 677.4nm يعود لانتقال في Fe^{57} العالى التأين. وقد وجد ان عرض الخط يساوي 0.0053nm فما هي درجه الحرارة على سطح الشمس؟

الجواب:

نكتب كتله Fe^{57} كالاتي

$$m_{Fe^{57}} = 56.94 \times 1.66 \times 10^{-27} kg$$

والآن نستخدم معادله (3-1) كالاتي:

$$\begin{aligned} T &= \left(\frac{\Delta\lambda}{2\lambda} \right)^2 \left(mc^2 / 2k \ln 2 \right) \\ &= (0.0053nm / 2 \times 677.4nm)^2 \left\{ 9.45 \times 10^{-26} kg \times (2.998 \times 10^8 ms^{-1})^2 / 2 \times 1.381 \times 10^{-23} J K^{-1} \right\} \ln 2 \\ &= 6.8 \times 10^3 K \end{aligned}$$

1-5-2 توسيع العمر: lifetime broadening

عندما نقوم بحل معادلة شرونكر لنظام يتغير مع الزمن فان هذا سيجعل تحديد طاقه المستويات الكميه لهذا النظام بصوره مضبوطة تامة غير ممكنه. فاذا قام نظام

(19)

بتغيير حالته بسرعة $t/1$ (مثلا اذا بقى نظام لزمن t) فان مستوياته الطاقية تكون غير واضحة (غير دقيقة) لمدى بحدود δE حيث ان:

$$\delta E = h/t \quad \dots \dots (4-1)$$

ومن هذا يتضح انه اذا بقيت جزئيه متاهجه لفتره زمنيه t فان طاقتها بدلأ من ان تكون E المضبوطة ستكون في اي مكان ضمن المدى حول δE اما اذا بقى النظام لزمن لا نهاية له (اي ان $t=\infty$) فانه في هذه الحالة فقط يمكن تحديد الطاقة بصورة مضبوطة.

ان العلاقة بين الكميتين العمر والطاقة لنظام تعكس مبدأ اللاذقه لهايزنبرغ uncertainty principle .

لا توجد حاله متاهجه بعمر لانهائي وبذا لا توجد حاله متاهجه تمتلك طاقه محدده بدقة وبالتالي تنتشر الخطوط الطيفية على مدي من الترددات وتوصف الحالات المتاهجه بخطوط طيفيه عريضة اذا كان عمرها قصيرا في حين تعطي خطوطا ضيقه عندما يكون عمرها طويلا

و يعطي مقدار التوسع بواسطه معادله (4-1) واذا عبرنا عن δE ب cm^{-1} ¹ وبالثانوي فهذا س يجعل الصيغة كالتالي:

$$\delta E(cm^{-1}) = 5 \times 10^{-11} / t(s)$$

وفي حاله كون العمر $t=10^{10}$ فان عرض الخط الطيفي (المقابل لهذا العمر) يساوي تقربيا $0.5 cm^{-1}$

اسئله عامه

1) اوجد التردد ، الطول الموجي و عدد الموجه لضوء بفوتونات ذات طاقه لكل فoton $1.00 eV$.

2) يتضمن انتقال ما تغير طaci مقدراه 4.0004×10^{-22} جول لكل جزئيه فإذا

(20)

ووجدت 1000 جزيئه في حاله الاستقرار (أو طأ حالة طاقيه) فما هو التعداد التقريبي للحالة المتهيجه عند الدرجات الحرارية

أ- 29k ج- 290k ب- 145k د- 2900k

وماذا سيكون الجواب في حاله كون التغير الطافي قد اصبح عشر مرات التغير الطافي السابق

(3) ما هو الطول الموجي المزاح (ازاحه دوبлер) للإشارة الضوئية
الحمراء ($\lambda = 660\text{nm}$) عند الاقتراب منها بسرعة 50 مللي بالساعة

(4) استنتاج من العلاقة : $E/h = \delta$ عمر الحاله التي تعطي عرض خط مقداره:

أ- 0.1cm^{-1} ب- 1cm^{-1} ج- 100MHz

الفصل الثاني

Origin of molecular spectra

- اصل أو منشأ الاطياف الجزيئية

- يمكن أن تنفصل الطاقة المصاحبة لجزيئات لثلاث مركبات:-

1- الطاقة الدورانية لجزيئات بالكامل

2- الطاقة التذبذبية للذرارات

3- الطاقة الحركية للإلكترونات في الجزيئات

وأساس هذا الانفصال في الطاقة يرجع إلى حقيقة هامة وهي ان سرعة الإلكترونات تكون أكبر من السرعة التذبذبية للانوية وكذلك لسرعة التذبذبية للانوية تكون أكبر من السرعة الدورانية لجزيئات .

فإذا وضعت هذه الجزيئات في مجال كهرومغناطيسي مثل الضوء فإن طاقة هذا المجال يمكن أن تؤثر على الجزيئات إذا تحقق شرط بوهر للتردد ν وهو frequency

$$\Delta E = h \nu \quad (1)$$

حيث ΔE هي الفرق في الطاقة بين مستويين أساسيين في النظام و h ثابت بلانك و ν تردد الضوء الساقط على النظام و ΔE تعطى المعادلة

$$\Delta E = E'' - E'$$

حيث E'' تمثل طاقة المستوى الأعلى و E' تمثل طاقة المستوى الأقل والجزيئات تمتتص الاشعاع إذا تحولت طاقة النظام من E'' إلى E' وكذلك تبعث إشعاع بنفس التردد الموضح في المعادلة (1) إذا تحولت طاقة النظام من E'' إلى E' .

حيث أن المسافات بين مستويات الطاقة الدورانية قريبة نسبياً من بعضها البعض وبالتالي فإن الانتقالات من هذه المستويات تتم عند الترددات المنخفضة للإشعاع وتتراوح قيمة تردد الطيف الدوراني النقي ما بين 1 سم^{-1}

(10^4 ميكرون) و(10^2 ميكرون).

وحيث أن مسافات الطاقة التذبذبية أكبر بالمقارنة بمسافات الطاقة الدورانية . ولذا فإن تردد الطيف التذبذبي النقي تتراوح قيمته ما بين 10^2 سـ⁻¹ (10^2 ميكرون) و 10^4 سـ⁻¹ (1 ميكرون). أما مستويات الطاقة الإلكترونية فهي متباينة نسبياً عن مستويات الطاقة السابق ذكرها لذا فإن تردد الأطيف الإلكتروني تتراوح قيمتها ما بين 10^4 سـ⁻¹ (1 ميكرون) و 10^5 سـ⁻¹ (10^{-1} ميكرون)

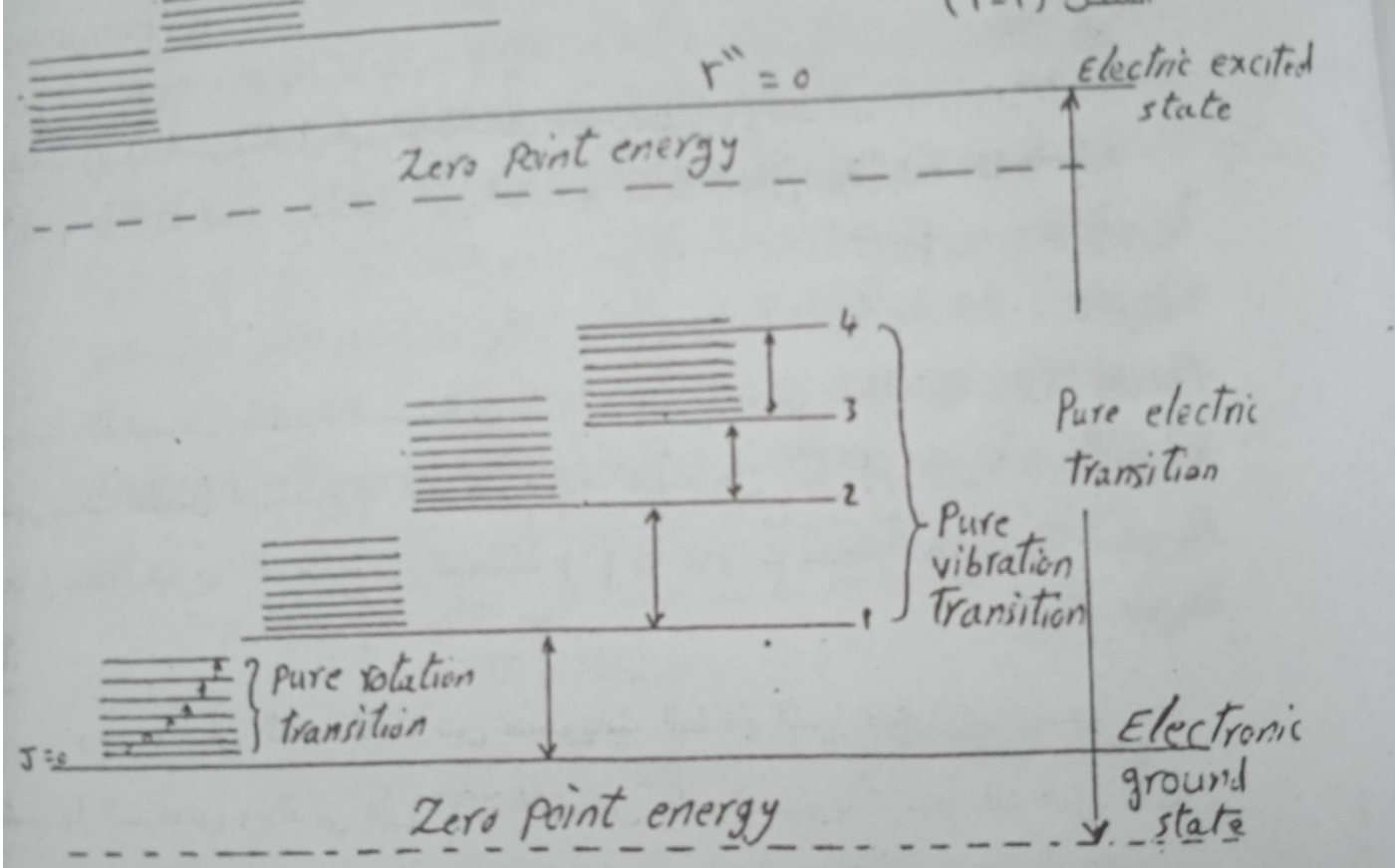
ويمكن تلخيص ما سبق في أن الأطيف الدورانية والتذبذبية والإلكترونية يمكن أن تلاحظ في مناطق الموجات الميكرونية microwave والأشعة تحت الحمراء البعيدة far infrared والأشعة المرئية visible وب نفسجية ultraviolet على التوالي.

وفي بعض الحالات الخاصة يمكن أن تظهر الأطيف التذبذبية والإلكترونية في منطقة الأشعة تحت الحمراء القريبة near-infrared

($10^4 \times 0.5 - 1.5$ سـ⁻¹)

(23)

الشكل (1-1)



الشكل (1-1) يوضح الثلاث انواع من الانتقالات في الجزيئات الثنائية الذرات diatomic molecule ويلاحظ من هذا الشكل أن المسافات بين مستويات الطاقة في الانتقالات الدورانية تزداد بزيادة العدد الكمي الدوراني J mototin والعكس في حالة الانتقالات التذبذبية أو أن المسافة بين مستويات الطاقة تنقص بزيادة العدد الكمي التذبذبي v vibrational quantum no

والخط المقطعي الموضح في الشكل (1,1) والذي يقع أسفل مستوى الطاقة الإلكترونية يشير إلى مستوى الطاقة عند درجة حرارة تساوى صفر مطلق point zero energy هي تحمل الطاقة الموجودة لأقل حالة تذبذب وهى حالة التذبذب النووية في هذا الجزء لن نشرح أي تفاصيل عن الاطياف الإلكترونية أو الدورانية ولكن سوف نركز بشيء من التفصيل عن الاطياف التذبذبية وقد وجد علمياً أن الاطياف التذبذبية هي اطياف الأشعة تحت الحمراء infrared spectra واطياف الرامان Raman spectra والمنشا الفيزيائي لكل منها مختلف عن الآخر على الرغم أنها اطياف تذبذبية

١-تعريف القوى القطبية للجزئيات وأقسامها

وعلاقتها بالتركيب الدقيق للجزيء

.....

إن الجزيئات تتكون من عدد من البروتونات والنيترونات والالكترونات مجتمعة معاً لتكون الجزيء وكقاعدة عامة نجد أن مركز الشحن الموجبة لا ينطبق على مركز الشحن السالبة للجزيء وبذلك يمكننا أن نتصور أن الجزيء يمثل قضيباً له طرف سالب وآخر موجب ولاشك أن الشحتين لابد وأن تتساوايا وإلا فإن سيكون هناك صافي شحنة موجبة أو سالبة على الجزيء بأجمعه

ويمكن تعريف القوة القطبية لمثل هذا النظام بأنها حاصل ضرب ($ش \times ل$) حيث أن "ش" عبارة عن الشحنة على كل من القطبين "ل" عبارة عن طول المسافة بينهما :

$$\text{القوة القطبية (ق)} = ش \times ل \dots \dots \dots (١٧٢)$$

هذه القيمة تسمى في المعتمد باسم القوة القطبية للجزيء . وما من شك في أن معلوماتنا عن القوة القطبية للجزيء ستفيينا كثيراً في فهم تركيب الجزيئات ، فإذا نظرنا إلى جزئ يتكوين من ذرتين فإن هاتين الذرتين قبل اتحادهما كانت كل منهما عبارة عن وحدة متعادلة أي أنه لا يوجد أي قوة قطبية لاحدهما بمفردها لأنه في هذه الحالة يكون مركز تأثير الشحنة الموجبة للنواه هو أيضاً مركز تأثير الشحن السالبة للإلكترونات المحيطة بالنواه.

وهذه المعادلة الأخيرة لها أهميتها في تقدير ثابت ثنائي الكهربائية

وعندما يحدث الاتحاد بينهما وتكون الرابطة عبارة عن رابطة تعاونية covalent فان هذه الرابطة التعاونية ما هي إلا نتيجة مشاركة الذرتين في الكترونين ومسارين من المسارات الإلكترونية واحدة من كل منها يأتي من كل من الذرتين فإذا كانت هذه المشاركة عادلة ومتساوية بين الذرتين فإن الجزيء الناتج يكون عديم القوة القطبية وذلك لأن مراكز الشحن السالبة ومركزاً الشحن الموجبة عن تغيير وستظل منطبقاً على بعضها البعض ولكن لنفترض أن أحدي الذرتين يكون نصبيها في الزوج من الالكترونات أكبر من الأخرى فإن الجزيء سيكون في هذه الحالة ذات طرفيين أحدهما موجب والآخر سالب حيث أن أحدي الذرتين سيقل نصبيها في

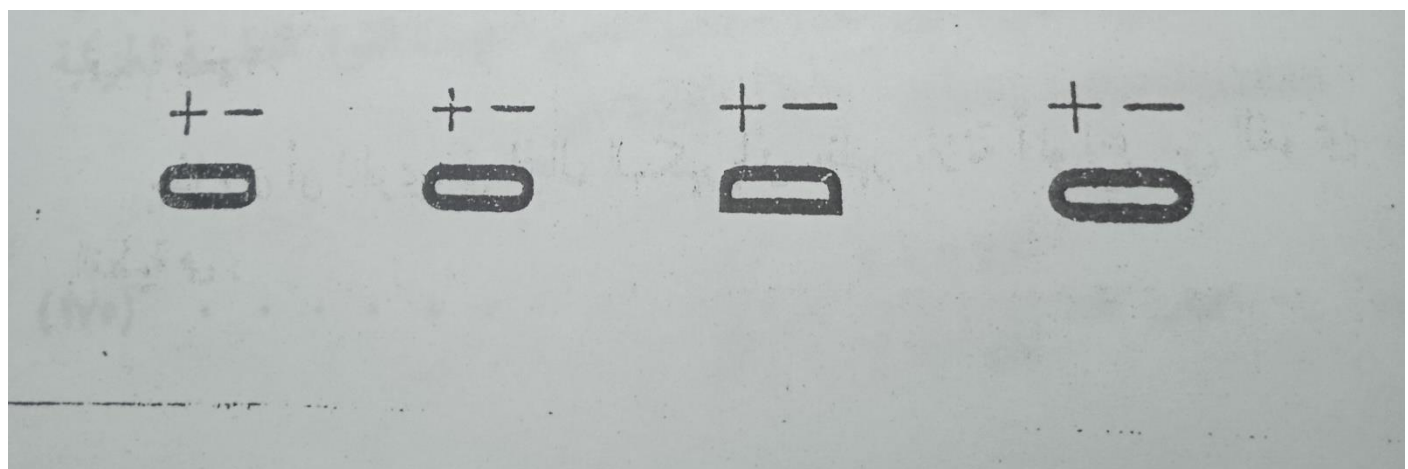
الشحن السالبة عن الأخرى وبذلك يمتلك هذا الجزيء قوة قطبية أكثر من الصفر، وبمعنى آخر فإن مركز الشحن السالبة سينحاز إلى الذرة الأكثر شراهة في جذب الشحن السالبة، بينما يبقى مركز الشحن الموجبة في مكانه. وهذا لا يأتي إلا إذا كانت أحدي الذرتين المرتبطتين مما أكثر قابلية لجذب الشحن السالبة

عن الأخرى هذا ولاشك قوة قطبية ثابتة في الجزيء.

اما اذا كانت الذرتان المرتبطان متساويتين في خاصية جذب الشحن السالبة فإن الجزيئي يكون متعادلاً تصبح الرابطة عديمة القوة القطبية .

ما الذي يحدث اذن للجزيء الثنائي للذرة إذا وضع في مجال كهربائي؟

اولاً: الذي يحدث اذا كان الجزيء يمتلك قوة قطبية فإن الجزيئات ستنظم نفسها في اتجاه معين بحيث أن مجالها الكهربائي يعمل في اتجاه مضاد لاتجاه المجال الكهربائي الموضوعة فيه أي أن الجزيئات تنظم هكذا:



وذلك كما يحدث في المجالات المغناطيسية اذا ما وضع فيها عدد من الابر المغنة، فإن جميع الابر بحيث يكون مجالها المغناطيسي في اتجاه مضاد للمجال المغناطيسي الذي وضع فيه.

هذا التوجيه في كل المجالين للجزيئات لا شك تعاكسه الحركة الناشئة من الطاقة الحركية للجزيئات والتي تؤدي إلى التوزيع غير المنتظم لها.

ولاشك ان ارتفاع درجه الحرارة يزيد من الطاقة الحركية وبذا يزيد مقدار المعاكسه للتوجيه الناشئ من المجالين لها.

وعلى هذا فأننا وضعنا ماده معينه في المجال الكهربائي فأننا لا نتوقع توجيهها كاملاً لهذه الجزيئات، ويتوقف مدى كمال التوجيه على قوه المجال الكهربائي وعلى الحالة الطبيعية للجزيئات. هذا التوجيه يسمى باسم القطبية التوجيه

ثانياً: وهناك تأثير اخر يحدث في الجزيئات سواء كانت تمتلك او لا قوه قطبيه .ذلك فان الالكترونات ستتحرك قليلاً بالنسبة لمكانها المعتاد في الجزء ،نتيجة لتأثير المجال الكهربائي المستعمل فهي ستتفرق من القطب السالب وتجذب الى القطب الموجب .تسمى القوي القطبية الناتجة باسم القطبية الالكترونية

ثالثاً: والى جانب ذلك فان الانوية نفسها ستتحرك قليلاً بالنسبة لموضعها المعتاد في الجزيء نتيجة لتأثير المجال الكهربائي وتسمى القطبية الناتجة بالقطبية الذرية وهذه ايضاً قيمتها صغيره.

بهذا نرى ان الجزيء في المجال الكهربائي يظهر ثلاثة انواع من القوى القطبية هي:

1-القطبيه الناشئة من التوجيه وهذه تتوقف جزئياً على القطبية الدائمة في الجزيء.

2-القطبيه الالكترونية.

3-القطبيه الذرية.

ويلاحظ ان القطبية الالكترونية والقطبية الذرية يكونان معاً القطبية الناشئة من حدوث تشوه في الجزيء distortion polarization. هذه التسمية تدل على حدوث التغير في موضع الالكترونات و الانوية في الجزيء بفعل المجال الكهربائي.

وعلى هذا فإن القطبية الكلية [ق] تحسب كالاتي:

$$ق = ق_t + ق_{تج} \quad (١٧٣)$$

(ق_t) مجموع القوى القطبية الناشئة من القوه القطبية الالكترونية (ق_l) والقوى القطبية الذرية (ق_d)، (ق_تج) مجموع القوه القطبية الناشئة من التوجيه

$$\text{أي أن } ق = ق_l + ق_d + ق_{تج} \quad (١٧٤)$$

ولقد وضع كلوزيس clausius (١٨٧٩) وموزوتى mosoti (١٨٥٠)

معادله لحساب القوه القطبية الناشئة من تأثير المجال الكهربائي وهي القوه الناشئة من التشوه في الجزيء والتي تسمى احيانا القوه القطبية الجزئية و هذه المعادلة هي:

$$\frac{w}{z} \times \frac{1 - \frac{z}{w}}{2 + \frac{z}{w}} = q \quad \dots \dots \quad (175)$$

حيث (و) عبارة عن الوزن الجزي ،(ث) كثافة الوسط ،(ثا) ثابت ثنائى الكهربائية وبهذا اوجد هذان العالمان علاقه بين القوه القطبية الایهائية induced الناتجه من تأثير المجال الكهربائي، وبين ثابت ثنائى الكهربائية

ولما كانت (ثا) عباره عن عدد لا تميز له ،فإننا نجد أن (ق ث) عباره عن حجم وهي في الحقيقة عباره عن حجم جزئي. ولقد وجد انها مستقله عن درجه الحرارة طالما كانت المادة معادلة القطبية اصلا ،اي انها عديمة القطبية الدائمه. هذه المعادله تقربيه ولا تصلح الا في حاله الضغوط المنخفضه للغازات.

ويمكن مقارنه هذه المعادلة بمعادله الانكسارات التي وضعها لورنتز و لورنتز
lorentz and lorentz

ح=ك^٢-1/ك^٢+2×و/ث (١٧٦)

حيث (ك) عبارة عن دليل الانكسار. أما (ح) فهي قوة الانكسار الجزي (وهي قوة الجزيء على الانكسار في الأشعة الساقطة عليها)

واضح من كلامنا على تأثير الطاقة الحركية على مقدار القطبية للجزيئات ان هذا التأثير يختلف باختلاف درجة الحرارة غير اننا نلاحظ في المعادلات السابقة انه لم يوضع تصحيح يدل على ذلك .

و يمكننا ان نتصور ان القطبية المختلفة تؤثر على بعضها البعض، وهذا يتوقف ولا شك على قرب الجزيئات من بعضها البعض، وبالتالي يتوقف على التركيز (لان التركيز يزيد التقارب بين الجزيئات وبالتالي التضارب بين القوي القطبية الجزيئية) واضح من ذلك انه في المعادلات السابقة لم توضح تأثير التضارب بين القوي القطبية للجزيئات المختلفة ومقدار تأثيرها بالتركيز. ولاشك ان درجه الحرارة لها تأثيرها في القيمة القطبية وهذا لم يوضح في المعادلات السابقة.

(28)

2 - تقدیر القوہقطبیة للجزئات والعوامل المؤثرة عليها

واضح من المعادلات السابقة انه لكي تقدر القوہقطبیة الثابتة الأصلية للجزيء، اي الناشئة عن انجذاب ازواج الكترونات الرابطة نحو احدى الذرات لاختلاف خاصيه جذب الشحن السالبة ،لابد و اننا نحاول التخلص من القوہقطبیة الالكترونية والذرية.

فإذا قمنا بمقارنه القطبیة لمركب معین في حالتہ البخاریة وفي حالتہ الصلبة فأننا نستطيع ان نحصل تقريبا على قيمته القطبیة الناشئة من التوجیه (التوجیه القطبی)، حيث انه في الحالۃ الصلبة لا يوجد الا توجیه قلیل للغایة لأن الجزيء ثابت في مكانه في البلورة و القطبیة الناشئة في حالۃ الجسم الصلب مرجعها اذا الى القطبیة الذریة و القطبیة الالكترونية فقط. واذا عرضنا جزیئاً المجال کهربائی مغناطیسي متعدد، بدلاً من مجال کهربائی مغناطیسي ثابت، فإذا كان التردد سريعا جداً فان الجزيئات لن تجد وقتاً لتوجیه نفسها ،وبذا فان القطبیة تعتمد فقط على مدى التشوه الذي يحدث في الجزيء. في المعتاد نجد ان الضوء العادي يمكن استعماله للحصول على سریع التبادل.

وفي هذه الحالۃ نجد ان القيمة التي تقادس عباره عن دليل الانكسار، بدلاً من ثابت ثنائي الكهربائية والتبدال الحادث في المنطقة المرئية سريع جداً وبذا لا يمكن للنواء ان يحدث لها تغير في المكان لأننا اذا استعملنا الأشعة المرئية في مجال عالي التبادل فمعناه انها لن تستطيع ان تنتقل الانویه من مكانها لأن الأخيرة تعتبر ثقيلة الكتلة بالنسبة للإلكترونات ،وبذات لا يؤثر فيها، وإنما تؤثر في الالكترونيات.

اي ان القطبیة التي تقادس عند استعمال الأشعة في المنطقة المرئية ذات التبادل العالی تكون نتیجة لتحرك الالكترونيات.

اما اذا كنا نريد أن ندرس التشوه القطبیي الكامل فانه يجب ان نستعمل الأشعة تحت الحمراء وهذه تعطينا طریقه للتمیز بين التشوه الجزئي والتشوه الالکترونی وبالتالي طریقه لقياس القطبیة الالکترونية او القطبیة الذریة.

فالقطبیة الذریة تقدر عن طریق معرفه الكلیة الناتجة من التشوه باستعمال المجال الكهربائي المغناطیسي المتبدال في منطقه الأشعة المرئية والقطبیة الكلیة الناتجة في

حاله التشوه الناتج باستعمال المجال الكهربائي المغناطيسي المتبادل في منطقه الأشعة تحت الحمراء.

ولما كان التوجيه يعتمد على اتزان بين تأثير المجال الكهربائي من جهة وبين الحركة الناشئة من التأثير الحراري من جهة اخرى فإننا نجد ان التوجيه يقل كلما ارتفعت درجه الحرارة حيث ان الاثارة الحرارية تكون كبيره.

اما عن العلاقة بين درجه الحرارة وبين القطبية الناتجة من التوجيه الجزيئي فقد استنبطها Debye بواسطه المعادلة الآتية:

$$Q_{TJ} = \frac{4\pi}{3} N (Q^2 / \Theta T) \quad (177)$$

(Q_{TJ}) عباره عن قطبيه التوجيه: polarization orientation

(ق) عباره عن القوه القطبية الطبيعية للجزيء بالوحدات الالكتروستاتيكية.

(ن) عدد افوجادرو: Avogadro number

(ث) ثابت بولتزمان: Boltzman

(Θ) درجه الحرارة المطلقة.

و القطبية الكلية تساوي إذن:

$$Q = Q_{TJ} + \frac{4\pi}{3} N Q^2 / \Theta T \quad (178)$$

ويمكن تبسيط المعادلة الأخيرة برمزين:

$$Q = A + B / \Theta T \quad (179)$$

حيث (Q_{TJ}) يرمز لها (أ)، (B) تساوي ($4\pi N Q^2 / \Theta T$)

فإذا أردنا ان نرسم رسميا بيانيا يمثل العلاقة بين القطبية الجزيئية (قطبيه الجزيء) ضد مقلوب درجه الحرارة، فأننا نحصل في جميع الحالات على خط مستقيم اذا كانت المعادله صحيحه، فإذا كان الجزيء متعادل القطبية اصلا فان الكسر الآتي :

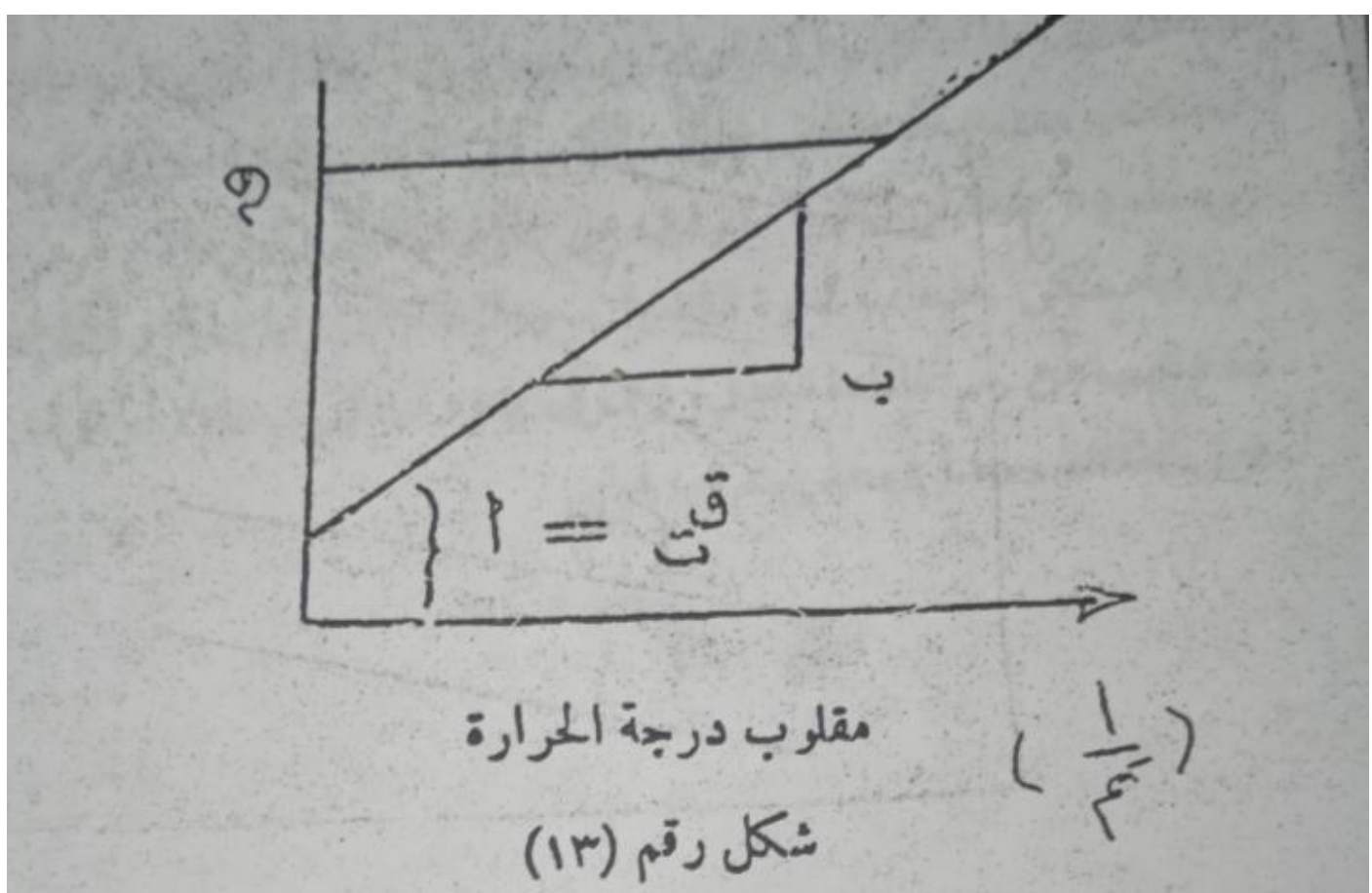
($B = 4\pi N Q^2 / \Theta T$) سيصبح مساويه للصفر لأن (Q) هي القوة القطبية الطبيعية للجزيء تساوي صفراء، وذلك في حاله عدم وجود مجال كهربائي. فإذا كان الجزيء الذي لدينا متعادل القطبية مثل ($M_1 - M_2$) او ($A_1 - A_2$) اي ان القوة

(30)

القطبية الدائمة تساوي صفرًا أي أن $(q = 0)$ أذن قيمة الكسر كله لابد وان تساوي صفرًا وبذلك تصبح (ب) مساوية للصفر. وأذن يصبح الخط الناتج افقيا . فإذا كانت المادة لها قوه قطبيه دائمه فإن (ب) سيكون لها قيمة محددة والخط البياني سيكون له ميل معين يحسب منه قيمة (ب) كما هو واضح في الشكل رقم (13).

فإذا وضعنا قيم عدد افوجادرو($N = 6.06 \times 10^{23}$) (1.27×10^{-12}) فان q وهي القوة القطبية الدائمة للجزيء = $b \times 10^{-18}$. وحدات

الاكترونيكية، وبهذا فإن q يمكن حسابها من (ب) بغايه السهولة.

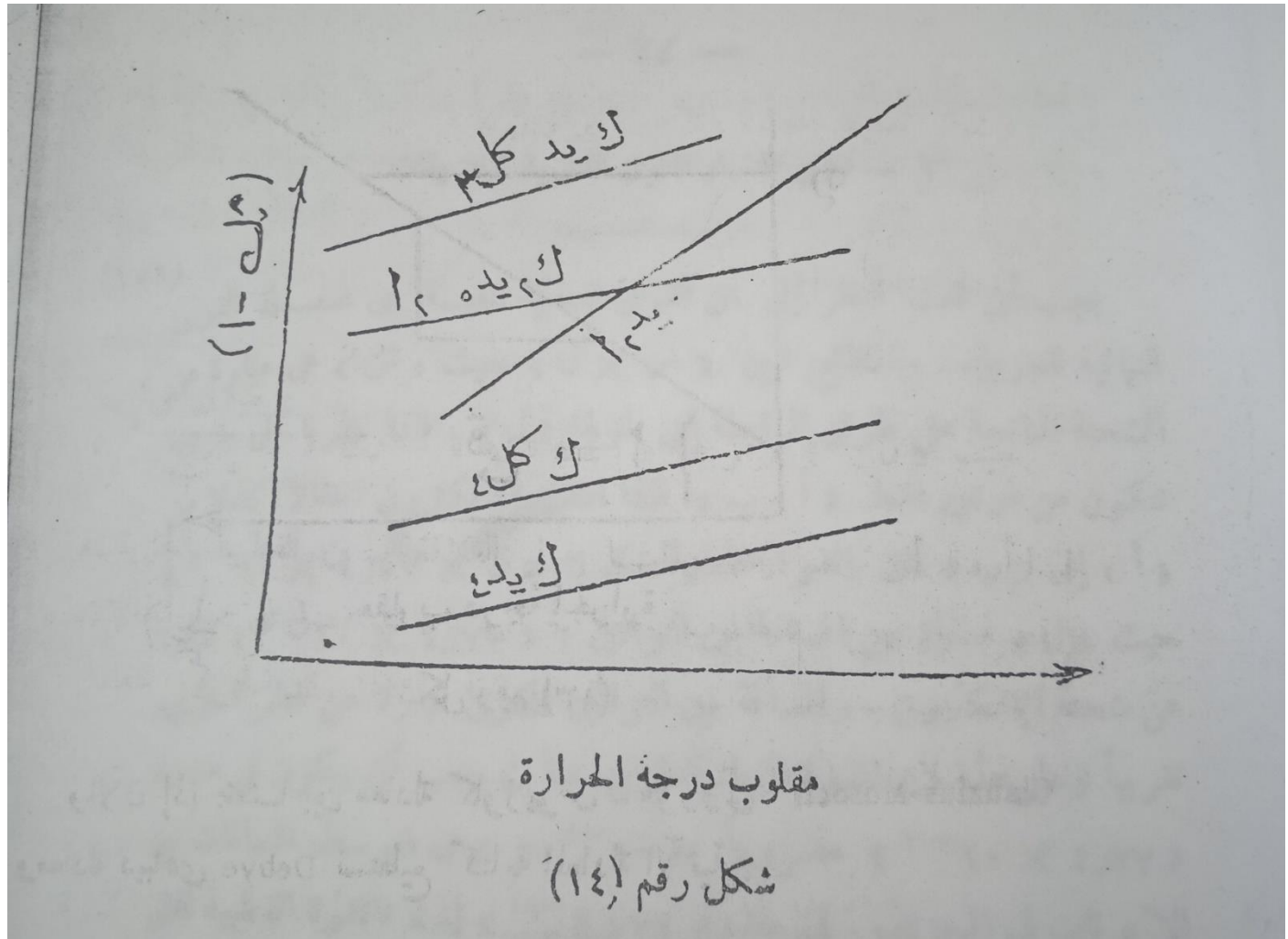


والآن اذا جمعنا بين معادله كلوزيوس _ موزوتي clauzius_mosotti و معادله ديبادي Debye نستطيع كتابه المعادلة الآتية :

$$(180)..... \quad \frac{1}{T} = \frac{\alpha}{T} + \frac{b}{T^2}$$

(31)

وبالنسبة لمعظم الأبخرة فانا (θ_k) = 1 تقريباً، و بالنسبة للماء على درجة 120 فإن (θ_k) = 1.004002 وحدات الالكتروستاتيكية وعلى هذا فانه ($\theta_k + 2$) يساوي 3 تقريباً، وبهذا فانه ($\theta_k - 1$) يجب ان تتغير على طول خط مستقيم بتغير ($1/\text{تم}$) باعتبار ان الباقي المعادلة وهي ($\theta_k + 2$) ، (ω) ، (θ) ، (α) ، (b) تعتبر ثوابت . وهذه ولا شك تعتبر نوعاً من التقرير لأن ($\theta_k + 2$) ثابته تقريباً وليس بالضبط، ويمكن الحصول على خطوط بيانية مختلفة يكون ميلها للمركبات المختلفة كما في الشكل رقم (14) :



عندما يكون ميل الخط افقياً ، فان هذا يعني ان الجزيء ليس قطبياً ، اي ليس له قطب موجب واخر سالب ، فكان ميل الخط البياني يدل الى حد بعيد على مقدار قطبية الجزيء.

وهناك طريقه اخرى لقياس القوه القطبية للجزيء ، لا تعتمده علي ثابت ثنائي الكهربائيه ، ولكن تعتمد على القياس المباشر لمسلك الجزيء في المجال الكهربائي

وتشمى طريقه الأشعة الجزيئية، إذ نحصل على المادة بحيث تكون الجزيئات موزعة توزيعا يجعلها بعيدة عن بعضها البعض بعدا كبيرا بحيث انها تتحرك في الفراغ بدون اي تصادم ، فتسخن في فرن معين صغير ثم نسمح لأشعة من هذه الجزيئات بالمرور من ثقب ضيق في جهاز مفرغ تفريغات عاليه، ثم يمر هذا الشعاع من ثقب ضيق اخر لزيادة تحديد الشعاع، ثم يمر الشعاع بعد ذلك في مجال كهربائي قوي غير متجانس ، فاذا ما بقيت ابعاد شعاع الجزيئات وجميع خصائص المجال الكهربائي ثابته ، فان هذا الشعاع ينحرف عن مساره بمقدار زاويه تتوقف على القوه القطبية للجزيئات، ومن هذه الزاويه يمكن حساب القوه القطبية. ويلاحظ ان قياس القوه القطبية لأي ماده يجب ان يتم للمادة المختبره وهي في صوره غاز او بخار او في صوره محلول مخفف جدا في مذيب غير قطبي.

3-نتائج اختبار القوي القطبية للجزئيات

يجب ان نلتفت النظر الى ان القوي القطبية المقيسة هي محصلة القوي النهائية للجزيء والنتائج تبين($ش \times ل$) حيث ($ش$) هي عباره عن الشحنة الناتجة على طرف الرابطه التي طولها ($ل$) فإذا نظرنا الي جزيء تتكون من ذرتين فقط ($أ، ب$) فإذا انتقل الالكترون انتقالا كاملا من ($أ$) الى ($ب$) فانه القوه القطبية تكون

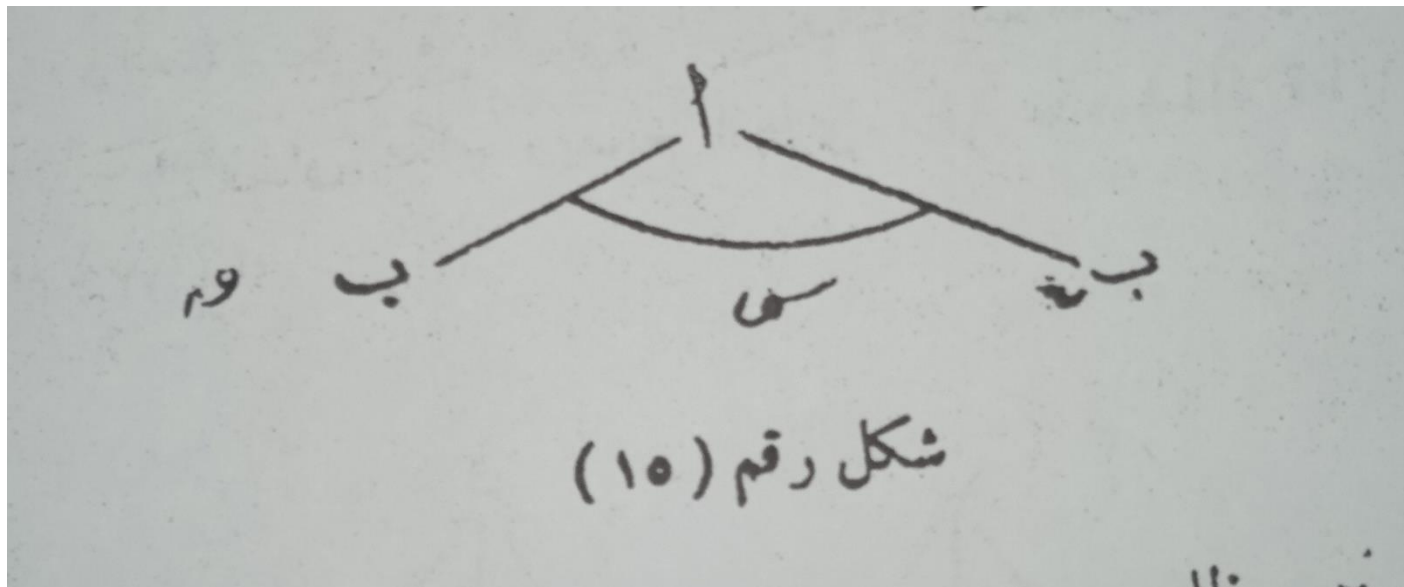
$(4.7 \times 10^{-1} \times ل) \text{ حيث } (L)$ عباره عن المسافة بين النواتين، $10^{-1} \times 4.7$ عن شحنة الالكترون . و المسافة بين النواتين تكون عباره عن قطر الجزيء تقريبا وعلى هذا فان القوي القطبية لجزيء متأين يجب ان يكون في حدود $10^{10} \times 4.77$ مضروبا في 10^{-8} سم وهي متوسط المسافات بين الايونات في الجزيء في حدود 4.77×10^{-18} إذن فالقوه القطبية لكل المركبات القطبية تعتبر اقل من هذه القيمة، الا ان هناك شذوذًا في ذلك في حالات يوديد البوتاسيوم، كلوريد البوتاسيوم، يوديد الصوديوم ، فبطريقة الأشعة الجزيئية كانت القيمة 6.8×10^{-18} و 6.3×10^{-18} وحدات الكتروستاتيكية على التوالي.

ولا يمكن ان تحدث هذه القيم العالية مالم يكن هناك تشوه في المسارات الإلكترونية. ولا شك أن قياس القوة القطبية يعطي بعض الفكرة عن درجه مشاركة الذرات الالكترونات على طول رابطة معينة ، لأننا نعلم انه اذا تساوت المشاركة فان القوه القطبية تكون صفراء وتبدا القيمة القطبية في الارتفاع كلما زاد انحياز زوج الالكترونات الى احدى الذرتين اكثرب من الاخرى.

و لقد اشار تمson الى انه نظرا لان القوه القطبية عباره عن محصلة القوي القطبية في الجزيء فأنا يمكن ان نضيف قيم هذه القوه القطبية بالطريقة التي تحسب بها المحصلات . وهذه الطريقة أثبتت فائدتها في حساب القوى القطبية للجزئيات المختلفة ، وبالنسبة للمركب الذي يتكون من ذرة واحدة (مثل المعادن) فلاشك أنه غير قطبي، أما بالنسبة للجزئيات التي تتكون من ذرتين (باستثناء العناصر) فكلها تقريبا قطبية بدون استثناء، أما بالنسبة للجزئيات الثلاثية الذرات فعندنا عدة احتمالات إما أن يكون الجزيء متماثلا أو غير متماثل في توزيع الذرات ، وبهذا فان القوه القطبية النهائية للجزيء قد تكون صفراء أو أكثر من ذلك .

على هذا إذا كان الجزيء عبارة عن (B_2) وكانت (A) تقع بين ذرتين من ذرات (B) على طول خط مستقيم $(B - A - B)$ فان الجزيء لن يكون قطبيا .

اما إذا كان الجزيء له زاوية معينة غير 180° . وذلك كما في شكل رقم (15) فان القوةقطبية له تحسب من المعادلة (181) .

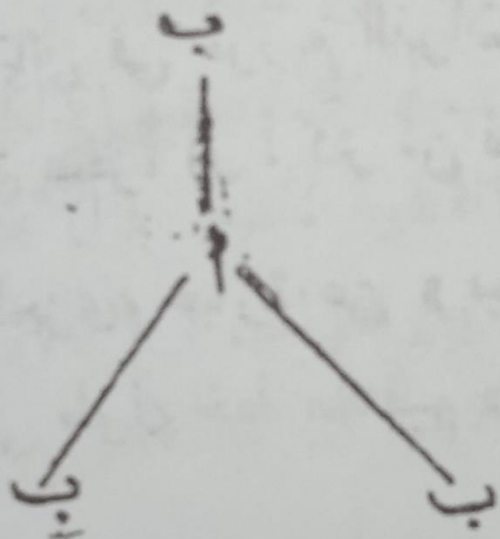


$$q = 2 q'/\text{تس}$$

حيث (q) هي القوةقطبية dipole moment، (q') هي القوةقطبية للرابطة الواحدة، (s) الزاوية التي بينها .

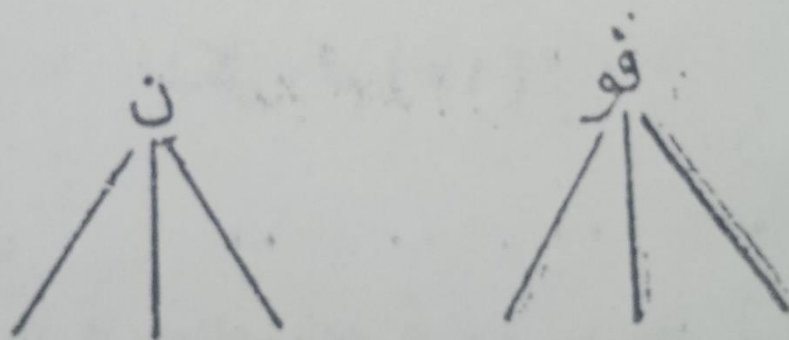
فمثلا جزئ الماء يعتبر جزيئا قطبيا ، وبذا فانه يجب أن يكون موزعا في الفراغ توزيعا غير خطيا (أي أن الزاوية بين الرابطتين ليست 180°)، أما في حالة (k_A^2) ، و كذلك ثانوي كبريتور الكربون نجد أنهما غير قطبيين وهذا دليل قاطع على ان توزيعها الفراغي على هيئة خط مستقيم $(A=k^2)(k_b=k^2)$.

اما بالنسبة للجزيئات الرباعية الذرة فإن القوةقطبية الناتجة قد تكون صفراء اذا كانت جميع الذرات في مستوى واحد كما ان الشكل رقم (16) .



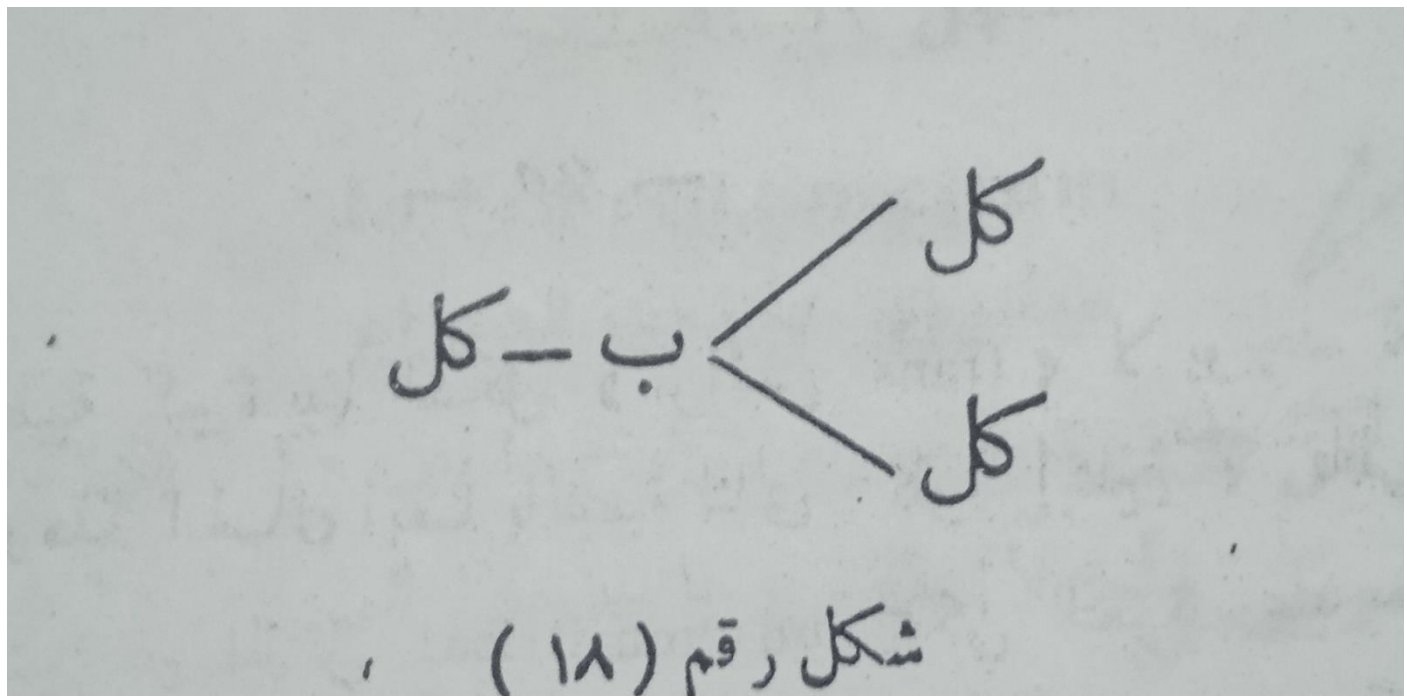
شكل رقم (١٦)

اما اذا كان ب الجزيء توزيعه الفراغ في شكل هرم رباعي منتظم فان ذرة واحدة ستخرج من المستوى الذي فيه الذرات الثلاث الباقيه ، واما باقي الذرات فتبقى في مكانها ويصبح الجزيء في هذه الحالة قطبيا . شكل رقم (17).



شكل رقم (١٧)

وذلك كما في مركبات الفسفور والنيتروجين المبينة بالشكل رقم (17) حيث التوزيع الفراغي الناتج هو هرم رباعي وبذاك يكون للجزيء قوة قطبية اكبر من الصفر.



شكل رقم (١٨)

اما المركب المبين في الشكل رقم (18) فانه غيرقطبي لأن الذرات في مستوى واحد.

ولا شك انه كلما تعقد تركيب الجزيء كلما كان تفسير الموقف اشد صعوبة و اذا عرفنا ان كل رابطه قوتها القطبية. وانها لا تتأثر في حالات كثيرة بالقوة القطبية لباقي الجزيء فأننا نستطيع ان نستفيد من ذلك في حساب القوه القطبية للجزء بأكمله ونحسب هذه القوه القطبية بطريقة حساب محصلات القوي المعروفة في الميكانيكا والتي سبق الإشارة اليها، ومن القيم القطبية المعروفة للروابط بوحدات (ديباي) ما يأتى:

(ك يد)،(ن يد)1.5،(أ يد)1.6،(فل يد)2،(يد فو)0.55،(يد كب)0.8،(يد كل)1.03،(يد ز)0.15،(يد ي)0.38،(ك كل)1.7،(فو كل)0.8،(ك بر)1.6،(ز كل)2،(ك ي)1.4،(ك أ)0.9 كما في الايثير (ك أ)2.5،(ك أ)5.3

هذه القيمة ولا شك تعتمد على فرق خاصيه جذب الشحن السالبة بين كل ذرتين مرتبطتين:

ولا شك ان القوه القطبية للجزيء تحدد بشكل قاطع الشكل الهندسي والتوزيع الفراغ للجزيء ، ومن امثله ذلك التفرقة بين حامض الفيوماريك حامض الماليك ،

فمن المعروف ان الشكل (مس cis) لابد وان يكون له قطبيه كبيرة بينما الشكل(trans) لا يوجد له اي قوة قطبية . وهذا الحال ايضا بالنسبة لثاني كلور ايثلين، فالمركب ثانی كلورو ايثلين غير متماثل يمكن التعرف عليه من خواصه الكيماوية اما صور تاه سس و ترانس فلا يمكن التعرف عليهما كيماويا وقد وجد ان أحدهما له قوة قطبية قدرها 1.9 وحدات الكتروستاتيكية والثاني قوي القطبيه تساوي صفراء، وبذلك نستطيع ان نميز الشكل سس من الشكل ترانس.

ومن هنا نرى ان القوة القطبية تصلح لدراسة نوع الروابط ،ونصيب كل من الذرتين المرتبطتين برابطه تعاونيه في زوج الالكترونات، اي بمعنى اخر مقدار الاختلاف بينهما في خاصيه جذب الشحن السالبة ، كما تصلح لدراسة التوزيع الفراغي للجزئيات التي تتكون من ثلاثة ذرات او اكثر.

فالقوة القطبية للجزئيات إذن ، سلاح هام في فهم الدقائق التركيبة للجزيء.

الفصل الثالث

In Fra-red Spectrum

طيف الأشعة تحت الحمراء

الطول الموجي للأشعة تحت الحمراء يتراوح ما بين 10^4 إلى 10^7 أنجسترم والعدد الموجي ($\lambda = 1/V$) يتراوح ما بين 10 إلى 10000 سـ⁻¹ وألأشعة تحت الحمراء ما هي إلا أشعة كهرومغناطيسية لها طبيعة الأمواج الضوئية ولكن تختلف عنها في الطول الموجي وتنتشر الأشعة تحت الحمراء بسرعة 3×10^{10} سـ/ث وتتبع القوانين العامة للانعكاس والانكسار والتدخل والاستقطاب وتعاني الأشعة تحت الحمراء امتصاصاً عالياً بمرورها في الزجاج من أجل ذلك كان من الضروري أن تستبدل جميع الأجزاء الزجاجية في أجهزة الأشعة تحت بمواد أخرى قليلة الامتصاص لها كالملح الصخري والسلفين كما أن العدسات يحسن استبدالها بمرآيا مقعرة.

مصادر الأشعة تحت الحمراء:

- 1- ضوء الشمس: تعتبر أشعة الشمس من أغنى المصادر الطبيعية للأشعة تحت الحمراء فهي تكون أكبر من 60% من الطاقة الشمسية الكلية
- 2- المصادر الصناعية: هذه المصادر لا تخرج عن كونها مصادر حرارية معتادة ويكون جزءها الحساس من ملف من التنجستين السميكة تختلف قدرته الكهربائية فيما بين 150 إلى 1500 وات ويوضع عادة في بؤرة مرآة كرية لإمكان توجيه الأشعة.

أهمية دراسة الأشعة تحت الحمراء:

دراسة طيف الأشعة تحت الحمراء له أهمية خاصة في التعرف على كيفية تذبذب جزيئات المادة والترددات المختلفة لهذه المتذبذبات.

- انواع الذبذبات الجزيئية:

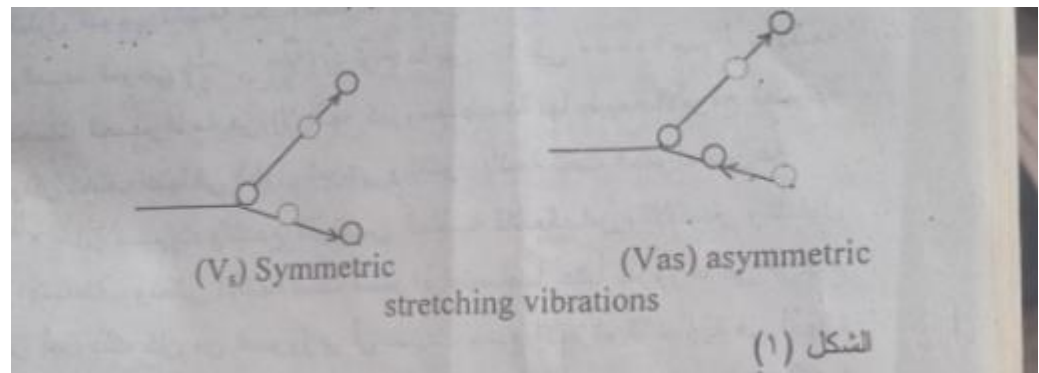
1- الذبذبة الامتدادية (V)

وتتقسم هذه الذبذبات إلى نوعين من الذبذبات و هما

(symmetric str. Vibrations (V_s))

(a symmetric str.vibn (V_{as}))

ويمكن توضيح هذه الذبذبات بالرسم في شكل (١)



2-Bending vibrations

الذبذبات الانحنائية

وهذا النوع من الذبذبات يشمل الاتي:-

a-Scissoring (S) الذبذبة المقصية

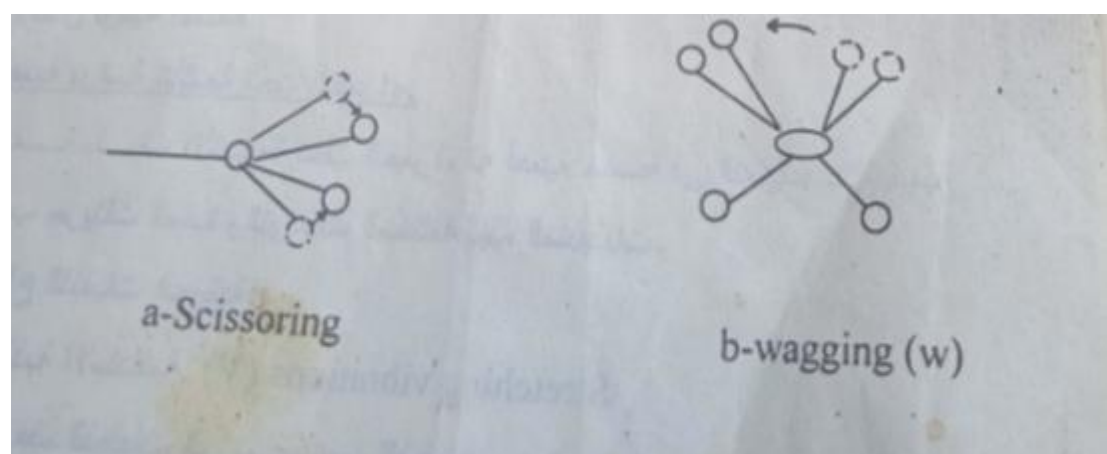
b- Wagging (W) الذبذبة الرقبيّة

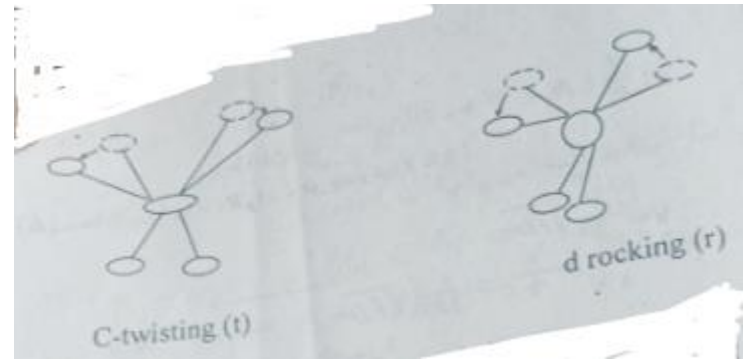
C-twisting (t) الذبذبة الراقصة

d-rocking (r) ذبذبة تأرجحية او ترنجية

والذبذبات الانحنائية تحتاج لطاقة أقل نسبياً من طاقة الذبذبات الامتدادية ويمكن

تمثيل هذه الذبذبات في الشكل (٢)





* العوامل التي تتوقف عليها تردد الذرات المتذبذبة في الجزيء
أولاً: كتلة الذرات المكون منها الجزيء
فمثلاً

$$V_{eH} = 3000 \text{ cm}^{-1}$$

$$V_{C-D} = 2100 \text{ cm}^{-1}$$

$$V_{C-C} = 1000 \text{ cm}^{-1}$$

$$V_{C-Br} = 650 \text{ cm}^{-1}$$

وهذا يعني أن زيادة كتلة الذرات المكون منها الجزيء يؤدي إلى انخفاض التردد
ثانياً: قوة الرابط بين الذرات المكون منها الجزيء

$$V_{c-c} = 1000 \text{ cm}^{-1}$$

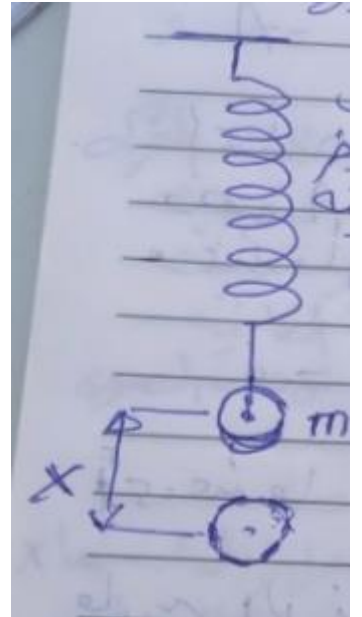
$$V_{c^*-c} = 1640 \text{ cm}^{-1}$$

$$V_{c^*-c} = 2200 \text{ cm}^{-1}$$

وهذا يعني أن زيادة الرابط بين الذرات في الجزيء يؤدي إلى زيادة التردد.
تأثير كتلة الفرق وقوة الرابط بين الذرات على التردد الجزيئي
التي تتذبذب أولاً : دراسة الحالة فيها الذرة منفردة

نفترض ان الذرة المتذبذبة في الجزيء وكأنها كرة معلقة او ممسوكة من طرف سلك
لولبي او زنبركي والطرف الآخر للسلك اللولبي مثبت عند نقطة معينة اي ان السلك
اللولبي يمثل طول ذراع الرابطة بين الذرة المعينة والذرة المركزية

(41)



بتطبيق قانون هوك على الجسم المتذبذب والذي كتلته m وهي نفس كتلة الذرة المتذبذبة فان:

$$K = -fx$$

حيث ثابت المرونة للسلوك اللوبي اي مناظرا لثابت المرونة لذراع الرابطة ، حيث قوة المرونة للرابطة و x يساوي قيمة الازاحة للذرة المتذبذبة الممثلة بالكتلة m كتلة الكره المعلقة من اللوبي وبتطبيق القانون الثاني لنيوتن علي هذه الحركة ، فان

$$-fx = m \cdot d^2x/dt^2 \quad (1)$$

حيث قانون نيوتن الثاني ينص علي ان القوة = الكتلة * العجلة
 $x = Ae^{-i\omega t}$ عندما يساوي صفراء فان المعادلة تصبح كالاتي :

$$x = Ae^0 = A \quad \text{عندما } t=0$$

اي انه الازاحة تصل الي اقصى قيمة لها وهي A

$$x = Ae^{-\infty} \quad \text{عندما } t=\infty$$

$$x = A/e^\infty = A/\infty = 0$$

اي عندما يكون الزمن قيمة عظمي اي ∞ فان الازاحة تساوي صفر

$$x = 0 \quad \text{عندما } t=\infty \quad \text{اي }$$

الإشارة السالبة في العلاقة السابقة تدل علي ان قوة مرونة السلك اللوبي او قوة

(42)

مرونة ذراع الرابطة تعمل على تناقص الازاحة للذرة المتنبذبة

$$\frac{d^2x}{dt^2} = -\frac{f}{m}x \quad (2)$$

العلاقة السابقة تدل على ان العجلة للذرة المتحركة تتاسب طرديا مع الازاحة لتلك الذرة ،حيث ان ثابت ، ثابت اي m/f ثابت وهذه معادلة تفاضلية من الدرجة الثانية وحل هذه المعادلة (2) يمكن ان يكتب على هذه الصورة الآتية :

$$x = A e^{-i\omega t} \quad (3)$$

حيث $i = \sqrt{-1}$ ، الزمن اللازم لعمل ازاحة مقدارها x ، w هو التردد الزاوي ، A هي اقصى قيمة للإزاحة اي عندما $t=0$ تكون $x=A$

بتفاضل المعادلة السابقة مرتين

حيث $x = A e^{-i\omega t}$ فان $\frac{dx}{dt} = A(-i\omega)e^{-i\omega t}$ اي نفس المعادلة مضروبة في تفاضل الاس $i\omega t$

$$\frac{d^2x}{dt^2} = A(-i\omega)(-i\omega)e^{-i\omega t} = -A\omega^2 e^{-i\omega t} \quad (4)$$

بالتعويض من المعادلتين (3)،(4) في المعادلة (2) $-A\omega^2 e^{-i\omega t} = -f/m A e^{-i\omega t}$

فان $\omega^2 = f/m$ حيث $\omega = 2\pi\nu$ ، ν هو تردد الذبذبة الذرية اي لتلك

$$\omega = \sqrt{f/m} \quad \text{الذرة } m$$

بالتعويض عن قيمة ω فان $2\pi\nu = \sqrt{f/m}$

$$\nu = 1/2\pi \sqrt{f/m} \quad (6)$$

وحيث ان $\nu = c/\lambda$ وهي سرعة الضوء ، λ قيمة الطول الموجي للضوء $\lambda = c/\nu$

$$\nu = c/\lambda = c/2$$

بقسمة المعادلة (6) على 2 فان $c/2 = 1/2\pi \sqrt{f/m}$

$$c/2 = 1/2\pi \sqrt{f/m}$$

(43)

$$v' = 1/2\pi c \sqrt{\frac{f * 10^{-5} * 10^5}{m}}$$

$$v' = \sqrt{10^5} / 2\pi c * (\sqrt{\frac{f * 10^{-5}}{m}})$$

$$v' = 1303 \sqrt{\frac{f * 10^{-5}}{m}}$$

$$v' = 1303 \sqrt{F/m}$$

حيث $f * 10^{-5} = F$ وتعتمد على قيمة f وتعتمد قيمة f على نوع الرابطة التساهمية

درجة الرابطة	مثال للرابطة	f dyn/cm
حادية	X-Y	$6 * 10^5 = 5 * 10^5$ 4 To
ثنائية	X=Y	$8 \text{ To} 12 * 10^5 = 10^5$
ثلاثية	$X \equiv Y$	$12 \text{ To} 18 * 10^5 = 15 * 10^5$

مثال 1

$$v'_{c-H} = 1303 \sqrt{f * 10^{-5} / 1}$$

لليهروجين

$$= 1303 \sqrt{5 * 10^5 * 10^{-5} / 1}$$

$$= 1303 \sqrt{5 / 1}$$

$$= 1303 \sqrt{5 / 1} \text{ cm}^{-1}$$

مثال 2

$$v'_{c-D} = 1303 \sqrt{f * 10^{-5} / 2}$$

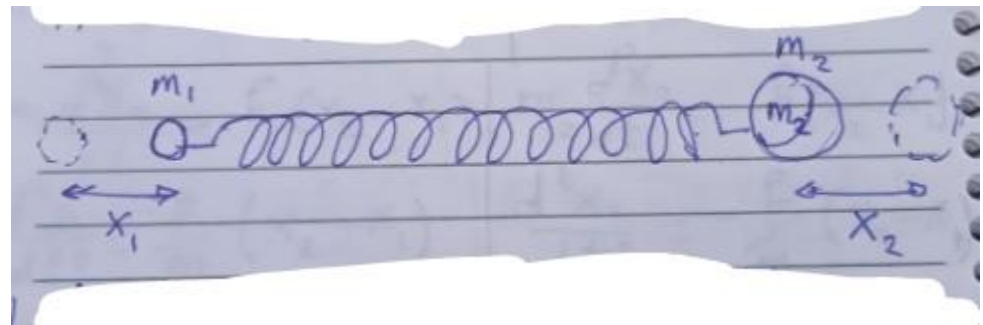
(44)

لليوترون

$$v'_{c-D} = 1303 \sqrt{5 * 10^{-5} * 10^5 / 2}$$

$$= 1303 \sqrt{\frac{5}{2}} \text{ cm}^{-1}$$

ثانياً: دراسة الحالة التي تكون فيها الذرتان متذبذبتان



نفترض أن الذرتان المتذبذبتان في الجزيء وكأنها كرتان ممسوكتان من طرفي سلك زنبركي أو لوليبي كما بالشكل السلك اللوليبي يمثل طول ذراع الرابطة بين الذرتين المتذذبتين، وكتلة الذرتين المتذذبتين هما m_1 , m_2 وازاحة الكتلة m_2 هي x_2 وازاحة الكتلة m_1 هي 0

بتطبيق قانون هوك على كلا من الذرتين وهم m_1, m_2 على الترتيب

$$K_2 = -f x_2$$

$$K_1 = -f x_1$$

$$Km_1 = k_1 - k_2$$

$$km_2 = k_2 - k_1$$

$$Km_1 = -f x_1 - (-f x_2)$$

$$km_2 = -f x_2 - (-f x_1)$$

$$Km_1 = f(x_2 - x_1)$$

$$km_2 = -f(x_2 - x_1)$$

بتطبيق القانون الثاني لنيوتن على هذه الحركة فإن

$$m_1(d^2x_1/dt^2) = f(x_2 - x_1)$$

$$m_2(d^2x_2/dt^2) = -f(x_2 - x_1)$$

$$d^2x_1/dt^2 = f/m_1(x_2 - x_1) \quad "1"$$

$$d^2x_2/dt^2 = -f/m_2(x_2 - x_1) \quad "2"$$

(45)

المعادلة "1" والمعادلة "2" كلاً منها معادلة تفاضلية من الدرجة الثانية وحلهما يمكن كتابته على الصورتين الآتتين

$$x_1 = A_1 e^{-i\omega t} \quad "3"$$

$$x_2 = A_2 e^{-i\omega t} \quad "4"$$

مما سبق في الموضوع السابق مباشرة نجد أن

$$\frac{d^2 x_1}{dt^2} = -A_1 \omega^2 e^{-i\omega t} \quad "5" \quad \frac{d^2 x_2}{dt^2} = -A_2 \omega^2 e^{-i\omega t} \quad "6"$$

بالتعويض في المعادلة "1" من "3", "5" وفي المعادلة "2" من المعادلة "4", "5" فإن

$$-A_1 \omega^2 e^{-i\omega t} = f/m_1 (A_2 e^{-i\omega t} - A_1 e^{-i\omega t}) \quad "7"$$

$$-A_2 \omega^2 e^{-i\omega t} = -f/m_2 (A_2 e^{-i\omega t} - A_1 e^{-i\omega t}) \quad "8"$$

$$-A_1 \omega^2 = f/m_1 (A_2 - A_1) \quad -A_2 \omega^2 = f/m_2 (A_2 - A_1)$$

$$\omega^2 A_1 + f/m_1 (A_2 - A_1) = 0 \quad \omega^2 A_2 - f/m_2 (A_2 - A_1)$$

ويمكن كتابة المعادلتين السابقتين كالتالي

$$A_1 (\omega^2 - f/m_1) + f/m_1 A_2 = 0$$

$$A_1 (f/m_2) + A_2 (\omega^2 - f/m_2) = 0$$

ويمكن كتابتهاما كالتالي

$$A_1 (\omega^2 - f/m_1) + A_2 (f/m_1) = 0$$

$$A_1 (f/m_2) + A_2 (\omega^2 - f/m_2) = 0$$

ويمكن كتابتهاما في صورة المصفوفة الآتية

$$\begin{matrix} A_1 & (\omega^2 - f/m_1) & f/m_1 \\ A_2 & f/m_2 & \left(\omega^2 - \frac{f}{m_2}\right) \end{matrix}$$

$$= 0$$

وحيث $A_1, A_2 \neq 0$ لا يساوي أي منها الصفر

(46)

$$\begin{matrix} A1 \\ A2 \end{matrix} \neq 0$$

$$\begin{matrix} w^2 - f/m_1 & f/m_1 \\ f/m_2 & w^2 - f/m_2 \end{matrix} = 0$$

وبحل هذه المصفوفة ينتج الاتي

$$(w^2 - f/m_1)(w^2 - f/m_2) - f/m_1 f/m_2 = 0$$

$$w^4 - (f/m_1)w^2 - f/m_2 w^2 + f^2/m_1 m_2 - f^2/m_1 m_2 = 0$$

$$w^2(w^2 - f/m_1 - f/m_2) = 0$$

لا تساوي صفر w^2

$$(w^2 - f/m_1 - f/m_2) = 0$$

$$w^2 = f/m_1 + f/m_2$$

$$w^2 = f(m_2 + m_1/m_1 m_2)$$

وحيث $\mu = m_1 m_2 / (m_1 + m_2)$ هي الكتلة المختزلة

$$w^2 = f/\mu$$

$$w = \sqrt{f/\mu}$$

$$w = 2\pi v$$

$$2\pi v = \sqrt{f/\mu}$$

$$v = 1/2\pi \sqrt{f/\mu}$$

$$\frac{v}{c} = \frac{1}{\lambda} = v'$$

$$\frac{v}{c} = \frac{1}{2\pi c} \sqrt{f/\mu}$$

$$v' = 1/2\pi c \sqrt{f/\mu}$$

(47)

$$v' = 1/2\pi c \sqrt{\frac{f * 10^5 * 10^{-5}}{\mu}}$$

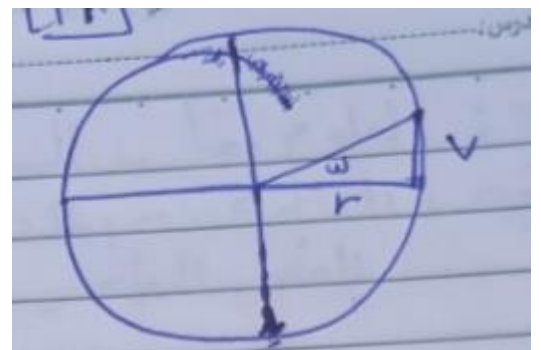
$$v' = \frac{\sqrt{10^5}}{2\pi c} \sqrt{\frac{f * 10^{-5}}{\mu}}$$

حيث $F = f * 10^{-5}$

$$v' = 1303 \sqrt{F/\mu}$$

$$c_c v' = 1303 \sqrt{\frac{5(12+12)}{(12*12)}} \text{ مثال}$$

$$v'_{c=c} = 1303 \sqrt{\frac{10(12+12)}{(12*12)}} \text{ cm}^{-1}$$



من الحركة التوافقية البسيطة

$w = w$ طا حيث w صغيرة جدا

$$w r = v \quad w = v/r$$

التردد عدد الذبذبات في وحدة الزمن

التردد = عدد الذذبذبات / زمن حدوث كل الذذبذبات

حيث $v/1 = \tau$ وهي الزمن الدوري

الزمن الدوري هو زمن حدوث الذذبذبة الواحدة

السرعة = المسافة / الزمن اي ان الزمن = المسافة / السرعة

(48)

$$\tau=2\pi r/v=2\pi r/wr$$

$$\tau=2\pi/w$$

$$\tau = 1/v$$

$$1/v=2\pi/w \qquad \qquad w=2\pi v$$

(49)

اطياف الاشعة تحت الحمراء

Infrared spectra

1-3 مقدمة:

تتضمن الأطياف المقاسة في منطقة الأشعة تحت الحمراء الانتقالات الاهتزازية vibrational transition المصحوبة بانتقالات دورانية . وهذا فطيف الاشعة تحت الحمراء تكون من مجموعة حزم كل منها يعود إلى التغيرات في الحالة الاهتزازية للجزئية . وإن كل خط ضمن الحزمة الواحدة يشير إلى التغير في الحالة الدورانية. وتنقسم معلقة الأشعة تحت الحمراء إلى مناطق رئيسية لها مسمياتها الآتية:

الأشعة تحت الحمراء القريبة وهي موجودة ضمن المدى $4000 - 12000 \text{ cm}^{-1}$.

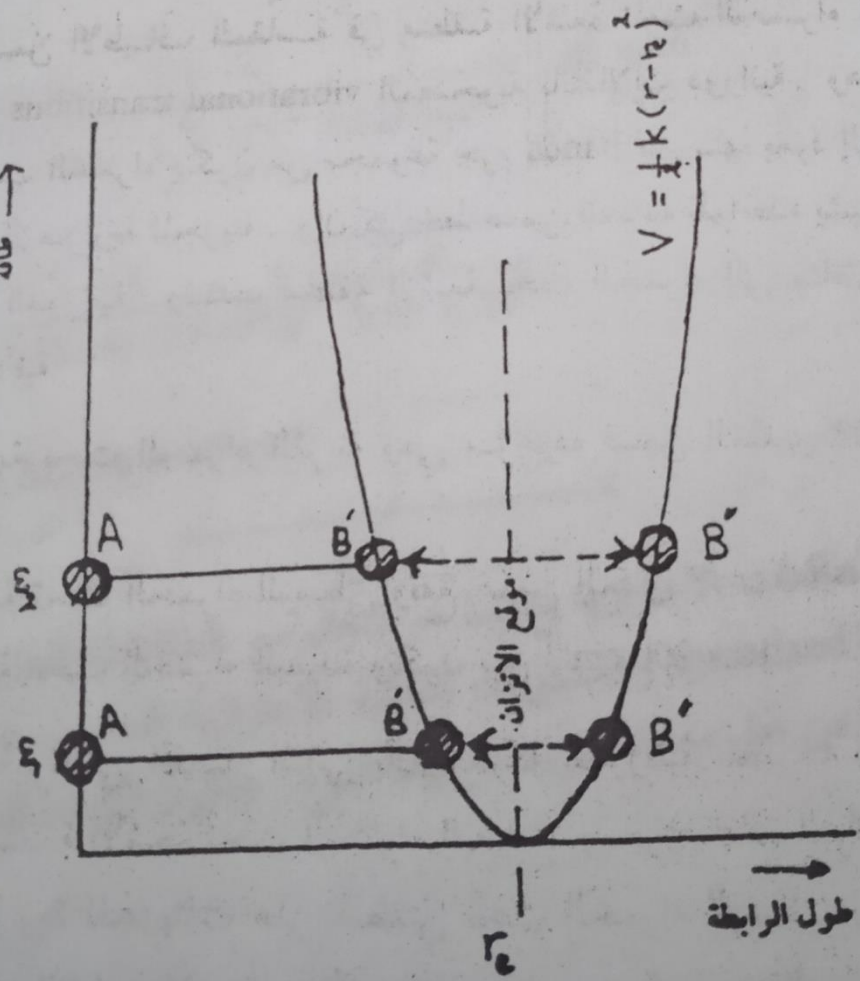
الأشعة تحت الحمراء الوسطى وتقع ضمن المدى $4000 - 200 \text{ cm}^{-1}$.

الأشعة تحت الحمراء البعيدة وتكون بين $10 - 200 \text{ cm}^{-1}$. وكما ذكرنا في الفصل الثاني بأن الحركة الدورانية الصرفة للجزيئات تتم دراستها في منطقة الأشعة تحت الحمراء البعيدة. ويجري عادة التركيز عند دراسة الحركة الاهتزازية للجزيئات على منطقتي تحت الحمراء الوسطى والقريبة. ويتم الحصول على الطيف الاهتزازي للجزيئات عندما يكون هناك تغير في حالة الاهتزاز مصحوب بتغير في عزم ثانوي القطب للجزئية. أي أن اتحاد الجزيئة مع الأشعة تحت الحمراء يتم حدوثه عندما تتمكن الجزيئة المهتززة من توليد عزم مهتر ثانوي القطب يستطيع التفاعل مع المجال الكهربائي للإشعاع. سنبدأ في هذا الفصل مناقشة الجزيئات ثنائية الذرة والأطياف الناتجة من حركتها الاهتزازية فقط.

ومن ثم سنعالج حالة أكثر عملية لهذا النوع من الجزيئات عندما تواجه حركة اهتزازية دورانية في ان واحد. وأخيرا سنوسع المناقشة لتشمل جزيئات أكثر تعقيدا.

3-2 اهتزاز الجريئة ثنائية الذرة:

يمكن تمثيل الحالة الطاقية لجزيئه ثنائية الذرة. بواسطة منحنى طاقة الجهد الجزيئية الموضح في الشكل (1-3) أدناه :



الشكل (3 - 1): منحني القطع المكافئ للطاقة مقابل المسافة أو الإزاحة المحددة بقانون هوك.

الشكل (1-3): منحني القطع المكافئ للطاقة مقابل المسافة أو الإزاحة المحددة بقانون هوك .

يوضح هذا الشكل التغير الطاقي نسبة إلى التغيرات في المسافة r بين النوى ويظهر في هذا المنحني منخفضاً (أو قعر المنحني الذي له أوطأ طاقة) وهو يعود إلى طول رابطة r_e (عند حالة الاتزان) الجزيئية . أن التقرير المقبول لطاقة الجهد V عند إزاحات صغيرة يمكن إعطاؤه بالعلاقة التالية :

$$V=0.5k(r-r_e)^2 \quad (1-3)$$

حيث K هو ثابت قوة الرابطة . يعتبر هذا النموذج لجزيئه ثنائية الذرة مهتز (المعروف بنموذج المهتز التواافقي البسيط) بداية جيدة لمناقشة الأطياف

(51)

الاهتزازية .

3-1-2-3 المهتر التوافقي البسيط :

عند النظر في الشكل (3 - 1) يتضح أن صفر المنحني يكون عند r_e وأن أية طاقة مضافة لتلك مثل U_1 تأتي من التمدد أو الانكمash في الرابطة فالذرة A أخذت على أساس أنها ثابتة على المحور $r=0$ أما الذرة B فإنها تهتز بين B و "B". وعندما ترتفع الطاقة إلى U_2 فإن درجة التمدد أو الانكمash تصبح أكبر ولكن تردد الاهتزاز يبقى من دون تغيير .

يعتمد تردد الاهتزاز ω على كتلة النظام وثابت القوة ويعطى بالمعادلة التالية :

$$\omega = 1/2\pi \sqrt{\frac{k}{\mu}}$$

حيث ω هي الكتلة المختزلة للنظام .

ومن الشائع بأن العدد الموجي ν هو المستخدم في الأطياف الاهتزازية لذا نكتب المعادلة (3-2) بالشكل التالي :

$$\nu = \omega / c = 1/2\pi \sqrt{\frac{k}{\mu}} \text{ cm}^{-1} \quad (3-3)$$

حيث c هي سرعة الضوء بوحدة cm s^{-1} .

مثال : وجد التردد الاهتزازي الأساسي لجزئية H^{127} مساوية ل 2309.5 cm^{-1} أحسب قيمة ثابت قوة الرابطة .

الحل : نطبق معادلة (3 - 3) التالية:

$$\omega = 1/2\pi \sqrt{\frac{k}{\mu}}$$

أما الكتلة المختزلة فتحسب كما يلي:

(52)

$$\mu = m_1 m_2 / (m_1 + m_2) = 1 * 127 / (1 + 127 * (1 / 6.023 * 10^{23})) = 1.65 * 10^{-24}$$

$$2309.5 = \frac{1}{2(3.14)(3 * 10^{10})} \sqrt{\frac{1 * k}{1.65 * 10^{-24}}}$$

$$K = 312.38 * 10^3 \text{ gs}^{-2}$$

* ----- *

أما الطاقات الاهتزازية (مثلاً هو الحال مع الطاقات الجزيئية الأخرى) تكون مكملة والمستويات الطافية الاهتزازية المسموحة لنظام معين يمكن تعينها من حل معادلة شروdonker لهذا النوع. وتكون النتيجة للمهتز التوافق البسيط كالتالي:

$$E_v = (v + 1/2) h \omega \quad (3-4)$$

حيث تكون E_v بوحدات الجول. أما v فيمثل عدد الكم الاهتزازي ويأخذ القيم ...، 2، 1، 0. ونكتب معادلة (3-4) بوحدة cm^{-1} كالاتي:

$$\epsilon_v = E_v / hc = (v + 1/2) / \omega \text{ cm}^{-1} \quad (5-3)$$

إن أو طأ طاقة اهتزازية (حيث $v=0$) تكتب كما يلي :

$$\epsilon_0 = 1/2 \omega / \text{cm}^{-1} \quad (6-3)$$

ومن هذا يتضح أن الجزيئات ثنائية الذرة (وفي الحقيقة أية جزيئة) لا يمكن أن تكون طاقتها الاهتزازية مساوية لصفر. وتدعى ϵ_0 بطاقة النقطة - صفر-zero point energy الرابطة الكيميائية والكتل الذرية. أما قاعدة الاختيار للمهتز التوافق الذي يواجه تغيرات اهتزازية هي:

$$\Delta v = \pm 1$$

وإلى هذه يجب أن نضيف الشرط الذي يؤكد بأن التغيرات في الطاقة الاهتزازية سوف تعطي طيفاً فقط عندما يتحدد أو يتفاعل الاهتزاز مع الأشعة (أي إذا تضمن الاهتزاز تغيراً في عزم ثنائي القطب للجزيء، والآن بعد تطبيق قاعدة

(53)

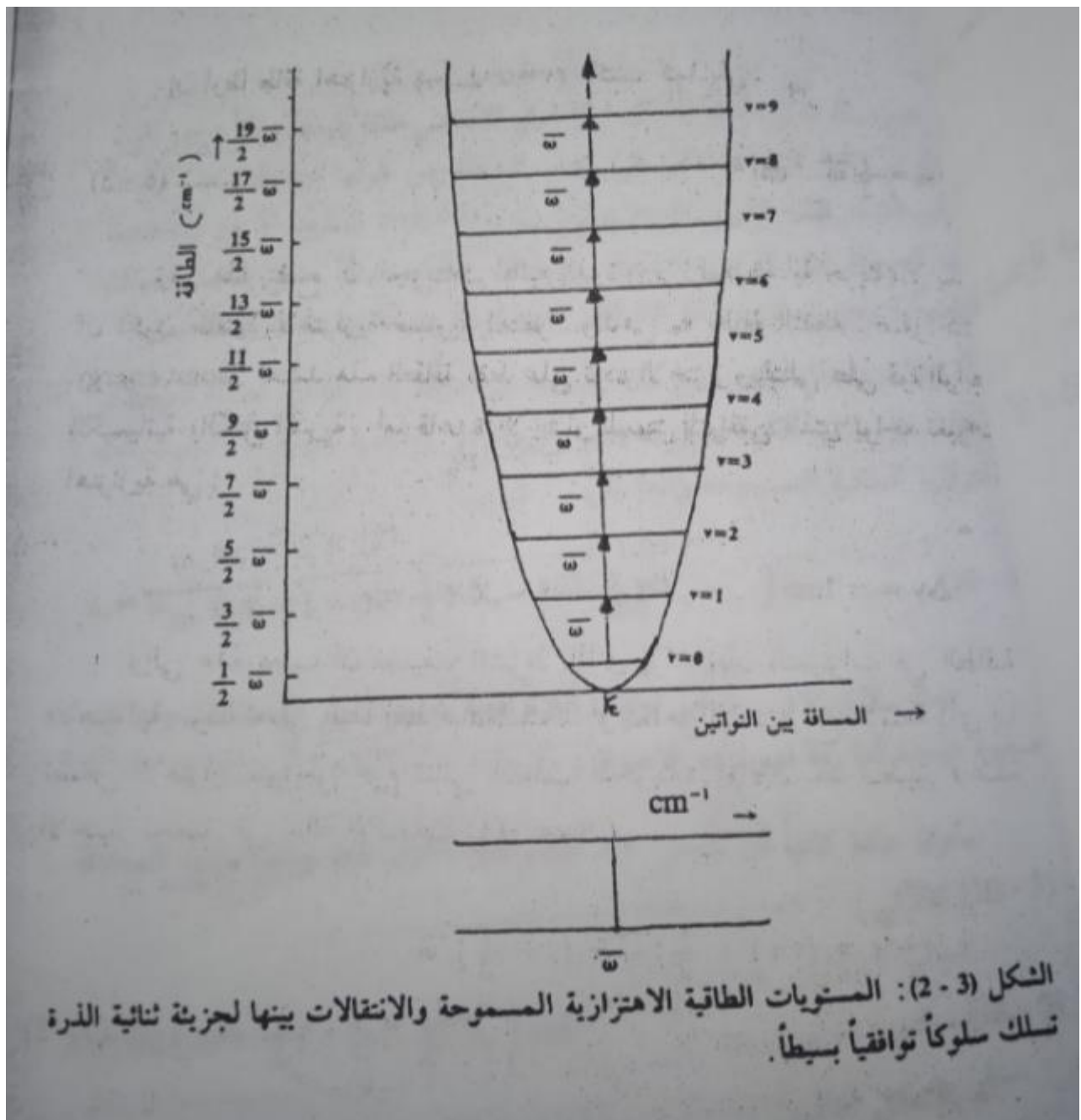
الاختيار نحصل في حالة الانبعاث ($\Delta V = -1$) .

$$\varepsilon_{v+1} - \varepsilon_v = (v+1 + 1/2)\omega' - (v+1/2)\omega' = \omega' \text{ cm}^{-1} \quad (7-3)$$

وفي حالة الامتصاص ($\Delta V = +1$) نحصل على :

$$\varepsilon_v - \varepsilon_{v+1} = -\omega' \text{ cm}^{-1} \quad (8-3)$$

هذه النتيجة موضحة بالشكل (2-3) أدناه :



الشكل (2-3): المستويات الطاقية الاهتزازية المجموعية والانتقالات بينها لجزيئ ثانية الذرة سلك سلوكاً تواقياً بسيطاً.

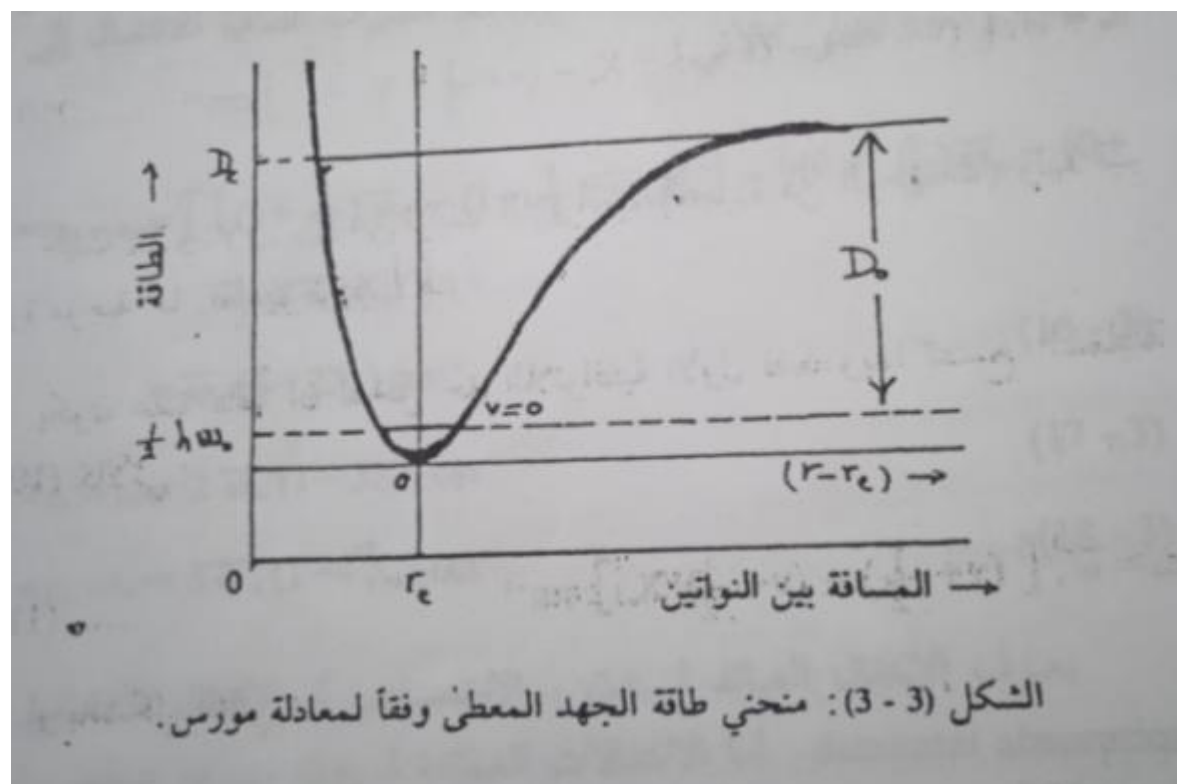
وكم هو واضح من الشكل (2-3) بأن المستويات الاهتزازية متباينة عن بعضها (54)

البعض بمسافة ثابتة هي $\omega \text{ cm}^{-1}$ ولذا فالانتقالات بين حالتين متجاورتين سيعطي نفس التغير الطاقي والنتيجة هي ظهور خط طيفي واحد يمثل الانتقال الاهتزازي الأساسي Fundamental vibration Frequency. وإضافة إلى ذلك يعطي الفرق بين المستويات الطافية (المعبر عنه بوحد cm^{-1}) قياساً مباشراً للعدد الموجي للخط الطيفي الممتص أو المنبعث. أي أن:

$$\nu = \omega / \text{cm}^{-1}$$

3-2-2 المهاجر اللاتوافي:

تعكس الجزيئات الحقيقية شذوذًا عن النوع البسيط من السلوك التواافي. وهذا الشذوذ يزداد بازدياد طول الرابطة. حيث إن الرابط مرن ولكنها ليست لدرجة تامة يجعلها تخضع لقانون هوك (القوة المرجعة = ثابت القوة \times الإزاحة) فتمدد الرابطة يؤدي إلى تباعد ذرات الجزيئة عن بعضها البعض وقد يصل إلى حد تكسر عنده الرابطة وتتفاكك الجزيئات إلى ذرات. وهذا عندما لا يوجد شيء يمسك الذرات سوية فإنه لا توجد مسافات طافية بين المستويات الاهتزازية ويقال في مثل هذه الحالة بأنه توجد مستويات طاقة اهتزازية متصلة. ويمثل الشكل (3-3) أدناه منحني طاقة للجهد للجزيء الحقيقية ثنائية الذرة.



الشكل (3 - 3): منحني طاقة الجهد المعطى وفقاً لمعادلة مورس.

ومن بين الطرق المتبعة في تعين المستويات الطاقية للمهتز اللاتواقي هي طاقة الجهد بصيغة رياضية تطابق السلوك الحقيقى المبين في منحني طاقة الجهد في شكل (3-3) أعلاه، وتعويضها في معادلة شروdonker لهذا النظام .

وهكذا فقد حصل مورس Morse الصيغة للرياضية لطاقة الجهد التالية :

$$V = D_e \{1 - \exp(-a(r - r_e))\}^2 \quad (9-3)$$

حيث D تمثل طاقة التفكك (أو عمق منخفض طاقة الجهد) اما a فهو ثابت للجزئية في حين ($r - r_e$) تشير الي تمدد الرابطة عن طولها عند الاتزان . وعند النظر في الشكل (3 - 3) نرى $V=0$ عندما يكون $r=r_0$ وتقرب V من D_e عندما تقترب المسافة ($r-r_0$) من الانهاية . ولذلك فالكمية D_e تمثل طاقة التفكك الكلاسيكية وهي تساوي طاقة التفكك العملية D_e مضافة لها طاقة النقطة صفر .

والآن عند التعويض عن طاقة الجهد من معادلة (3 - 9) في معادلة شروdonker الجزيئية مهتزة ثنائية الذرة وحل معادلة شروdonker الناتجة سيعطينا المستويات الاهتزازية الطاقية المسموحة وكما يلي:

$$\epsilon_v = \omega_e' \{(v+1/2) - (v+1/2)^2 X_e - (v+1/2)^3 Y_e - \dots\} \text{cm}^{-1} \quad (10-3)$$

حيث X_e و Y_e ... هي ثوابت اللاتوافقية (مجردة من الوحدات) ولها قيمه صغيرة موجبة أما ω_e' فهو تردد الاهتزاز .

يكون عادة كافيا أن ندخل حد اللاتوافقية الأول فقط وبذا تصبح المعادلة (3 - 10) كالتالي :

$$\epsilon_v = \omega_e' \{(v+1/2) - (v+1/2) X_e\} \text{ cm}^{-1} \quad (11-3)$$

أو بالشكل التالي:

$$= \omega_e' \{1 - (v+1/2) X_e\} (v+1/2) \text{ cm}^{-1} \quad (12-3)$$

و عند مقارنة معادلة (3-5) مع معادلة (3-12) نحصل على :

$$\omega' = \omega'_e \{1 - (v + 1/2)X_e\} \quad (13-3)$$

وللمستوى $v=0$ ستكون طاقة النقطة صفر ϵ_0 وتردد الاهتزاز صفر ω'_e كما يلي :

$$\epsilon_0 = 1/2 \omega'_e (1 - 1/2 X_e) \text{ cm}^{-1} \quad (14-3)$$

$$\omega'_e = \omega'_e (1 - 1/2 X_e) \text{ cm}^{-1} \quad (15-3)$$

وبينما قاعدة الاختيار للمهتز التواافقى تكون $\Delta v = +1$ فإنها للمهتز اللاتواافقى تكون كما يلى:

$$\Delta V = +1, +2, +3, \dots$$

وهكذا فالقفز المضاعف في حالة المهتز التواافقى يصبح ممكناً ولكن تكون الاحتمالية (وبالتالي شدة الخط الطيفي) واطئة عندما تغير v بأكثر من واحد .

إن معظم الجزيئات عند درجات الحرارة الاعتيادية تكون في أو طأ حالة اهتزازية حيث $v=0$ و سنرى من معادلة (3-11) بأن التغيرات الطافية للانتقال إلى $v=1$

$v=2$ و $v=3$ تعطى كالتى:

$$\begin{aligned} \Delta \epsilon_1 &= \epsilon_1 - \epsilon_0 = \{(1 + 1/2) \omega'_e - (1 + 1/2)^2 \omega'_e X_e\} - \{(0 + 1/2) \omega'_e - \\ &(0 + 1/2)^2 \omega'_e X_e\} \\ &= \omega'_e (1 - 2X_e) \text{ cm}^{-1} \end{aligned} \quad (16-3)$$

$$\Delta \epsilon_2 = \epsilon_2 - \epsilon_0 = 2 \omega'_e (1 - 3X_e) \text{ cm}^{-1} \quad (17-3)$$

$$\Delta \epsilon_3 = \epsilon_3 - \epsilon_0 = 3 \omega'_e (1 - 4X_e) \text{ cm}^{-1} \quad (18-3)$$

يعرف الانتقال العائد $\Delta \epsilon_1$ بالامتصاص أو الانتقال الأساس - *Fun-*

damental absorption. أما الانتقالات العائدة $\Delta \epsilon_2$ و $\Delta \epsilon_3$ فتظهر بشدات

(57)

واطئه كثيرة وتعرف ب التردد الفوقي الأول First overtone والتردد الفوقي الثاني على التوالى. (هذه الانتقالات بالتأكيد تكون مصحوبة بتركيب دوراني دقيق).

إن قيمة X_e هي تقريباً تساوي 0.01 وهي صغيرة وبالتالي يمكننا القول بأن الامتصاصات الثلاثة $\Delta\varepsilon_1$, $\Delta\varepsilon_2$, $\Delta\varepsilon_3$ تقع قريباً من ω_e' على التوالى .

يعطي طيف HCl على سبيل المثال امتصاص قوي عند 2886 cm^{-1} وآخر ضعيف 5668 cm^{-1} وأخر أضعف عند 8347 cm^{-1} . وهكذا نكتب الآتي :

$$2886\text{ cm}^{-1} = \omega_e' (1 - 2X_e)$$

$$5668\text{ cm}^{-1} = 2\omega_e' (1 - 3X_e)$$

$$8347\text{ cm}^{-1} = 3\omega_e' (1 - 4X_e)$$

ويحل آية معادلتين مما هو مذكور أعلاه سنحصل على :

$$X_e = 0.0174$$

$$\omega_e' = 2990\text{ cm}^{-1}$$

وفي درجات الحرارة العالية (أعلى من $k=500$) يمكن أن يتواجد عدد كافي من الجزيئات في المستوى الاهتزازي $v=1$ وهي عند انتقالها إلى حالات أعلى فإنها ستعطي امتصاص طيفي ضعيف. والانتقال إلى $v=2$ يعطى بـ:

$$\Delta\varepsilon = \varepsilon_2 - \varepsilon_1 = \omega_e' (1 - 4X_e) \quad (19-3)$$

وهكذا يتضح أن هذا الامتصاص الضعيف يحدث عند تردد أو طاقة بقليل مما هو للانتقال الأساس (المعطى في معادلة (3 - 16)). وتزداد شدة حزمة هذا الامتصاص بزيادة الحرارة. ولهذا السبب سميت مثل هذه الحزمة بالحزمة الساخنة

hot band.

أما التعداد population في المستويات الاهتزازية فيمكن تتبعه بواسطة قانون

$$(58)$$

التوزيع لبولتزمان. فإذا أردنا معرفة عدد الجزيئات في المستوى $v=1$ نسبة إلى عددها في المستوى $v=0$. نكتب المعادلة التالية :

$$N_1/N_0 = e^{-\frac{E}{kT}}$$

وقد وجد أن القيمة التقريرية للمسافات الطاقية بين المستويات الاهتزازية هي بحدود 10^3 cm^{-1} وعندئذ في درجة الحرارة الاعتيادية 300 K يصبح العدد النسبي للجزيئات كما يلي :

$$\frac{N_1}{N_2} = \exp\left\{-\frac{10^3 * 6.63 * 10^{-34} * 10^{10}}{1.38 * 10^{-23} * 300}\right\} = \exp(-4.8) = 0.008$$

وهذا يعني أن عدد الجزيئات في المستوى $v=1$ هو تقريرياً 1% من العدد في المستوى $v=0$. وبالتالي نتوقع عدد الجزيئات في المستويات العليا يكون أقل.

وهذا يدفعنا إلى التركيز على الانتقالات التي تبدأ من المستوى $v=0$ ، وإهمال جميع الانتقالات التي تبدأ من $v \geq 1$ في حالة الدرجات الحرارة الاعتيادية.

فمثلاً عند درجة حرارة 600 K تصبح N_1/N_0 مساوية بحوالي 0.09 والانتقالات من $v=1$ إلى $v=2$ ستكون شدتها 10% من شدة تلك الناتجة من الانتقالات من $v=0$ إلى $v=1$.

3-3 الأطيف الاهتزازية - الدورانية الجزيئات ثنائية الذرة :

تعطي الانتقالات التي تعاني تغير في الحالة الاهتزازية ($\Delta V \neq 0$) ومن دون تغير في الحالة الإلكترونية طيفاً اهتزازية - دورانيا vibration-rotation

spectrum ومن المعروف بأن المستويات الطاقية الاهتزازية تكون متباude عن بعضها البعض (حوالي 10^3 cm^{-1}) بدرجة أكبر بكثير من التباعد بين المستويات الدورانية (حوالي 10^1 cm^{-1}). ويكون الطيف الاهتزازي - الدوراني من مجموعة من الحزم وكل حزمة تعود لانتقال بين مستويين اهتزازيين وتتألف من مجموعة من

(59)

الخطوط، وكل خط يعود إلى تغير مختلف في الحالة الدورانية. ونظرًا لكون طاقتى الحركتين (الاهتزازية والدورانية) هي مختلفتان كثيرة فقد اقترح بورن - أوبينهايمر بأن الجزيئة تنجز حركات دورانية واهتزازية بشكل مستقل تماماً. وإن فالطاقة الاهتزازية - الدورانية الموحدة ما هي إلا مجموع طاقات منفصلة دورانية واهتزازية .

$$\epsilon_{j,v} = \epsilon_j + \epsilon_v \quad (21-3)$$

و عند التعويض عن ϵ_2 من معادلتي (2 - 15) و (3 - 11) على التوالي فإننا سنحصل على:

$$\epsilon_{j,v} = BJ(J+1)^2 - DJ^2(J+1)^2 + \omega_e'(v+1/2) - \omega_e'(v+1/2)^2 X_e \quad(22-3)$$

إن إهمال الثابت D يعني أننا نتعامل مع الجزيئة على أساس أنها صلدة وهي توا قد عانت اهتزازا ولكن مع ذلك فوجوده له تأثير بسيط ثانوي على الطيف.

وبنفس الوقت لا بد من الإشارة إلى أن ثابت الدوران في المعادلة (3 - 22) يؤخذ على أساس أنه نفسه لجميع قيم v, J (وهي نتيجة لافتراض بورن - أوبينهايمر) وهذا وبالتالي يفترض أن تكون المسافة بين مستويين (معلومي قيمة J) هي نفسها في الحالات $v=0$ و $v=1$

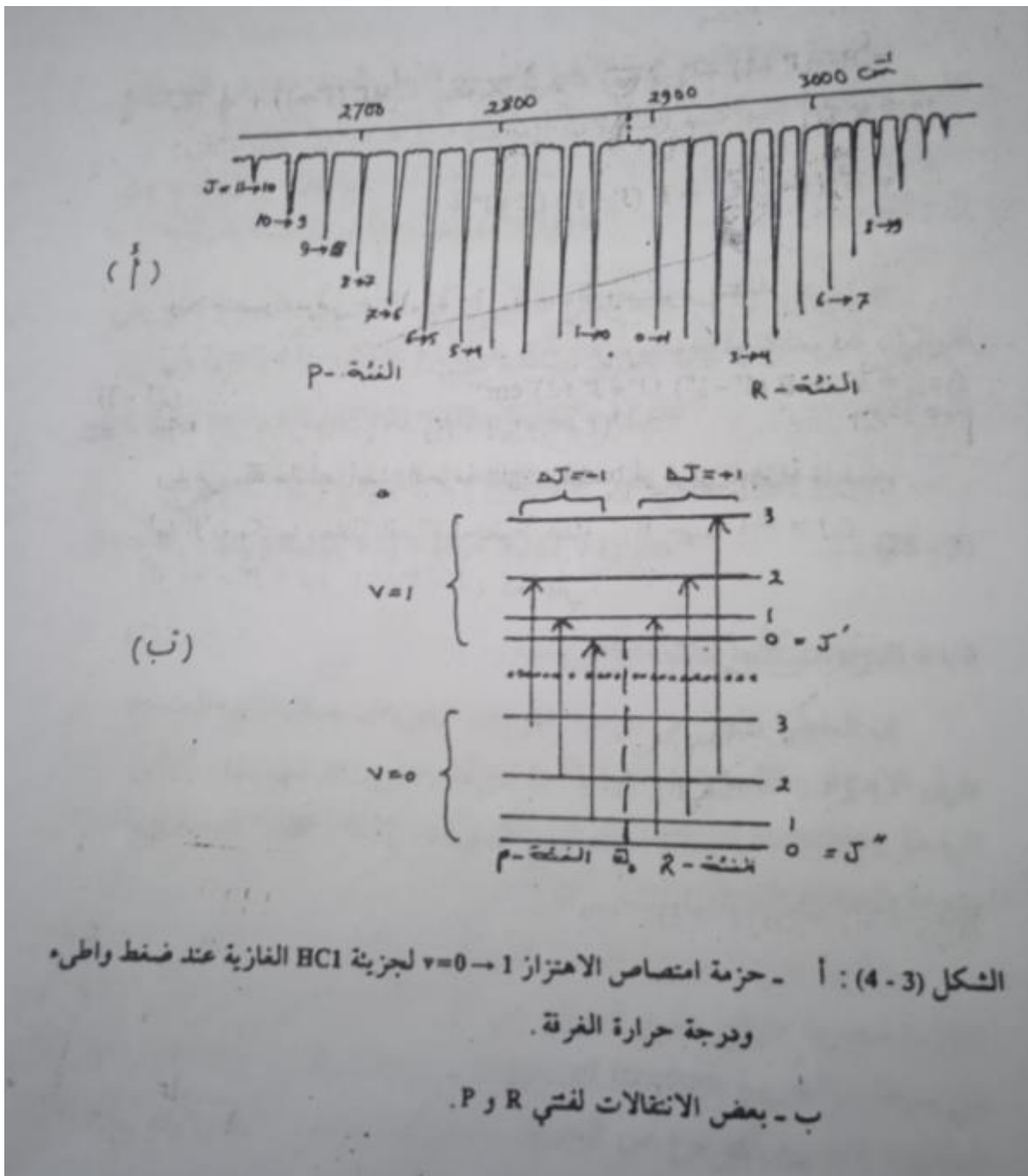
تعطى قواعد الاختيار التي تحكم في الانتقالات الاهتزازية - الدورانية كما يلي :

$$\Delta v = \pm 1, \pm 2, \pm 3, \dots$$

$$\Delta J = \pm 1$$

ويمكن توضيح الانتقالات المسموحة كما في الشكل (3 - 4) حيث هناك مجموعة من المستويات الدورانية (رمز لعددها الكمي الدوراني B''/L) العائدة لأوسط مستوى اهتزازي $v=0$ ومجموعة مستويات دورانية عليا (لها ترميز L) تعود للمستوى الاهتزازي $v=1$

$$(60)$$



الشكل (3-4) : أ - حزمة امتصاص الاهتزاز $v=0 \rightarrow v=1$ لجزيء HCl الغازية عند ضغط واطئ ودرجة حرارة الغرفة.

ب - بعض الانتقالات للفتى R و P.

تنتج الانتقالات التي لها $\Delta J = +1$ خطوط تدعى به الفئة R- (R-branch) في حين تسمى الخطوط الناتجة من الانتقالات من حيث $\Delta J = -1$ بالفئة P- (P-branch). ويمكن حساب طاقة كل خط من هذه الخطوط الطيفية وذلك بواسطة تطبيق قواعد الاختيار $\Delta J = +1$ و $\Delta J = -1$ على المعادلة (22-3) بعد إهمال الثابت D، وكما يلي :

$$\Delta \epsilon_{J,v} = \epsilon_{J,v-1} - \epsilon_{J//,v-0}$$

(61)

$$= \{BJ'(J'+1) + 1 * 1/2\omega_e' - 2 * 1/4X_e\omega_e'\} - \{BJ''(J''+1) + 1/2\omega_e' - 1/4X_e\omega_e'\}$$

$$= \omega_e'(1-2X_e) + B(J'-J'')(J'+J''+1)$$

وللاختصار نعرض عن $(1-2X_e)\omega_0'$ وسيكون عندنا:

$$\Delta\varepsilon_{J,v} = \omega_0' + B(J'-J'')(J'+J''+1) \text{ cm}^{-1} \quad (23-3)$$

ويدعى ω_0' غالبا ب أصل الحرية origin أو مركز الحزمة.

أما الآن نكتب معادلة الطاقة لخطوط الفئة- R حيث $J = +1$

$= J'' - J' + 1$ كما يلي:

$$\Delta\varepsilon_{J,v} = \omega_0' + B(J''+1) \text{ cm}^{-1} \quad (24-3)$$

حيث تأخذ J'' القيم كما يلي: 2, 3, ...

وبالنسبة لخطوط الفئة- p، حيث $J = -1$ تكون معادلة $= J'' - J' + 1$ تكون معاقة بالشكل التالي:

$$\Delta\varepsilon_{J,v} = \omega_0' - 2B(J'+1) \text{ cm}^{-1} \quad (25-3)$$

وهنا تكون $J' = 0, 1, 2, 3, \dots$

ومن هذا يتبيّن أن طين الاهتزاز - الدوران يتكون من ساسة من الخطوط موزعة على جهتي مركز الحزمة ω_0' وبأبعاد متساوية ($2B$) عن بعضها.

وعلى أية حال، فعند النظر في طيف الاهتزاز - الدوران لجزيئه ^{35}ClH

يظهر أن المسافة بين كل خطين في الفئة- R لم تكن متساوية للمسافة بين خطوط الفئة- p مثلا هو متوقٌ نظريا. وهذا يعني عدم صلاحية افتراض بورن - أو بينها يمر بجعل قيمة B ثابتة في المستويات الاهتزازية.

وبصورة عامة تكون قيمة B في المستوى الأعلى أصغر منها في المستوى الأدنى

(62)

وهكذا نعيد كتابة المعادلات (3-23) و (3-24) و (3-25) كالتالي :

$$\Delta \epsilon = \epsilon_{J,v=0} - \epsilon_{J,v=0}' / = \omega_0' + B_1 J' / (J' + 1) - B_0 J'' / (J'' + 1) \text{ cm}^{-1} \quad (26-3)$$

حيث B_0, B_1 يمثلان ثابتي الدوران في المستويين $v=0, v=1$ على التوالي . اما معادلة طاقة خطوط فئة $-R$ حيث $J'' / J' + 1 = -1$ هي :

$$\Delta \epsilon = \omega_0' + (B_1 + B_0)(J'' / J' + 1) + (B_1 - B_0)(J'' / J' + 1)^2 \text{ cm}^{-1} \quad (27-3)$$

ومعادلة طاقة خطوط فئة $-p$ حيث $J'' / J' + 1 = -1$ هي :

$$\Delta \epsilon = \omega_0' - (B_1 + B_0)(J' / J + 1) + (B_1 - B_0)(J' / J + 1)^2 \text{ cm}^{-1} \quad (28-3)$$

4-3 اهتزازات الجزيئات متعددة الذرة :

إن الخطوة الأولى في دراسة اهتزازات الجزيئات متعددة الذرة هو معرفة عدد طرق الاهتزاز . فالجزيئات ثنائية الذرة تمتلك نموذج اهتزازي واحد فقط (امتياط الرابطة *bond stretching*) ولكن في الجزيئات متعددة الذرة تظهر نماذج اهتزازية متعددة (امتياط الرابطة وانحناء الزوايا) .

ولنأخذ جزيئة تحتوي N من الذرات . وسيكون العدد الكلي للإحداثيات اللازمة لتحديد مواقع جميع الذرات هو $3N$. ويمكننا القول بأن الجزيئة لها $3N$ درجات حرية *degree of freedom* . حيث إن عدد الإحداثيات المستقلة المطلوبة لتحديد أي نوع من الحركة (انتقالية ، دورانية ، اهتزازية) يدعى بعدد درجات الحرية لذلك النوع من الحركة .

ويحدد كل إحداثي نموذج أو نمط الحركة *mode of motion* وبالتالي فإن عدد درجات الحرية تمثل عدد أنماط الحركة .

والأأن تكون الجزيئة حرة للحركة بكمالها (من التغير في شكلها) في حيز ثلاثي الأبعاد . وتستخدم هنا ثلاثة من درجات الحرية الـ $3N$ لوصف الحركة الانتقالية *Transitional motion* لمركز كتلة الجزيئة تاركة $3 - 3N$. كما سنحتاج

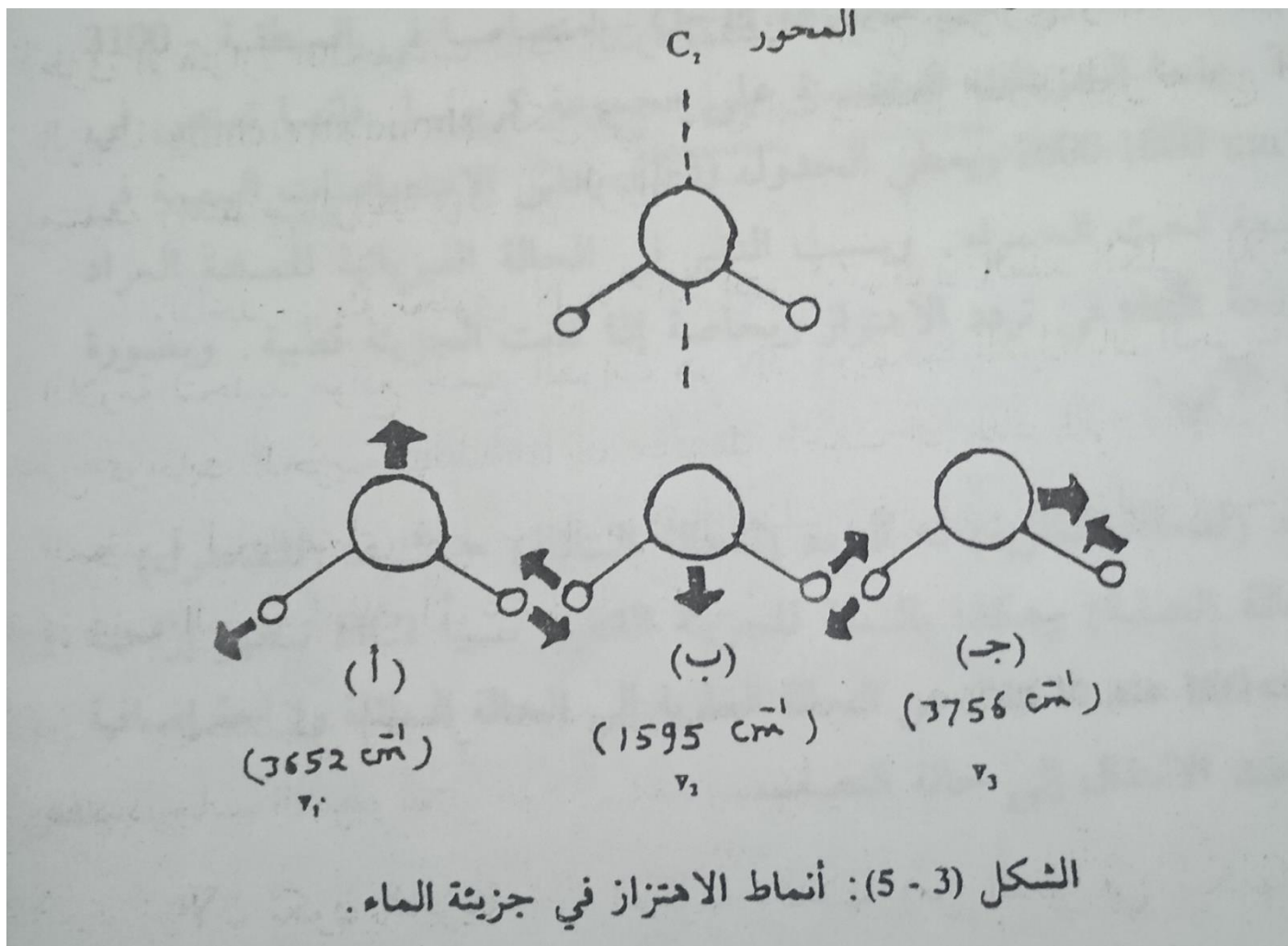
(63)

إلى 3 من درجات الحرية لوصف الحركة الدورانية للجزيئات غير الخطية (أو درجتين للجزيئات الخطية).

وهكذا يكون للجزيئات غير الخطية $6N - 3$ من درجات الحرية لوصف الحركة الاهتزازية في حين للجزيئات الخطية ستبقى $5N - 3$ من الاهتزازات الأساسية. وفي كلا الحالتين (الجزيئات غير حلقة) حيث عدد الروابط بين الذرات هو $N-1$ يوجد $1 - N$ من الاهتزازات بشكل حركات امتطاط رابطة (*stretching*) والأخرى $2N - 5$ (الجزيئات غير الخطية) أو $4N - 2$ (الجزيئات الخطية) بشكل حركات انحاء (*bending*). ففي حالة الجزيئات ثنائية الذرة (أي $N=2$) سيكون هناك اهتزاز أساس واحد ($3N - 5 = 1$) وهو يتضمن اهتزاز الذرتين على طول محور الرابطة (اهتزاز امتطاطي).

ولننظر الآن في جزيئة متعددة الذرة وغير خطية مثل H_2O :
تمتلك هذه الجزيئة ثلاثة أنماط اهتزازية ($6 - 3 = 3$ ، منها اهتزازان من نوع امتطاط ($2 - 1 = 1$) والثالث بهيئة انحاء ويمكن توضيحها في الشكل أدناه (53)

(64)



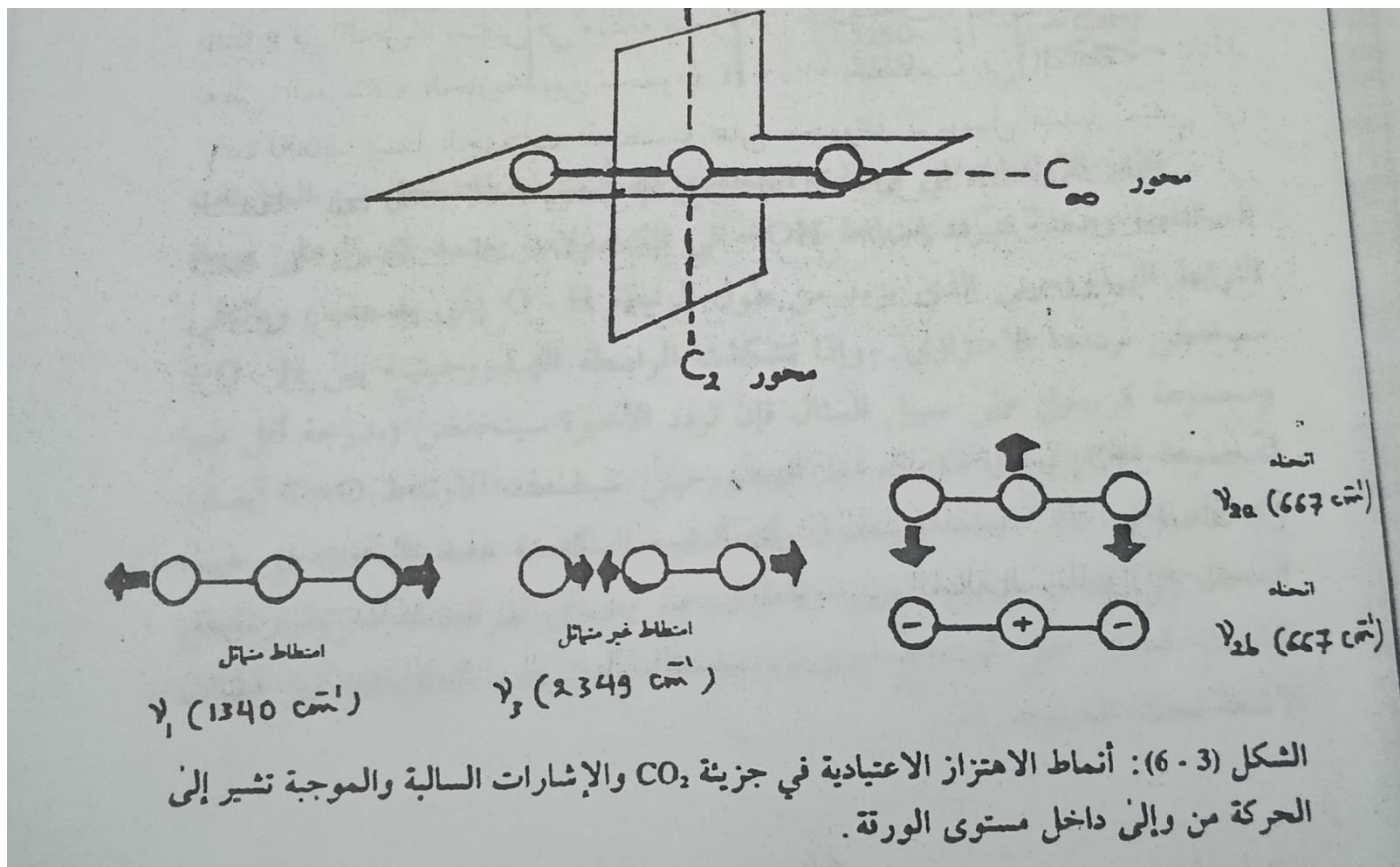
الشكل (3 - 5): أنماط الاهتزاز في جزيئه الماء.

ويشار لهذه الاهتزازات الثلاثة بـ الأنماط الاعتيادية للاهتزاز *normal modes of vibration* أو الاهتزازات الاعتيادية للجزيئه. ويعرف الاهتزاز الاعتيادي على أساس أنه الحركة الجزيئية التي فيها تتحرك الذرات بنفس الطور وبنفس التردد. أما الأن ننظر في الاهتزاز الأول (لاحظ الشكل (3 - 5 أ)):

إذا دورنا الجزيئه المهتزه حول المحور C ب 180° فسوف نلاحظ أن الاهتزاز يبقى من دون تغيير ويقال لهذا النمط الاهتزازي بـ الاهتزاز الانحناء (الشكل 3 - 5 ب) ولذا فهو متماثل ايضا. أما دوران نمط الامتطاط في الشكل (3-5 ج) حول المحور C سيعطي اهتزاز بحالة مختلفة عن الأصلية وعندئذ توصف الحركة على أساس أنها نمط اهتزازي غير متماثل .

ولنأخذ مثلا آخر على الجزيئات المتعددة الذرات هو جزيئه ثاني أوكسيد الكربون

(جزئية خطية) لاحظ الشكل (3-6) أدناه :



ن torque لهذه الجزيئ ظهر أربعة أنماط اهتزازية ($v_1 = 3 - 5 = 4$).

يظهر في نمط الاهتزاز المتماثل (v_1) بأن نواة الكربون بقيت من دون حركة أما في الاهتزاز غير المتماثل (v_3) لوحظ اهتزاز جميع النوى. في حين يعتبر نمطا الانحناء v_{2b} , v_{1b} متطابقين في جميع الاعتبارات عدا الاختلاف في الاتجاه وهم يمتلكان نفس التردد ويقال بأنهما منحلان ثنائيان *doubly degenerate*.

وبالإضافة إلى ما ذكر أعلاه نود الإشارة أيضا لجزئية CO_2 بأن اهتزاز الامتطاط المتماثل (v_1) يترك عزم ثنائي القطب على حالة من دون تغير وبذلك لا تلاحظ حزمة أشعة تحت الحمراء عند التردد v_1 ويقال : لهذا الاهتزاز بأنه غير فعال في منطقة تحت الحمراء. وفي حين يغير كل من v_2 و v_3 عزم ثنائي القطب ولذا فإن الاهتزازين يعتبران فعاليين في منطقة تحت الحمراء .

تستخدم أطياف الأشعة تحت الحمراء للجزئيات متعددة الذرة في الحالات الصلبة أو السائلة في تشخيص هذه الجزيئات. فالمجموعة الوظيفية *Functional Group*

في الجزيئية تمتلك في منطقة متميزة من طيف الأشعة تحت الحمراء. فمثلاً تعطي الجزيئات الحاوية على مجموعة $H-O$ - امتصاصاً في المنطقة - 3100

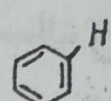
cm^{-1} بينما الجزيئات المتضمنة على مجموعة كربونيل فإنها تمتلك في المنطقة $1600-1800 cm^{-1}$ ويعطي الجدول (1-3) بعض الامتصاصات المهمة في منطقة الأشعة تحت الحمراء. وبسبب التغير في الحالة الفيزيائية للمادة المراد دراستها إزاحة $shift$ في تردد الاهتزاز وبخاصة إذا كانت الجزيئية قطبية. وبصورة

عامة نكتب الآتي :

التردد (الحالة الغازية) $>$ التردد (الحالة السائلة) = التردد (المحلول) $<$ التردد (الحالة الصلبة) وهذا بالنسبة لجزيء القطبية نسبياً HCl تظهر إزاحة

بحوالي cm^{-1} عند الانتقال من الحالة الغازية إلى الحالة السائلة وإزاحة إضافية cm^{-1} عند الانتقال إلى حالة التصلب .

جدول (3 - 1): الترددات التقريرية لبعض المجاميع الجزيئية.

التردد (قيمة تقريرية) cm^{-1}	المجموعة	التردد (قيمة تقريرية) cm^{-1}	المجموعة
1750-1600	$>\text{C}=\text{O}$	3600	-OH
1650	$>\text{C}=\text{C}<$	3400	-NH ₂
1600	$>\text{C}=\text{N}$	3300	$\equiv\text{CH}$
	$\begin{matrix} >\text{C}-\text{C}< \\ \geq\text{C}-\text{N}< \\ \geq\text{C}-\text{O}\backslash \end{matrix}$	3060	
1200-1000		3030	=CH ₂
1100	$>\text{C}=\text{S}$	2970 (امتطاط غير متماثل)	-CH ₃
1050	$\geq\text{C}-\text{F}$	2870 (امتطاط متماثل)	
725	$\geq\text{C}-\text{Cl}$	1460 (انحناء غير متماثل)	
650	$\geq\text{C}-\text{Br}$	1375 (انحناء متماثل)	-CH ₂ -
550	$\geq\text{C}-\text{I}$	2930 (امتطاط غير متماثل) 2860 (امتطاط متماثل) 1470 (انحناء)	-SH -C≡N -C≡C-
		2580 2250 2220	

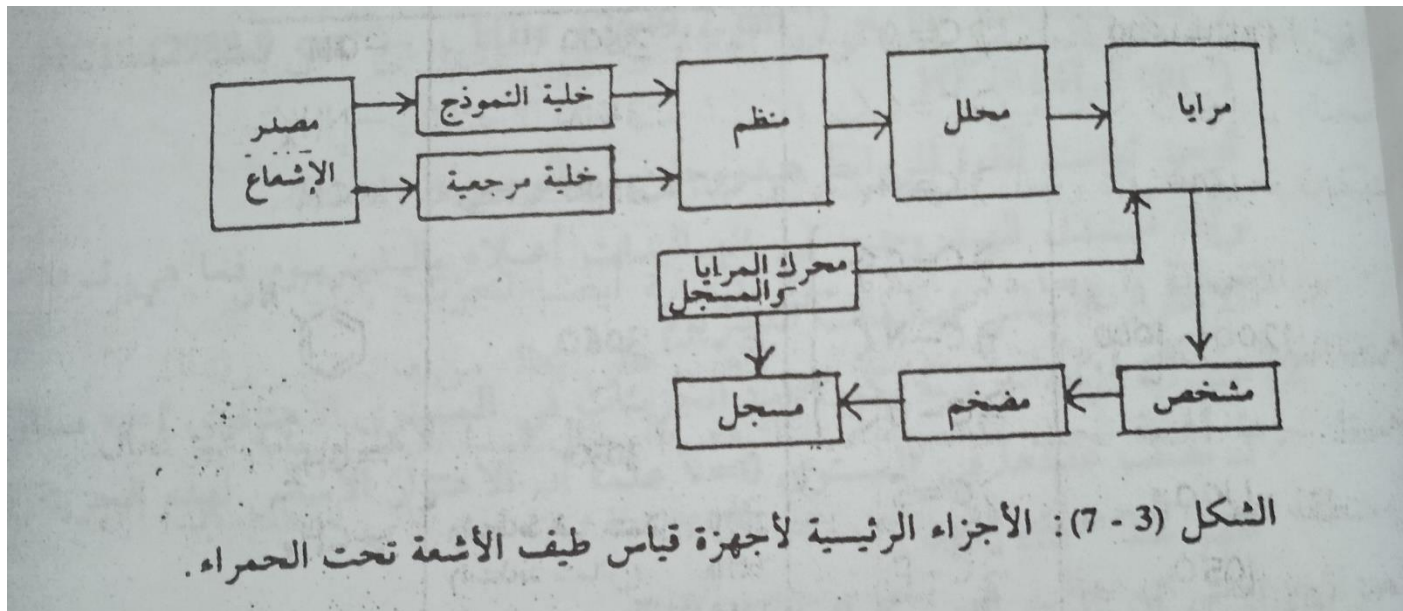
تظهر الإزاحات في ترددات المجاميع أيضاً كنتيجة للتداخل بين الجزيئات المختلفة وهذا فردد امتطاط OH- في الكحولات يعتمد كثيراً على درجة الترابط الهيدروجيني الذي يزيد من طول الرابطة H-O (أي يضعفها) وبالتالي سيختفي ترددتها الاهتزازي. وإذا تشكلت الرابطة الهيدروجينية بين H-O-H

ومجموعة كربونيل على سبيل المثال فإن تردد الأخيرة سينخفض (بدرجة أقل مما المجموعة OH) وذلك لأن الترابط الهيدروجيني سيضعف الارتباط C=O أيضاً.

وكخلاصة لما ذكر أعلاه نود القول بأن الخبرة المكتسبة عند الباحث في هذا المجال إلى جانب إمكانية مقارنة الأطيف مع أخرى لمركبات معروفة تجعل الباحث قادراً على استنتاج معلومات مهمة حول تركيب الجزيئات من أطيف الأشعة تحت الحمراء.

3-5 أجهزة قياس أطيف الأشعة تحت الحمراء :

يوضح الشكل (3-7) أدناه مخطط للأجزاء الرئيسية المستعملة في أجهزة قياس أطيف الأشعة تحت الحمراء:



الشكل (3-7): الأجزاء الرئيسية لأجهزة قياس طيف الأشعة تحت الحمراء.

وهكذا فالأجزاء الرئيسية (كما نلاحظه في الشكل (3-7) أعلاه) هي : أ - المصدر الإشعاعي:

إن المصدر المستخدم في مثل هذه الأجهزة هو عادة عبارة عن سلك مسخن كهربائياً (وهو مصنوع من مادة أوكسيد فلزي ترابي *rare-earth oxide* أو مادة الكربوراندوم *carbonundom*) ويعطي أشعة مستمرة .

ب. خلايا القياس :

وإذا كان النموذج المراد دراسته بشكل محلول فإن الخلية القياسية *reference cell*

يُنْبَغِي أن تكون ممتلئة بالمذيب النقي. والخلايا المستخدمة هي عديدة ومن بين الشائع الاستعمال: خلية NaCl للمدى $400 - 650 \text{ cm}^{-1}$ وخلية KCl للمدى $400 - 2500 \text{ cm}^{-1}$. خلية زجاجية للمدى $4000 - 400 \text{ cm}^{-1}$.

ويمكن دراسة النماذج الصلبة وذلك أما بمزجها مع مادة KBr ومن ثم استخدام الضغط للحصول على قرص شفاف أو بمزجها مع سائل البرافين *Nujol* .

أما نماذج البوليمرات الحيوية والبوليمرات المصنعة فتدرس بشكل رقائق

(أو أفلام رقيقة *thin films*) وذلك عن طريق التبخير حتى الجفاف لمحلول بوليمر على شبكة خلية الامتصاص. ويمكن قياس النموذج الغازي باستخدام خلايا خاصة مغلقة بنواذن أو شبابيك ملائمة من أملاح صخرية ويدخل النموذج خلال فتحة مسيطر عليها.

ج - المسار الضوئي والمحلل :

إن وجود المنظم *chopper* يسبب في جعل ضوء النموذج والضوء القياسي يسقطان بصورة متبادلة على المحلل *prism*.

أما المحلل أو الموشور (وهو غادة مصنوع من *KBr* أو ملح صخري) فيعمل على تفريغ الأشعة إلى مكوناتها. والأجهزة الحديثة أخذت تستخدم محرك دوار بدلاً من الموشور لأنّه يعطي قدرة تحليلية أكبر.

تقوم المرايا الدوارة بتغيير تردد: الأشعة الساقطة على الكشاف *detector*. والماكينة التي تحرك هذه المرايا هي نفسها تحرك المسجل حيث يتم تسجيل الطيف بدلاً من التردد.

د. الكاشف:

يوجد نوعان من الكواشف المستخدمة في أجهزة القياس. أحدها يعتمد على تحسس التأثير الحراري للأشعة ويستخدم المزدوج الحراري *thermocouple* والثاني يعتمد على التوصيل الضوئي ويستخدم مادة موصلة ضوئية *-photo-con-* و*ductive material* وفي كلا الحالتين المذكورتين اعلاه ،يسبب ارتفاع الحرارة أو التوصيلية عند تردد معين في زيادة النفاذية (وانخفاض الامتصاصية) للنموذج عند ذلك التردد.

أسئلة عامة

(1) تمتلك هاليدات الهيدروجين ترددات الاهتزاز الأساسية التالية:

cm^{-1}) $\text{HCl}(2988.9 \text{ cm}^{-1})$ $\text{HBr}(269.7 \text{ cm}^{-1})$ ، $\text{HF}(4141.3 \text{ cm}^{-1})$ $\text{HI}(2309.5$

أُوجد ثوابت القوة للروابط هيدروجين - هالوجين، وإذا استبدل الهيدروجين في الهايليدات أعلى بالديتريوم فما هي ترددات الاهتزاز الأساسية لهايليدات الديتريوم

(2) عند أية درجة حرارية يكون عدد الجزيئات في المستوى الاهتزازي $v=1$ متساوية لنصف عددها في المستوى $v=0$ علماً أن الاهتزاز الأساس لهذه الجزيئة قد

ظهر عند 4395 cm^{-1} .

(3) أثبتت أن ثابت القوة K العائد لدالة جهد مورس (عند إزاحات صغيرة هو :

$$k = 2D_e B^2 \text{ HCl}$$

$$D_e = 4.67 \text{ eV}$$

$$1.85 * 10 \text{ cm}^{-1} = B$$

(4) لدينا جزيئة صيغتها AB_2 وهي معروفة بكونها خطية ولكن لا نعرف فيما إذا كانت بشكل $B - A - B$ أو بشكل $A - B - B$ وقد وجد أن طيف الأشعة تحت الحمراء لهذه الجزيئة يتضمن امتصاصات تعود إلى ثلاثة أنماط اهتزازية اعتيادية . فأيي الشكلين يمثل التركيب .

(5) بين أي يمتلك تردد اهتزاز أعلى على لكل فقرة مما يلي:

1. امتطاط $C=C$ وامتطاط $C\equiv C$

2. امتطاط $C-H$ وأمتطاط $C-C$

3. امتطاط $C-H$ وانحنا CH_2

(6) ما عدد الأنماط الاعتيادية لاهتزاز الجزيئات التالية :

أ. HBr

ب - OCS (خطية)

ج. SO_2 (غير خطبة).

الفصل الرابع

أطیاف رامان

Raman spectra

1-4 مقدمة :

عند مرور حزمة ضوئية خلال وسط مادي شفاف فإن كمية معينة من الضوء ستعاني تشتتاً (تغيراً في اتجاه حركته) ويمكن كشفه من خلال المراقبة من مستوى عمودي على مسار الحزمة الضوئية الساقطة .

يتشتت معظم الضوء من دون تغيير في التردد والطاقة وهذا النوع من التشتت يعرف بتشتت رايلى *Rayleigh scattering* ، الذي قد لوحظ من قبل رايلى في عام 1871 وأعزى إلى التصادم المرن *elastic collision* بين الفوتون الساقط والجزئية .

و عند تسليط شعاع أحادي الطول الموجي على غاز أو سائل فإن مقداراً صغيراً من الفوتونات المتشتتة ستتبادل الطاقة مع الجزيئية خلال التصادم، وتدعى الزيادة أو الانخفاض في طاقة الفوتونات المتشتتة بتأثير رامان *Raman effect*. ولوحظ هذا التأثير من قبل الفيزيائي الهندي رامان عام 1928.

تتضمن أطیاف رامان على مجموعتين من الخطوط، الأولى تدعى مجموعة ستوكس *stokes* ولها ترددات أوطأ من تردد الضوء الساقط (الحزمة المركزية)، والثانية تسمى مجموعة ستوكس المضاد *antistokes*. وهي تكون أقل شدة من خطوط المجموعة الأولى وتظهر عند ترددات أعلى من تردد خط رايلى (الحزمة المركزية).

تعتبر أطیاف رامان وسيلة مهمة لإعطاء معلومات عن ترددات الاهتزاز وأخذ ينظر إليها على أساس أنها وأطیاف الأشعة تحت الحمراء يكونان مكملين لبعضهما البعض . سوف نركز اهتمامنا في هذا الفصل على أطیاف رامان الدورانية لبعض

الأنواع من الجزيئات وكذلك الأطياف الاهتزازية . وقبل ان نبدأ في ذلك لابد من التطرق ولو بشيء مختصر الى كيفية تفسير ظهور تأثير رامان .

4-2 ميكانيكية تشتت رامان :

يعتبر تشتت رامان أكثر تعقيداً مما هو الحال مع امتصاص الأشعة تحت الحمراء الاعتيادي . ويوجد تفسير كلاسيكي (أو نظرية كلاسيكية) يقدر على توضيح ظهور التأثير وأيضاً هناك تفسير كمي (أو نظرية كمية *quantum theory*) يحتاج لإعطاء قواعد الاختيار وشادات الخطوط بصورة مقبولة . ولنبدأ بالنظرية الكمية .

4-2-1 نظرية الكم لتأثير رامان :

وفقاً لهذه النظرية التي تعتبر الضوء ذا التردد ν_0 على أساس أنه سيل من الجسيمات تدعى **الفوتونات photons** طاقة كل منها تساوي $h\nu_0$ فإن هذه الفوتونات ستواجه تصادمات مع الجزيئات . فإذا كانت التصادمات مرنة تماماً فإن هذه الفوتونات ستتحرف من دون تغيير طاقتها وهو ما أطلق عليه بتشتت رايلي . وقد تكون التصادمات غير مرنة (وهذا هو تشتت رامان) حيث في مثل هذه الحالة يحصل تبادل طاقي بين الفوتونات والجزيئات خلال عملية التصادمات . وهذا فالجزيئية يمكنها أن تكتسب أو تفقد كمية من الطاقة ΔE . وتمثل هذه الكمية الطافية التغير في الطاقة الاهتزازية أو الدورانية أو كليهما للجزيئ . فإذا اكتسبت الجزيئ طاقة ΔE فإن الفوتون سيتشتت بطاقة $h\nu_0 - \Delta E$ (أو بتردد يساوي $\nu_0 - \Delta E/h$) في حين عندما تفقد الجزيئ طاقة ΔE فإن الطاقة المتشتتة هي $h\nu_0 + \Delta E$ (أو بتردد يساوي $\nu_0 + \Delta E/h$) . ويشار للأشعة المتشتتة بتردد أو طأً مما للشعاع الساقط بأشعة ستوكس وللآخر المتشتتة عند التردد الأعلى بأشعة ستوكس المضاد . وتعتبر خطوط ستوكس أكثر شدة من خطوط ستوكس المضاد لأن الأخيرة تنشأ عندما تكون الجزيئات أصلاً في حالة دورانية أو اهتزازية متهدجة . وإن عدد هذه الجزيئات قليل مقارنة بعدها في المستويات الواطئة حسب قانون التوزيع لبولتزمان .

4 - 2 - النظرية الكلاسيكية لتأثير رaman:

لوأخذنا جزيئاً ثنائياً مثل جزيء الهيدروجين H_2 وسلطنا على هذه الجزيئة مجالاً كهربائياً E على طول المحور الرابطة فإنها ستتعانى تشويهاً حيث تتجذب النوى الموجبة الشحنة باتجاه القطب السالب للمجال وتتجذب الإلكترونات نحو القطب الموجب. وسيعطي هذا الانفصال في الشحنات عزماً مستحثاً كهربائياً ثنائياً للقطب، (μ)، ويعتبر *induced electric dipole moment* ويقال للجزيء بأنها مستقطبة *polarized molecule*. يدعى تأثير المجال الكهربائي E المهزز في الأشعة الكهرومغناطيسية على الجزيئ مسبيّة في تشويهها بالاستقطابية *Polarizability* (α). وهكذا فالاستقطابية لجزيء هي مقياس لتأثير المجال E في إحداث اضطراب في الغيمة الإلكترونية. تكون الجزيئات ذات الإلكترونات الأقل ارتباطاً بالنواة أقل استقطابية من تلك المحتوية على الإلكترونات القوية الارتباط بأنيوتها فمثلها تكون الاستقطابية للزئيون X^- أعلى مما هي للهيليوم. إن العلاقة بين μ و E تكتب كما يلي:

$$\mu = \alpha E \quad \dots\dots (1-4)$$

ولنفترض الآن بأن المجال الكهربائي E هو نتاج للأشعة ذات التردد v_0 عندئذ يمكننا أن نكتب:

$$E = E_0 \sin 2\pi v_0 t \quad \dots\dots (2-4)$$

وهكذا سيتعانى ثنائي القطب المستحث تذبذباً بنفس التردد v_0 وبالتالي:

$$\mu = \alpha E_0 \sin 2\pi v_0 t \quad \dots\dots (3-4)$$

تظهر خطوط رaman إذا أحدث الدوران أو الاهتزاز الجزيئي استقطابية مهترئة فمثلاً إذا أحدث تردد اهتزاز v_{rib} تغير في الاستقطابية فإن هذا التغير في الاستقطابية يعبر عنه بالعلاقة التالية :

$$\alpha = \alpha_0 + R \sin 2\pi v_{rib} t$$

حيث و تمثل الاستقطابية قبل الامتزاز أما R فتشير إلى معدل أو سرعة تغير (74)

الاستقطابية مع الاهتزاز . والآن نعرض عن 4 من معادلة (4 - 4) في معادلة (3) وسنحصل على:

$$\mu = aE = (a_0 + R \sin 2\pi v_{vib} t) E_0 \sin 2v_0 t \quad \dots(5-4)$$

وإذا استخدمنا العلاقة التالية :

$$2 \sin A \sin B = \cos(A-B) - \cos(A+B)$$

فإن معادلة (4 - 5) تكتب بالشكل التالي :

$$\mu = a_0 E_0 \sin 2\pi v_0 t + 1/2 RE_0 \{ \cos 2\pi(v_0 - v_{vib})t - \cos 2\pi(v_0 + v_{vib})t \} \dots(6-4)$$

ومن معادلة (6-4) يتضح أن النظرية الكلاسيكية تتوقع إضافة إلى ظهور تشتت رايلي بوجود خطوط ضعيفة بترددات $v_0 + v_{vib}$ مطابقة لخطوط ستوكس وستوكس المضاد الملحوظة .

ومما يجدر الإشارة له هنا هو إذا لم يغير الاهتزاز استقطابية الجزيئة فهذا يعني أن $R=0$ وبذلك سيهتز ثانوي القطب المستحث بتردد مساو لتردد الضوء الساقط (وينطبق نفس الكلام أعلاه على الحركة الدورانية).

3-4 أطياف رaman الدورانية : *Rotational Raman Spectra*

إن النظر في قواعد الاختيار لأطياف رامان يوضح لنا بأن الجزيئات الكروية القمة لا تعطي أطياف رامان الدورانية في حين تعطي الأنواع الأخرى من الجزيئات . وكالآتي :

3-4-1 الجزيئات الخطية :

لقد سبق وأن أعطينا المستويات الدورانية الطاقية في الفصل الثاني (معادلة (2-15)) وهي :

$$\epsilon = B(J+1)cm^{-1} \quad \dots(7-4)$$

حيث أهملنا هنا حد ثابت التشويه المركزي (D) لكونه قليل التأثير .

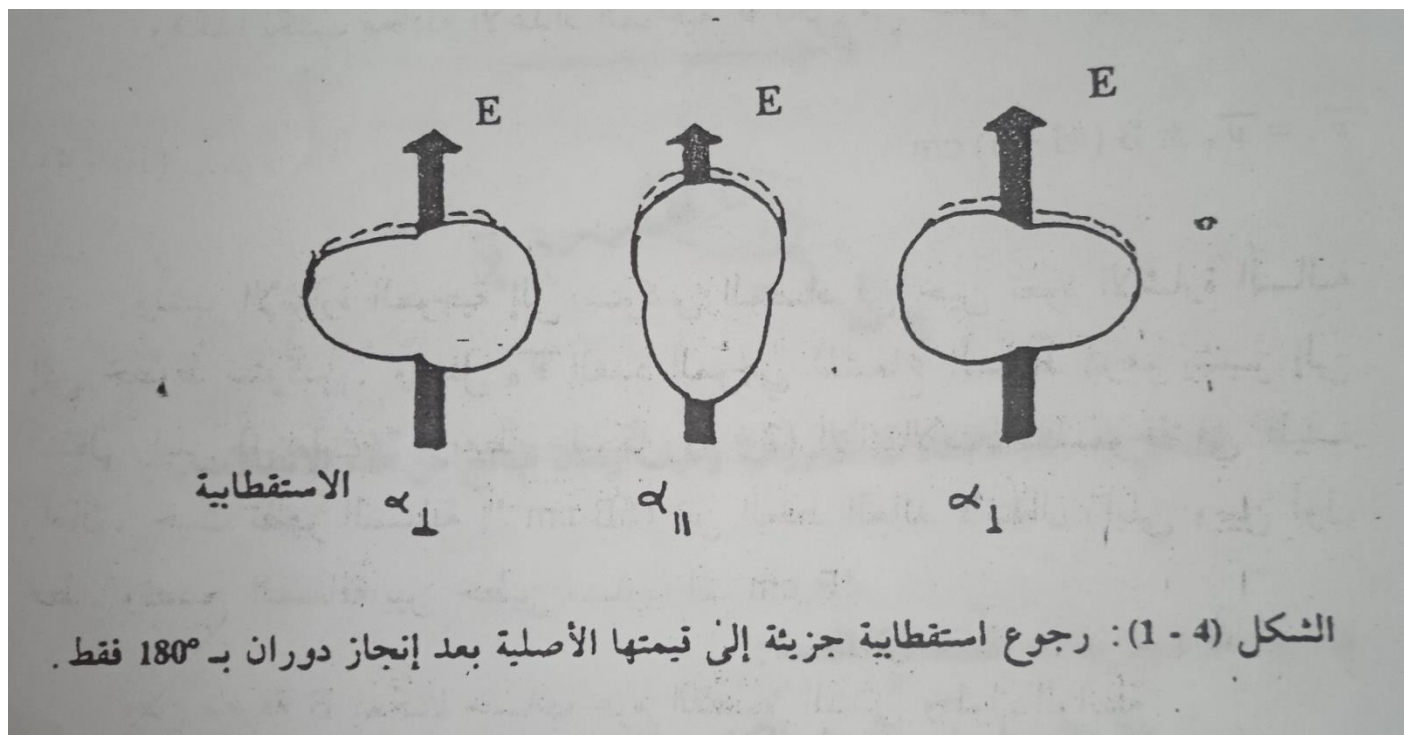
أما قاعدة الاختيار التي تحكم في الانتقالات بين المستويات الطاقية الدورانية هنا فتكتب كما يلي:

(75)

$$\Delta J = +2 \quad \dots \quad (8-4)$$

(ملاحظة : إن قاعدة الاختيار في أطياف المايكرويف الدورانية كانت $\Delta J = +1$)

إن ظهور الرقم 2 في هذه القاعدة له ما يبرره . حيث لو نظرنا في الشكل (1-4) أدناه، لرأينا أن الاستقطابية لجزيئه تعود لحالتها البدائية مرتين لكل دورة أو دوران (والدوران هو من نوع النهاية - فوق - النهاية وليس الدوران حول محور الرابطة لأن الأخير لا يغير من الاستقطابية) وتظهر الجزيئ وكأنها تدور بضعف سرعة عزم ثانوي القطب عندما يكون الأخير موضوع المقارنة .



الشكل (1-4) : رجوع استقطابية جزيئه إلى قيمتها الأصلية بعد إنجاز دوران بـ 180° فقط .

والآن إذا عرفنا ΔJ على أساس أنها تمثل للمستوى الدوراني الأعلى مطروحا منها للمستوى الدوراني الألوط فإننا سنعمل $2 - \Delta J = \Delta J$ لأنه في حالة التغير الدوراني يكون عدد الكم للمستوى الدوراني الأعلى أكبر من قيمته للمستوى الدوراني الألوط وهذا إذا استخدمنا $2 - \Delta J = \Delta J$ في معادلة (7-4) فإننا سنحصل على :

$$\begin{aligned} \Delta E &= \frac{1}{r} \cdot \frac{dE}{dr} \\ &= B(4J+6) \text{ cm}^{-1} \quad \dots \quad (9-4) \end{aligned}$$

حيث إن r تساوي $2 + \Delta J$ و r تساوي J أما r فتأخذ القيم $0, 1, 2, 3, \dots$ الخ وطالما أن $+2 = \Delta J$ لذا من الممكن أن نستعمل هنا التدليل 5 ليشير إلى الخطوط العائدة

لفئة -S ولقد استخدمنا في الفصل الثالث الفئة -R لانتقالات $\Delta J = 1$ والفئة -P لـ $\Delta J = -1$.

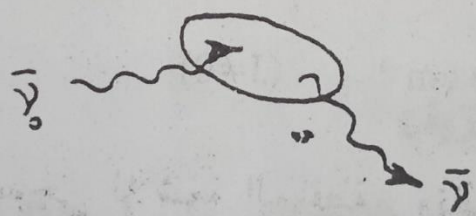
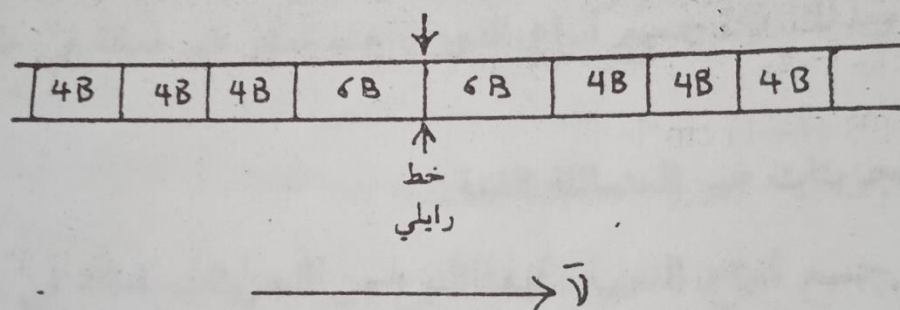
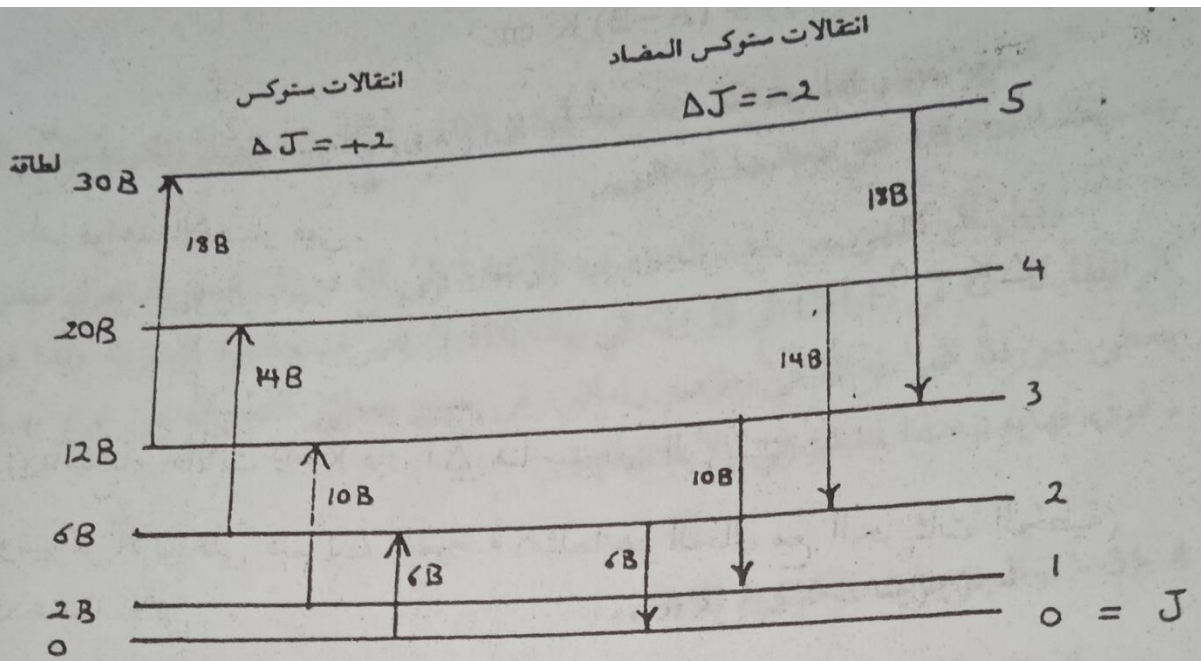
وهكذا نكتب معادلة الأعداد الموجية /v لكل من خطوط الطيف كالتالي :

$$v_s' = v_0' + B(4J+6) \text{ cm}^{-1} \quad (10-4)$$

وتشير الإشارة الموجية إلى ستوكس المضاد في حين تعود الإشارة السالبة إلى خطوط ستوكس. ويمثل v_0' العدد الموجي للشعاع الساقط (وهو يشير إلى انتقال رايلى $\Delta J = 0$). ويعطي الشكل (4 - 2) الانتقالات المسموحة في طيف رaman، حيث تظهر المسافة $(6B\text{cm}^{-1})$ بين الخط العائد لانتقال رايلى وبين أول. وتصبح المسافة بين خطين متساوين $(4B\text{cm}^{-1})$

ومن معرفة B يمكننا حساب عزم القصور الذاتي وطول الرابطة .

ومما ينبغي ذكره هنا هو أن جزيئات مثل H_2 و N_2 التي لا تعطي أطيافا دورانية في منطقة المايكروويف وتحت الحمراء يمكنها أن تعطي أطياف رaman .



الشكل (2-4) الانتقالات الدورانية وطبق رaman الناتج من هذه الانتقالات.

3-4-2-الجزئيات المتماثلة القمة :

ومن الأمثلة عليها، جزيئية الكلوروفورم، وفلوريد الميثان والأمونيا. وإن معادلة الطاقة للمستويات الدورانية لهذا النوع من الجزيئات (انظر معادلة (2 - 18)) هي:

$$\varepsilon_{J,K} = BJ(J+1) + (A-B)K^2 \text{ cm}^{-1}$$

$$K=0, \pm 1, \pm 2, \dots \quad J=0, 1, 2, \dots$$

أما قواعد الاختيار فهي :

$$\Delta K = 0$$

$$\Delta J = 0, \pm 1, \pm 2$$

(وباستثناء حالات $K=0$ فإن ΔJ هنا ستحدد إلى ± 2)

وسنركز الآن على قيم ΔJ الموجبة (مثلا هو الحال مع الجزيئات الخطية) وسيكون عندنا الآتي :

أ - عندما تكون $+1 = \Delta J$ فإننا سنحصل على خطوط فئة $-R$:

$$\Delta \varepsilon = \varepsilon_{J+1} - \varepsilon_J$$

$$= 2B(J+1) \text{ cm}^{-1} \quad (11-4)$$

(حيث إن $J+1$ تساوي J و J تساوي J وإن ...، $3, 2, 1 = J$ و $0 \neq J$) ونكتب معادلة الأعداد الموجية لـ كل من هذه الخطوط كالتالي :

$$\nu' = \nu_0' + 2B(J+1) \text{ cm}^{-1} \quad (J \neq 0) \quad (12-4)$$

حيث ν_0' تمثل العدد الموجي للأشعة الساقطة. وتظهر الخطوط عند $4B$ و $6B$ و $8B$ و $10B$ أي إن الخطوط مفصولة بمسافة ثابتة ($2B$) عن بعضها البعض.

ب - تعطي طاقة طيف خطوط فئة $-S$ عندما تكون $+2 = \Delta J$ كما يلي :

$$\Delta \varepsilon_s = B(4J+6) \text{ cm}^{-1} \quad J=0, 1, 2, 3, \dots \quad (13-4)$$

وايضا:

$$\nu' = \nu_0' + B(4J+6) \text{ cm}^{-1} \quad (14-4)$$

وهكذا تظهر خطوط فئة $-S$ عند $6B$ و $10B$ و $14B \text{ cm}^{-1}$... وتكون مفصولة بمسافة $4B \text{ cm}^{-1}$ عن بعضها البعض.

(79)

و قبل أن ننتهي من هذا الجزء نود الإشارة إلى أن دوران الجزيئة حول محور الرابطة $C-F$ في CH_3F أو $C-H$ في $HCCl_3$ لا يغير استقطابية الجزيئة ولذا فهو يعطي دوران غير فعال في طيف رaman. في حين يعطي الدوران من نوع نهاية - فرق نهاية . - هذا التغير في الاستقطابية .

3.3.4 الجزيئات الكروية القمة :

إن دوران هذا النوع من الجزيئات (مثل الميثان أو SiH_4) لا يغير في الاستقطابية وبذلك فإن جميع أنواع الدوران هذه تعتبر غير فعالة في طيف رaman .

3.4 الجزيئات غير المتماثلة القمة:

تعتبر جميع أنواع الدوران لهذا النوع من الجزيئات فعالة في طيف رaman . و سوف لا ننطرق لها لكونها أطيف معقدة مقارنة بأطيف الأنواع السابقة من الجزيئات .

4.4 أطيف رaman الاهتزازية :

يعتمد ظهور طيف رaman الاهتزازي على استقطابية الجزيئة. والمهم هنا هو هل يحدث تغير في الاستقطابية عندما تهتز الجزيئة أم لا؟ فإذا حدث تغير يقال عندئذ للاهتزاز بأنه اهتزاز رaman فعال، هذا يعني أنه يستطيع تبادل طاقة الفوتون الساقط الذي سيغادر بتردد أكبر إذا كان التصادم بسبب نقصانا في طاقة الجزيئة الاهتزازية أو بتردد أقل إذا كان التصادم يسبب في حدوث تهيج اهتزازي .

ويمكن للجزيئات ثنائية الذرة المتتجانسة وغير المتتجانسة النوى (مثل N_2 و HCl على التوالي) أن تتمدد أو تتكشم أثناء الاهتزاز، وإن سيطرة النوى على الإلكترونات (وبالتالي الاستقطابية الجزيئية) ستتغير. وهذا فإن كلا النوعين من الجزيئات يمكنها إعطاء أطيف رaman الاهتزازية .

إن معادلة الطاقة لكل نمط اهتزازي (بغض النظر عن طبيعة الجزيئة أو نوع الاهتزاز) تعطى كما يلي (انظر معادلة (3 - 11)):

$$\varepsilon = \omega_e' (v + 1/2) - \omega_e' (v + 1/2)^2 X_e \text{ cm}^{-1} \quad (15-4)$$

(80)

حيث ...، $v=0$ ، 1 ، 2 ، ... تمثل ثابت اللاتوافقيّة ، . ويشير ω' إلى تردد الاهتزاز معبرا عنه بوحدات العدد الموجي .

كما أن قاعدة الاختيار هي:

$$\Delta V = 0, - + 1, - + 2, \dots \quad (16-4)$$

ومثلا هو الحال مع أطيف الأشعة تحت الحمراء فإن الاحتمالية لـ $\Delta v = +2$ تتفاوت بسرعة كبيرة .

والآن عندما نطبق قاعدة الاختيار من معادلة (4 - 16) نغلق معادلة الطاقة المعطاة في معادلة (4 - 15) فإننا سنحصل على :

أ - انتقال أساسى من $v=0$ إلى $v=1$ وتكون له :

$$\Delta \varepsilon_f = \omega'_e (1 - 2X_e) \text{ cm}^{-1} \quad (17-4)$$

ب - الانتقال الفوقي الأول من $v=0$ إلى $v=2$ وتكون له:

$$\Delta \varepsilon_f = 2\omega'_e (1 - 3X_e) \text{ cm}^{-1} \quad (18-4)$$

ج - انتقال الحزمة الساخنة من $v=1$ إلى $v=2$ وتكون له:

$$\Delta \varepsilon_h = \omega'_e (1 - 4X_e) \text{ cm}^{-1} \quad (19-4)$$

. وإلخ .

يكون ضوء رaman المتشتت بصورة عامة ضعيف الشدة ولذا فإننا سنهمل كل التأثيرات الضعيفة مثل الترددات الفوقية *overtones* والحرم الساخنة *hot bands* وسنركز على الامتصاص الأساس .

والآن نكتب معادلة العدد الموجي v' لخطوط رaman العائدة للاهتزازات الأساسية الفعالة كما يلي:

$$v'_f = v'_0 + \Delta \varepsilon_f \text{ cm}^{-1} \quad (20-4)$$

تمثل الإشارة السالبة إلى خطوط الستوكس والإشارة الموجبة تشير إلى خطوط (81)

الستوكس المضاد (وهي ضعيفة الشدة عند درجة حرارة الغرفة ، أما المسافة الطاقية الفاصلة بين كل خط و مركز خط التهيج (الضوء الساقط) فتعطي قيم ترددات الاهتزاز الأساس الفعال في طيف رaman .

5.4 قاعدة الاستثناء المتبادل : Rule of mutual exclusion :

تنص هذه القاعدة على:

"إذا امتلكت الجزيئة مركزاً للتماثل centre of symmetry فإن الاهتزازات التي تكون فعالة في طيف رaman تصبح غير فعالة في طيف الأشعة تحت الحمراء والعكس صحيح. أما إذا لم يوجد مركز للتماثل عندئذ ستكون بعض الاهتزازات (وليس من الضروري أن تكون جميعها) فعالة في كل من رaman وتحت الحمراء" ولتأخذ جزيئة CO_2 مثلاً لنا وندون في الجدول (4 - 1) أدناه الاهتزازات الأساسية الفعالة وغير الفعالة لهذه الجزيئة في طيفي رaman وتحت الحمراء .

الجدول (1-4): فاعلية الاهتزازات الأساس لجزيئة CO_2 في طيفي رaman وتحت الحمراء.

نوع الاهتزاز	رامان	تحت الحمراء
امتطاط متماثل (v_1)	فعال	غير فعال
انحناء (v_2)	غير فعال	فعال
امتطاط غير متماثل (v_3)		

ومن الجدول نرى أن جزيئة CO_2 التي تمتلك مركزاً للتماثل لا تعطي اهتزازاً فعالاً في كل من رaman وتحت الحمراء في نفس الوقت.

وكمثال آخر نأخذ جزيئة SO_2 التي تعطي الاهتزازات التالية :

اهتزاز امتطاط متماثل ν_1 عند 519cm^{-1}

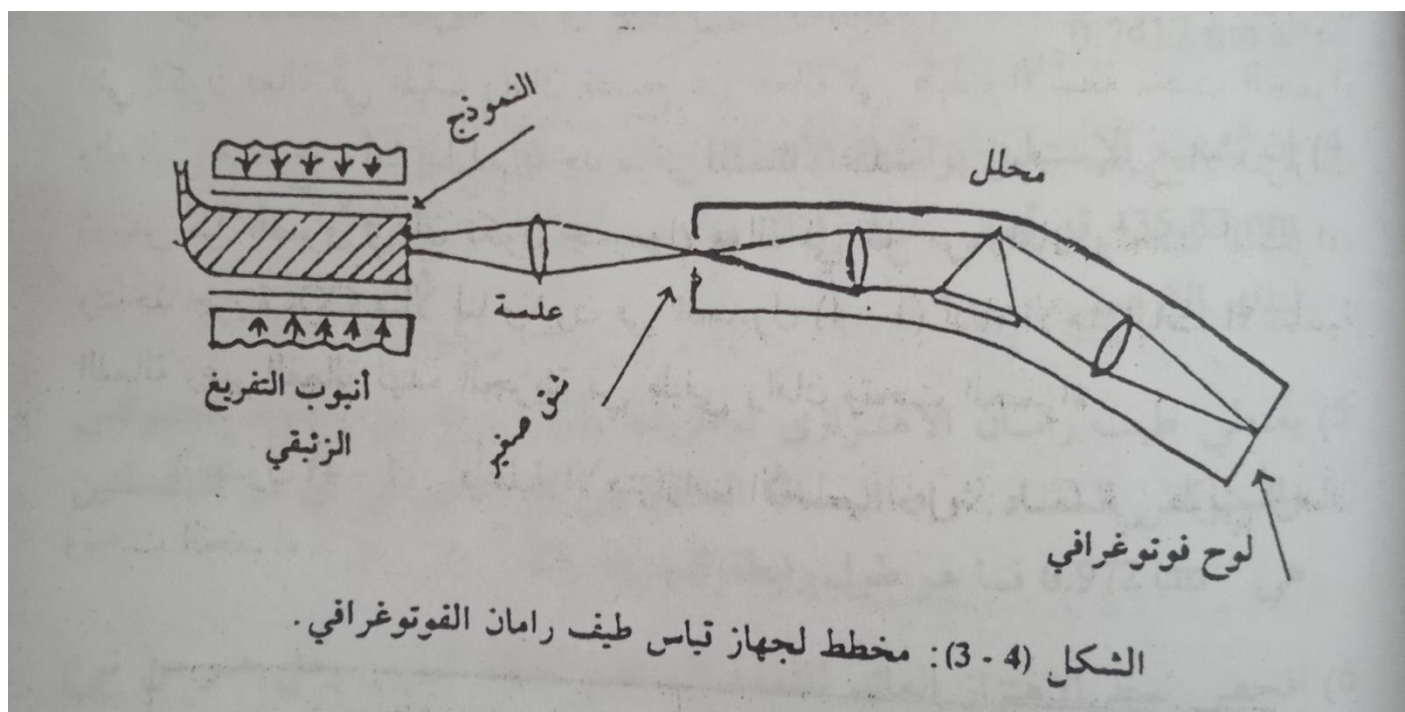
اهتزاز انحناء ν_2 عند 1151cm^{-1}

اهتزاز امتطاط غير متماثل ν_3 عند 1361cm^{-1}

ووجدت جميع هذه الأنماط فعالة في كل من رامان وتحت الحمراء وبذلك يمكننا أن نتوقع بأن الجزيئة لا تمتلك مركز تماثيل يعكس جزيئية CO_2 .

4-6 أجهزة قياس طيف رaman :

يوضح الشكل (4 - 3) أدناه تخطيطياً لجهاز قياس طيف رaman الفوتوغرافي .



الشكل (4 - 3): مخطط لجهاز قياس طيف رaman الفوتوغرافي .

إن المصدر الضوئي المستخدم هو أنبوب التفريغ الرئيسي ذي الخط الأزرق عند 4358A° . ويحيط خلية النموذج بشكل يسمح بدخول أكبر نسبة ممكنة من الأشعة للنموذج. وتركز الأشعة المشتتة على شق أو فتحة ضيقة وذلك بواسطة مرآيا .

إن الأشعة بعد مرورها بمحلول (مؤشر زجاجي) تشخص بواسطة لوح فوتوغرافي *photographic plate*

ومن المعروف أن خطوط رaman هي ضعيفة الشدة جداً (حيث إن 0.001% من

الأشعة الساقطة سيعاني تشتها وإن 1% من الأشعة المشتتة يمثل تشتها رامان). وبذلك تظهر الحاجة إلى استخدام مصدر ضوئي عالي الشدة. ويعتبر الليزر كمصدر ضوئي مثالياً لهذا الغرض، فهو يعطي حزمة إشعاعية ضيقة، أحادية الطول الموجي ولا يحتاج إلى مرشح filter مثلما هو الحال مع المصدر الضوئي الزئبقي.

أما خلية النموذج فهي عبارة عن صندوق طوله 2cm وبمقطع عرضي 0.5cm^2

بعكس الخلية المستعملة في الجهاز الزئبي التي طولها بين $20\text{cm}-30\text{cm}$ وقطرها $2\text{cm} - 1\text{cm}$ حيث يحتاج إلى كمية كبيرة من النموذج. وإضافة إلى ما ذكر أعلاه فإن استخدام الليزر كمصدر ضوئي سوف يحسن من قدرة التحليل الطيفي وذلك لأن عرض خط الليزر أصغر من عرض الخط المتهيج للزئبق.

وسيوجه الضوء المتشتت بزوايا قائمة على اتجاه شعاع الليزر باتجاه فتحة الدخول الضيقة للجهاز الذي بدوره يسجل شدة الضوء مقابل التردد معطيا بذلك طيف رaman.

أسئلة عامة

١) أجب بصح أو خطأ إزاء الفقرات التالية :

أ - الجزيئات الخطية هي متماةلة القمة

ب - إن الجزئيات التي لها عزم ثنائي القطب يساوي صفرًا لا تستطيع تغيير حالتها الدورانية.

جـ- تمتلك الجزئية مركزاً للتماثل إذا كان لها عزم ثنائي القطب مساوياً لصفر.

د- في أية حال من الأحوال عندما تنتقل الجزيئة من مستوى طaci إلى آخر فإنها تتبع أو تمتضى فوتون طاقتة مساوية لفرق الطaci بين المستويين .

٥ - لا يمكن للجزئيات غير متماثلة القمة أن تمتلك محاور للتماثل .

و- إن إزاحة رامان لخط طيف رaman لا تعتمد على قيمة تردد اهتزاز التهيج ν_0

ز- إن الطاقة الدورانية لأية جزيئة تعطي بواسطة $(J+1)BJ$ في حال إهمالنا لثابت التشويه المركزي .

(2) أي من الجزيئات التالية تعطي طيف اهتزاز رaman:



(3) ما هي الأجهزة الطيفية التي بواسطتها نستطيع دراسة طيف الدوران الجزيئي الهيدروجين؟ ثم كيف تتوقع أن يكون طيفه إذا كان طول الرابطة H - H مساوياً $\text{nm } 0.7417$.

(4) إن تشعيع الإستيلين بواسطة الأشعة من أنبوب التفريغ الزئبقي ذي الطول الموجي 476.85 nm قد أعطى خط رaman عند $\text{nm } 476.85$ أحسب تردد الاهتزاز العائد لتلك الإزاحة.

(5) يعطي طيف رaman الاهتزازي لجزيء Cl_2 سلسلة خطوط الستوكس والستوكس المضاد. وإن المسافة الطاقية بين كل خطين في أي من السلاسلتين هي $\text{cm}^{-1} 0.972$ فما هو اطول رابطة الجزيء Cl_2 .

(6) افحص نمط الاهتزاز العائد للتمدد المنتظم لحلقة البنزين وهل هو من نوع رaman الفعال أم تحت الحمراء الفعال.

الفصل الخامس

الأطیاف الالكترونية الجزئية

Molecular Electronic Spectra

1-5 مقدمة

إن الطاقات المتضمنة في تغيير التوزيعات الإلكترونية للجزيئات بصورة عامة تقع في منطقتى المرئية وال فوق البنفسجية (من الطيف الكهرومغناطيسي) والتي تمتد من حوالي 14000 cm^{-1} للضوء الأحمر إلى 21000 cm^{-1} للضوء الأزرق و تستمرة إلى 50000 cm^{-1} للضوء فوق البنفسجي .

و تصاحب الانتقالات الإلكترونية أيضاً تغيرات في الطاقة الاهتزازية التي بدورها تعطي حزم طيفية *Spectral bands* وتغيرات في الطاقة الدورانية والتي تعتبر المسؤولة عن ظهور التركيب الدقيق *fine structure* للحزم. فإذا كانت المادة الجزيئية المدروسة هي في الحالة الغازية فإننا سنحصل على طيف واضح محدد المكونات. في حين يكون الطيف غير واضح في حالة المحاليل وذلك لكون الاهتزازات و الدورانات لا تحدث بحرية مثلاً هو الحال في الغازات . وعلى أية حال، تعطي مواد كيميائية (حتى في حالة المحاليل) أطیافاً مميزة تفيدنا في تشخيصها وتعيين تركيزها.

وسنبدأ هذا الفصل مركزين بدرجة من التفصيل على الأطیاف الإلكترونية للجزيئات ثنائية الذرة ومن ثم سنتوسع في معالجتنا للأطیاف الإلكترونية لتشمل الجزيئات المتعددة الذرة .

5-2 الأطیاف الإلكترونية لجزيئات ثنائية الذرة :

إن الافتراض المأثور عند النظر في الأطیاف الإلكترونية لجزيئات ثنائية الذرة هو أن الحالات الطاقية الإلكترونية والاهتزازية - الدورانية لا تختلط، وبذا فالدالة

الموجية الكلية ψ_{tot} تكتب كالتالي:

$$\psi_{tot} = \psi_e \psi_v \quad (1-5)$$

إن الفصل بين الدالة الموجية الإلكترونية ψ_e ، والدالة الموجية الاهتزازية - الدورانية ψ_v بشكل ما هو معروف بتقرير بورن - أوبينهايم ، أما تبرير الفصل فيعود إلى كون النواة (الثقيلة) تتحرك ببطء نسبة إلى حركة الإلكترونات (الخفيفة) لدرجة افترضت بأنها ساكنة في حالة إيجاد الحلول ψ . ومما يجدر الإشارة له هنا هو أن الأطيف الاهتزازية (لاحظ الفصل الثالث) تتطلب تغيرا في عزم ثانوي القطب خلال الحركة الاهتزازية .

أما الأطيف الإلكترونية فتعطى من قبل جميع الجزيئات لأن التغيرات في التوزيع الإلكتروني في الجزيئة يكون مصحوبا دائمًا بتغيير عزم ثانوي القطب . وهذا يعني أن جزيئات مثل H_2 أو N_2 التي لم تعط أطيف دورانية أو اهتزازية - دورانية يمكنها أن تعطي طيف إلكتروني وعكس تركيب اهتزازي ودوراني من خلاله يمكن قياس ثوابت الدوران وترددات اهتزاز الأصرة .

وسنبدأ الآن مناقشة الأطيف الإلكترونية - الاهتزازية فقط أما الانتقالات الدورانية

فسوف لا نطرق لها، حيث إن الطاقات الدورانية هي صغيرة لدرجة تصبح التغيرات الطاقية الدورانية مهملا عندما ننظر في الانتقالات الإلكترونية : وبالأرقام

نكتب:

$$\Delta \varepsilon_e = \Delta \varepsilon_{vib} * 10^3 = \Delta \varepsilon_{vib} * 10^6$$

1.2.5 الأطيف الإلكترونية - الاهتزازية :

إن إهمال التغيرات الدورانية يترك الطاقة الكلية ε_{tot} كما يلي:

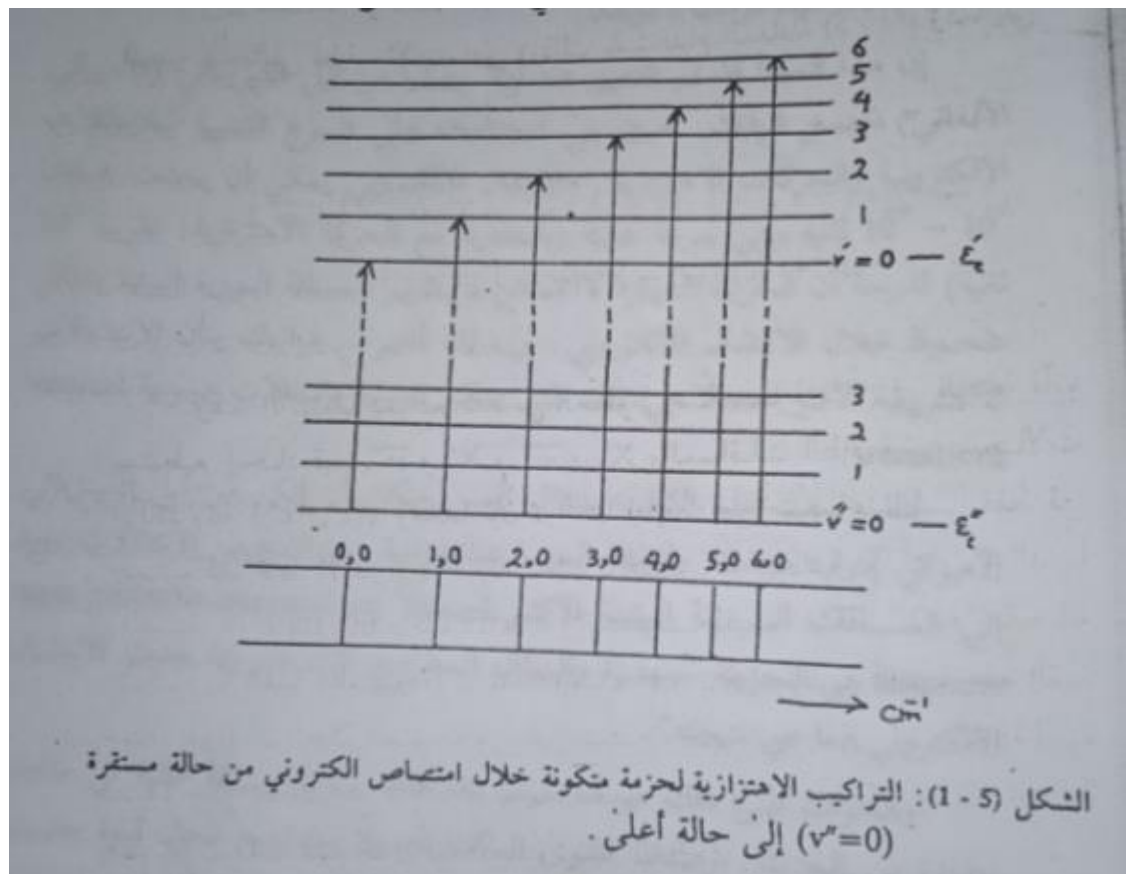
$$\varepsilon_{tot} = \varepsilon_e + \varepsilon_v \text{ cm}^{-1} \quad (2-5)$$

و عند التعويض عن ε_e من معادلة (11 - 3) فإننا سنحصل على:

$$\varepsilon_{tot} = \varepsilon_e + \omega_e / (v + 1/2) - \omega_e^2 X_e \text{ cm}^{-1} \quad (3-5)$$

حيث ν تمثل عدد الكم الاهتزازي ويأخذ القيم صفر، 1، 2، ...

أما المستويات الطاقية لهذه المعادلة في معطاة بالشكل (5 - 1) أدناه:



وعندما يحدث انتقال إلكتروني في الجزيئة فإن كل انتقال من ν إلى ν' يمتلك بعض الاحتمالية (أي لا توجد قاعدة اختيار لانتقال بين المستويات الاهتزازية) وعندئذ تقع ظهور عدد كبير من الخطوط الطيفية. وعلى أية حال فقد وضمنا سابقاً (الفصل الثالث - الجزء (3 - 2 - 2)) بأن معظم الجزيئات في الظروف الاعتيادية تشغل الحالة الاهتزازية الأوطأ ($\nu = 0$) لذا فإن الانتقالات الملحوظة بشدة مناسبة في طيف الامتصاص تلك الموضحة في الشكل (5 - 1) أعلاه. وقد جرت العادة على تدليل الانتقالات وفقاً لأرقام المستويات الاهتزازية الذي يحدث بينها الانتقال. ويوضع رقم المستوى العلوي أولاً. فنقول لدينا الانتقالات: (0,0) و (1,0) و (2,0) و ... الخ.

وان مجموعة او طائفة هذه الانتقالات تدعى بحرمة ويمكن كتابة التعبير التحليلي لطيف الامتصاص (وذلك باستخدام المعادلة (3-5)) وكما يلي:

$$\Delta \varepsilon_{\text{tot}} = \Delta \varepsilon_e + \Delta \varepsilon_v$$

(88)

$$\nu_{spect} = (\epsilon_e' - \epsilon_e'') \{ ((\nu + 1/2) \omega_e' - X_e(\nu + 1/2)^2 \omega_e'') - ((\nu'' + 1/2) \omega_e''' - X_e(\nu'' + 1/2)^2 \omega_e'') \} \quad (4-5)$$

و عند الاستعانة ب مواقع عدد من الخطوط (ستة خطوط مثلا) في الحزمة فأنا نستطيع ايجاد احد قيم ω_e' و ω_e'' و X_e والمسافات الطاقية بين الحالات الإلكترونية ($\nu'' - \nu'$) ، وهكذا فإن دراستا لطيف حزمه سيساعدنا ليس فقط في حساب قيم تردد الاهتزاز ω_e'' ، وثبتت الالتوافقية X_e للحالة الالكترونية الدنيا (المستقرة) وإنما ايضا لقيمها (ω_e') في الحالة الالكترونية العليا (المتهيجة) وتظهر اهمية هذه القيم عندما ندرك ان الحالة المتهيجة هي غير مستقرة وتظهر الجزيئة في هذه الحالة لفترة قصيرة جداً يصعب علينا اجراء قياسات معها بالطرق الاعتيادية وطيف الحزمة يعطينا معلومات غنية حول قوة الأصرة لهذه الحالات.

وكما هو معروف بان الجزيئات تتضمن العديد من مستويات التهيج الالكترونية ولذا فإن الانتقالات إليها من الحالة الدنيا (المستقرة) سيعطي طيفاً يتضمن العديد من الحزم.

2-2-5 مبدأ فرانك - كوندن وشدة الأطيف الإلكترونية - الاهتزازية :

لقد ذكرنا سابقاً بأنه وفقاً لميكانيك الكم لا توجد قيود على التغير في إعداد الكم الاهتزازية خلال الانتقال الإلكتروني ولكننا نلاحظ بان الخطوط الاهتزازية في الحزمة لها شدات متباعدة، ففي بعض الأطيف نرى طيفاً للخط الاهتزازي (0.0

بشدّة أكبر من غيره، وفي أطيف آخر تزداد الشدّة حتّى تصل إلى أقصى حد عند قيمة معينة L/λ . وكذلك تظهر في أطيف آخر تكون فيها الشدّة قليلة عند قيمة عالية L/λ ثم يتبعها طيف مستمر، continuum. إن كل هذه الأنواع يمكن مناقشتها بدلاله مبدأ فرانك - كوندن .

إن هذا المبدأ قد تم التعبير عنه أولاً وصفياً من قبل الفيزيائي (الأميركي الألماني) جيمس فرانك، حيث بنى استنتاجاته على السرع النسبية للانتقالات الإلكترونية والحركات الاهتزازية. فالانتقال الإلكتروني يمكن أن يحدث خلال $10^{-15} - 10^{-18}$ ثانية وهي سرعة عالية (بالمقارنة مع الحركة الاهتزازية : تقريراً 10⁻¹³ ثانية) لدرجة أن الجزيئ المهزّ لا تتمكن من تغيير المسافة النووية البينية بشكل ملحوظ

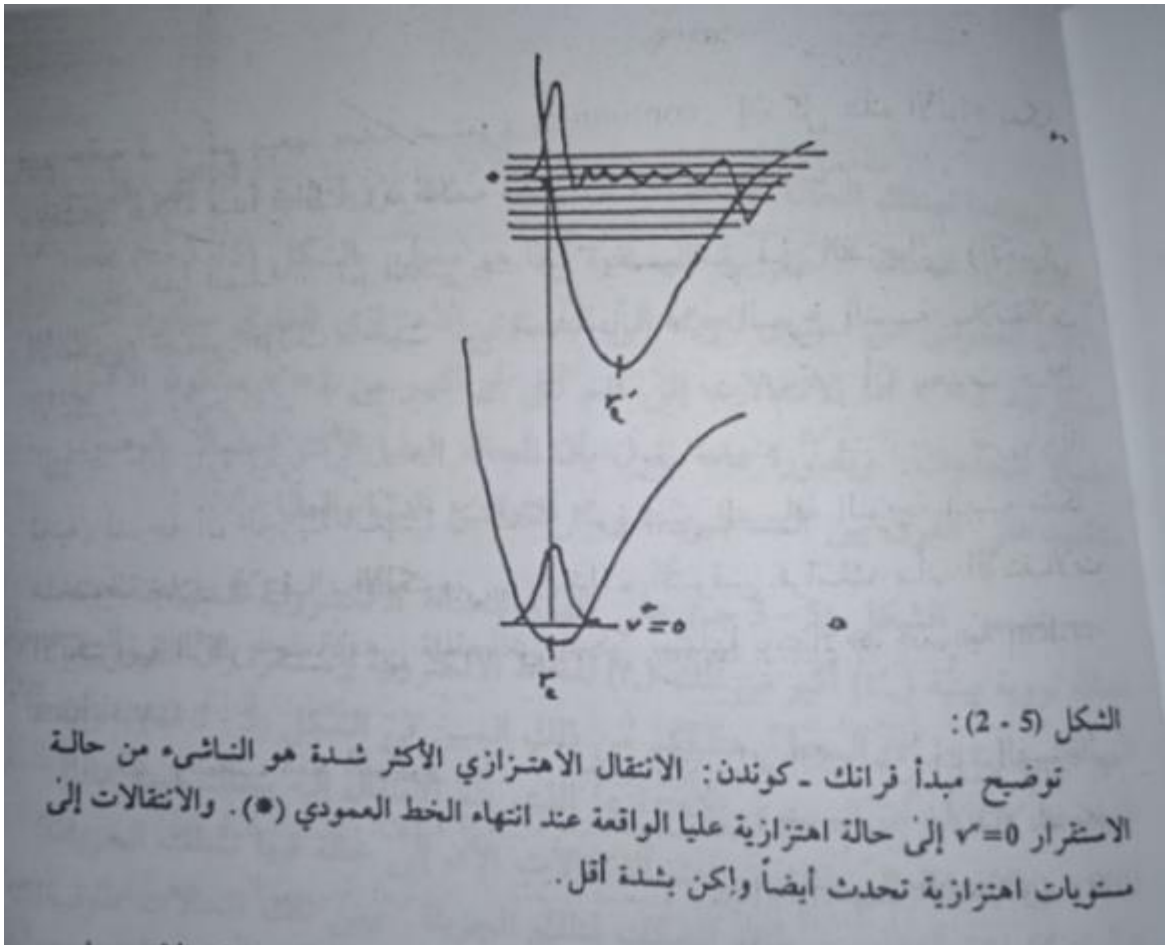
خلال الانتقال الإلكتروني، وبذلك أفترض فرانك بأن الانتقالات الإلكترونية الأكثر احتمالا هي تلك التي يمكن تمثيلها بانتقالات عمودية

لقد وضعت هذه الفكرة بدلاله أسس ميكانيك الكم من قبل الفيزيائي الأميركي إدوارد كوندن. والنقطة المهمة عند دراسة هذا النوع من الانتقالات تعود إلى المسافات النووية البينية الأكثر احتمالا *most probable internuclear distances*

في الجزيئه المهززة والسؤال المطروح الآن هو إذا حدث الانتقال الإلكتروني فما هي نتائجه؟

والجواب على ذلك هو انه سيتم بناء كثافة شحنة بسرعة عالية في مناطق جديدة من الجزيئه. وعندئذ فالنوي الساكنة أصلا ستواجهه مجال قوة جديدة ومفاجئ. والنظرية الكلاسيكية لهذه الصورة هي أن النوى سوف تتصرف لهذه القوة الجديدة عن طريق قيامها بالاهتزاز والتارجح *swing* إلى الأمام وإلى الخلف من المسافة النووية البينية الأصلية (التي بقيت ثابتة خلال التهيج الإلكتروني العالي السرعة). وهذا فالمسافة النووية البينية الاتزانية الأصلية للنوى في الحالة الإلكترونية الأولية قد أصبحت نقطة التحول *turning point* (وهي نقطة اهتزاز عندما تكون النوى هادئة عند نقطة نهاية تأرجحها) في الحالة الإلكترونية النهائية.

إن معالجة ميكانيك الكم لمبدأ فرانك - كوندن تصحح هذه الصورة إلى حد تسهل علينا حساب شدات الانتقالات إلى مستويات اهتزازية مختلفة لجزيء متهدجة الكترونيا، وإعطاء التفسيرات لشكل حزمة الامتصاص. ولننظر في منحنيات طاقة الجهد الجزيئية الموضحة في الشكل (2-5) أدناه :



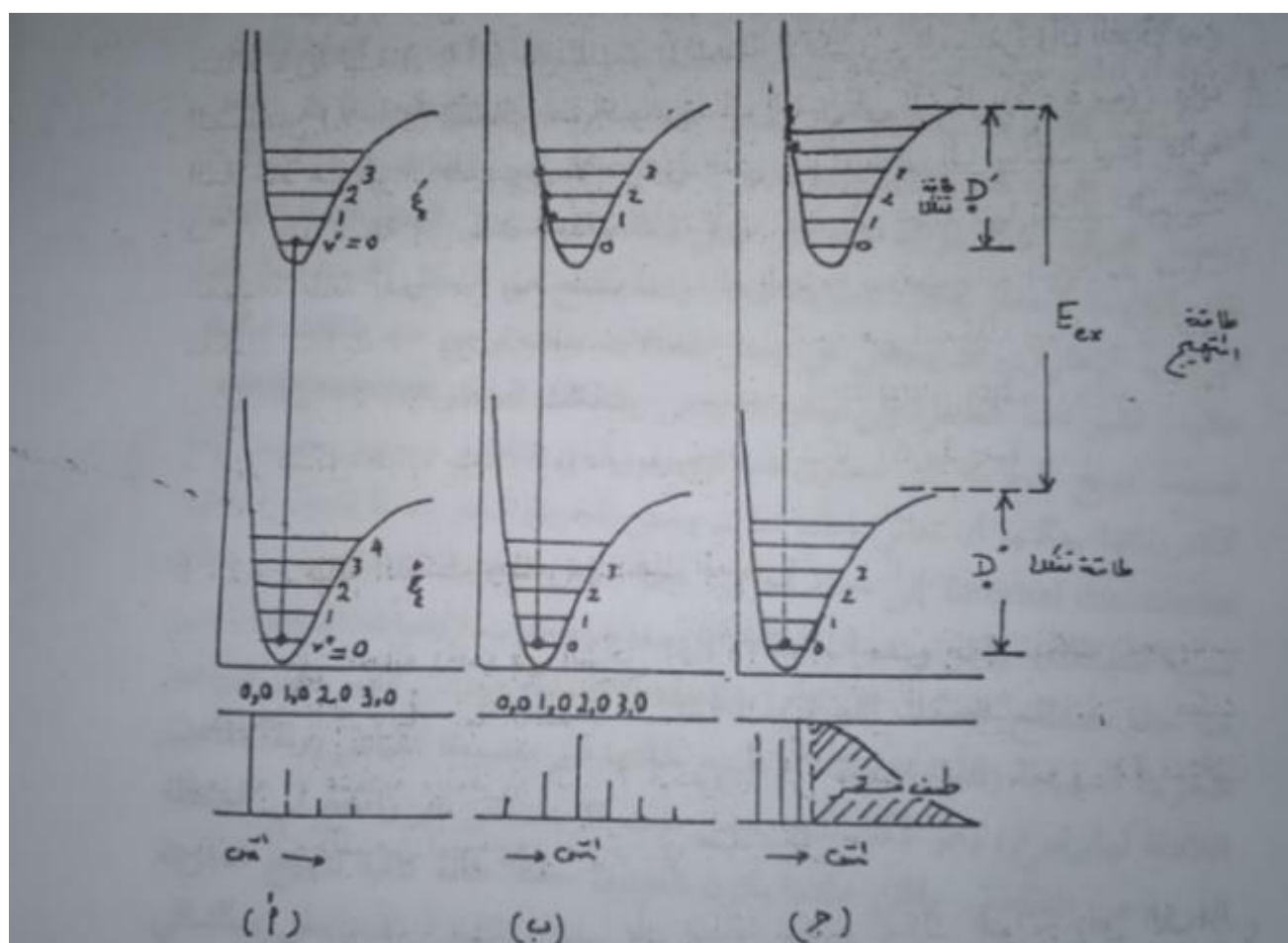
الشكل (٥ - ٢) :

توضيح مبدأ فرانك - كوندن: الانتقال الاهتزازي الأكثر شدة هو الناشئ من حالة الاستقرار $r=0$ إلى حالة اهتزازية عليا واقعة عند انتهاء الخط العمودي (*). والانتقالات إلى مستويات اهتزازية تحدث أيضاً ولكن بشدة أقل.

تشغل معظم الجزيئات عند درجات الحرارة الاعتيادية وقبل الامتصاص المستوى الاهتزازي الأول $v=0$ // في الحالة الإلكترونية المستقرة. ويوضح شكل الدالة الموجية الاهتزازية (التي تحصل عليها من معالجة ميكانيك الكم) بأن الموضع الأكثر احتمالاً للنوى هو عند المسافة النووية البنية الاتزانية (r_e). وهذا يعني بأن الانتقال الإلكتروني الأكثر احتمالاً للحدوث هو عندما تمتلك النوى تلك المسافة (أي r_e). وعندما يحدث الانتقال فإن الجزيئة سوف تتهيج إلى الحالة الممثلة بالمنحنى العلوي في الشكل (5 - 2). ووفقاً لمبدأ فرانك - كوندن سيبيقي الهيكل النووي ثابتًا خلال التهيج، وهذا يمكّنا أن نتصور الانتقال ممثلاً بخط عمودي كما هو معطى بالشكل (2-5) أعلاه. وهذا هو أصل تعبير الانتقالات العمودية المشار إليها أعلاه عند الكلام عن الانتقالات الإلكترونية التي تحدث من دون تغيير الأبعاد النووية. أما الآن فنعرض الشكل (3-5) أدناه وهو يعطي صورة عن استخدام مبدأ فرانك - كوندن لثلاث إمكانيات أ وب و ج:

تظهر الحالة الإلكترونية العليا في الجزء أ من الشكل (3-5) عند نفس المسافة

النوية البنية الاتزانية r_e للحالة الإلكترونية الدنيا . والانتقال الأكثر احتمالاً (0,0) عندئذ يشار له بالخط العمودي المبين في الشكل (5-3). وهو يمثل الخط الطيفي الأقوى من بين الخطوط الناشئة من الانتقال $=//0$ على أية حال فإن نظرية الكم قد أكدت على أن الاحتمالية لموقع النوي يكون على أعظمها عند r_e في الحالة $v=0$ وهذا يسمح بفرصة (ولو أنها صغيرة) لتوارد نوي قريباً من أطراف حركاتها الاهتزازية . وعندئذ توجد فرصة لبدء انتقال من طرف في الحالة $=//0$ الانتهاء عند حالات ... $=1, 2, \dots$ والخطوط $(1,0)$ و $(2,0)$ و $(3,0)$ المتكونة تتضاعل شدتها بسرعة كما هو موضح في الشكل (5-3أ)



الشكل (5 - 3): نطيق مبدأ فرانك - كوندن على ثلاث إمكانات:
أ - المسافة النوية اليقنة تكون متساوية في الحالتين الدنيا والعليا .
ب - المسافة r_e للحالة العليا أكبر قليلاً مما للحالة الدنيا .
ج - المسافة r_e للحالة العليا أكبر كثيراً مما للحالة الدنيا .

و عندما تمتلك الحالة الإلكترونية المتهيجه مسافة نووية بينية (r_e) اكبر بقليل من تلك (r_e) للحالة الإلكترونية المستقرة كما هو معطى بالشكل (5 - 3 ب) فإن لانتقال العمودي من مستوى $= 0$ إلى المستوى الاهتزازي العلوي سيكون أكثر حدوثا عند $= 2$ أما الانتقالات إلى قيم أقل أو أكبر من $= 2$ ستكون الأقل احتمالا للحدث. وبصورة عامة نقول بأن الحالة العليا الأكثر احتمالا بالوصول ستعتمد على الفرق بين المسافتين r_e و r_{ex} للحالتين الدنيا والعليا.

يتضمن الشكل (3.5 ج) على ظهور الحالة الإلكترونية المتهيجه عند مسافة نووية بينية (r_e) أكبر من تلك (r_e) للحالة الإلكترونية المستقرة وأن الفرق بين المسافتين ($r_e - r_e'$) المعطى هنا أكبر من ذلك المبين في الشكل (5 - 3 ب). وأن الملاحظ هنا هو أن المستوى الاهتزازي الذي يتم الانتقال إليه يمتلك قيمة عالية $\neq 0$ ، وبالإضافة إلى ذلك تحدث الانتقالات الآن إلى حالة فيها تمتلك الجريئة المهيجة طاقة أعلى من طاقة التفكك لائل الجريئة . ومن تلك الحالات سوف تتفاك الجريئة من دون أي اهتزاز والذرات الناتجة التفكك ستأخذ أية قيمة للطاقة الحركية والانتقالات ستكون غير مكممة *not quantized* ، أي أن النتيجة ستظهر بشكل طيف مستمر كما هو موضح في الشكل (5 - 3 ج).

3.2.5 طاقة التفكك وظاهرة التفكك المبكر :

تمثل الحالة (ج) في الشكل (3-5) أعلاه إحدى طرق تفكك الجزيئات المتهيجه إلكترونيا. أما الخطوط المنقطة المبينة على المنحنيات فتتمثل تفكك الجريئة الاعتيادية والجريئة المثاره الكترونيا إلى ذرات. وأن D_0 و D_0' تمثلان طاقتى التفكك من المستوى الاهتزازي صفر لكل حالة.

ويلاحظ على الشكل أيضا بأن الطاقة الكلية لتفاك النواتج (أي الذرات) من الحالة العليا تكون أكبر بمقدار E_{ex} من تلط نواتج التفكك في الحالة الدنيا . وتدعى طاقة E_{ex} طاقة تهيج أحد الذرات الناتجة من التفكك. وكما ذكرنا أعلاه بأن الطيف الناتج يتكون من تركيب اهتزازي (مكمم) يتبعه الجزء المستمر (غير المكمم) والذي يمثل التفكك .

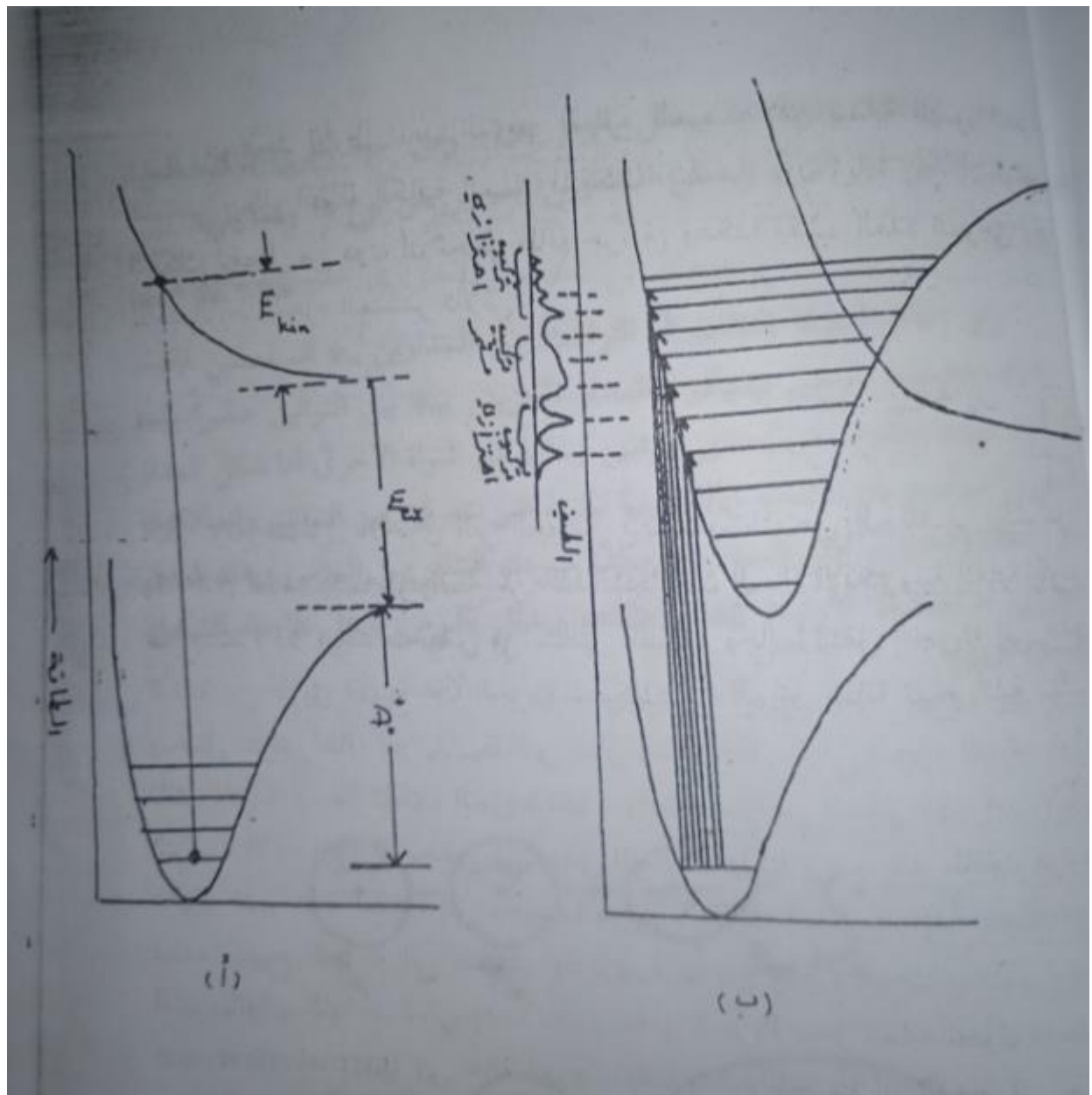
وإن الحد الأوطأ للعدد الموجي للجزء المستمر (أي بداية ظهور الجزء المستمر) يمثل الطاقة الكافية المسببة للتفاك فقط من دون زيادة (أي أن نواتج التفكك تتفصل

من دون أن تحمل طاقة حركية) وهكذا نكتب العدد الموجي ν للحد الأعظم للجزء المستمر كالتالي:

$$\nu = D_0'' + E_{ex} \text{ cm}^{-1} \quad (5-5)$$

ومن الطرق الأخرى التي يحصل فيها التفكك هي المبينة في الشكل (5 - 4 أ) أدناه. وكما هو واضح من هذا الشكل بأن الحالة الإلكترونية العليا تكون غير مستقرة فلا يوجد منخفض في منحني الطاقة، وحالما تنتقل الجزيئة إلى هذه الحالة عن طريق التهيج فإن الجزيئة ستفكك إلى النواتج بطاقة تهيج كلية E_{ex} . وتحمل النواتج طاقة حركية من E_{kin} التي تمثل الطاقة الفائضة في الحالة النهاية فوق تلك اللازمة لإنجاز تفكك الجزيئة فقط. وكما يتضح من الشكل (5-4 ب) بأن التركيب الاهتزازي قد يختفي في بعض الحالات ولكنه يرجع عند طاقات فوتون عالية. تشير هذه الظاهرة إلى وجود ما يدعى بالتفكك المبكر *predisassociation*.

فعندما تهيج الجزيئة إلى مستوى اهتزازي قريبا من تقاطع منحنين علويين فإن الكتروناتها يمكنها أن تعاني إعادة تنظيم يجعل الجزيئة تتجز عملية تحول داخلي *Internal conversion* إلى حالة أخرى. وهنا يمكن للجزيء أن تندمج في حالة مسببة للتفكك، ولكن يبدو أن الطاقة أقل مما هو مطلوب لإحداث التفكك (ومن هنا جاء مصطلح التفكك المبكر). إن هذا الاندماج يزيد من قصر عمر تواجد الجزيئة المهيجة (المثاررة) وبالتاليية تصبح طاقتها غير مضبوطة القياس (وفقا لقاعدة اللادقة لهايزنبرغ) وهو الأمر الذي يجعل طيف الامتصاص غير واضح في المنطقة القريبة من التقاطع. ولكن عندما يكون الفوتون حاملا طاقة كافية لتهيج الجزيئة إلى مستوى اهتزازي فوق التقاطع فسوف لا يحدث التحول الداخلي وبالتالي تصبح المستويات محددة من جديد ويظهر التركيب الاهتزازي بطبقات واضحة محددة. وهذا يعني أن التركيب الخطي يرجع من جديد في الجانب العالي الطاقة المنطقه غير الواضحة.



الشكل (٤ - ٥)
أ - توضيح التفكك عن طريق النهيج إلى حالة طاقة غير منفردة .
ب - توضيح لظاهرة التفكك المبكر .

3.5 التركيب الإلكتروني للجزيئات ثنائية الذرة:

3.5.1 نظرية المدار الجزيئي:

إن اختيارنا لهذه النظرية التي تفسر تكوين الجزيئات. من الذرات هو ليس كونها أحسن من النظريات الأخرى وإنما لأنها تعطي تصوراً تمثيلياً ملائماً لتكوين الجزيئة الذي يناسب مناقشتها لالانتقالات الإلكترونية .

إن المدار الجزيئي حسب هذه النظرية يشبه المدار الذري ولكنه ينتشر خلال هيكل

الجزئية ، أما شكل المدار الجزيئي فيعرف على أنه الحيز الذي فيه يقضي الكترونا عائداً لذلك المدار حوالي 95% من وقته .

ويحدد الشكل والطاقة للمدار الجزيئي وذلك من حل معادلة شروdonker التي تتضمن عادة حسابات ومعالجات معقدة نجعل حل هذه المعادلة في غاية الصعوبة . وسنحاول هنا إعطاء صورة تقريرية لشكل المدار مستخدمين فكرة تركيب المدار الجزيئي من جمع أو طرح المدارات الذرية للذرات الداخلة في الجزئية .

إن هذا التقرير يعرف بتقرير الاتحاد الخطى للمدارات الذرية *Linear Com-bination of Atomic Orbitals (LCAO)* وهذا لجزئيات ثنائية الذرة يمكننا أن نكتب المدارين الجزيئيين الناتجين وفقاً لهذا التقرير كالتالي :

$$\psi_{m.0} = \psi_1 + \psi_2 \quad \psi_{m.0} = \psi_1 - \psi_2 \quad (6-5)$$

حيث ψ_1, ψ_2 بشيران إلى المدارين الذريين .

وإذا أخذنا جزئية H_2 مثلاً لنا . فإن المدار الذري المستخدم سيكون $1s$.

وبالتالي فالمدار الناتج من الجمع الخطى للمدارين الذريين من نوع $1s$ هو :

$$\psi_{H2} = \psi_{1s} + \psi_{1s} \quad (7-5)$$

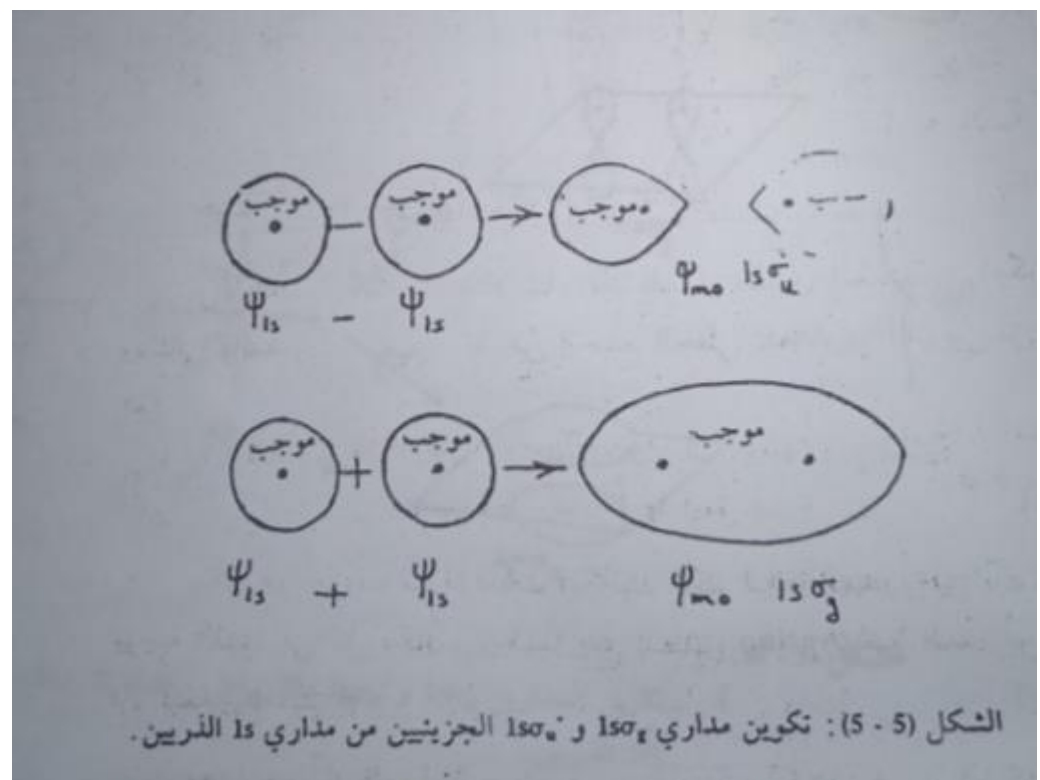
وكما هو معروف من دراسات ميكانيك الكم لذرة الهيدروجين بأن $1s$ تكون موجة القيمة في كل مكان ، وحيثما يقع التطابق *Overlap* بين المدارين الذريين فإن قيمة ψ_{H2} ستزداد .

وهذا يعني أن المدار الجزيئي في معادلة (7-5) هو بيضاوي الشكل ومتماثل وتركيز الشحنة الإلكترونية تقع بين النواتين ، وتسلك كمثبت للنوى ببعضها البعض وهذا المدار يمثل تكوين أصرة بين الذرات ولذا فهو يدعى بالمدار الارتباطي *bonding orbital* ويدلل بالرمز $1s\sigma$. ومن جهة أخرى يتراكب المدار الجزيئي الثاني من الفرق الخطى للمدارين الذريين من نوع $1s$ وكما يلي :

$$\psi_{H2} = \psi_{1s} - \psi_{1s} \quad (8-5)$$

وفي حالة حدوث التطابق أو التراكب بين المدارين $1s$ المنفصلين فإنهما سيلفيان (96)

بعضهما البعض وسيكون المدار الجزيئي H_2 بين النواتين صفرًا بينما سيكون موجباً بالقرب من إحدى النواتين وسالبة من النواة الأخرى أما شكل المدار الجزيئي فيوضح بأن الشحنة الإلكترونية تكون غير متمرکزة بين النواتين وإنما تكون على أعظمها خارج هذه المنطقة. وهذا سيزداد التناقض بين النواتين ويقال للمدار الجزيئي بـ المضاد الارتباط *antibonding* ويدلّ بالرمز $1s\sigma$ لاحظ الشكل (5-5) أدناه:



وفي حالة الجزيئات ثنائية الذرة المتتجانسة النوى، تكون المدارات الجزيئية متماثلة أو مضادة للتماثل نسبة إلى عملية الانقلاب *inversion* خلال مركز التماثل (مركز التماثل : هو النقطة الوسطية في الأصارة بين النواتين) فإذا أخذنا من أي نقطة في هذا النوع من الجزيئات ولا حظنا إشارة مقدار الدالة الموجية ومن ثم تحركنا باتجاه مركز التماثل للجزيئه. وإلى النقطة المناظرة على الجهة الثانية (هذه العملية تدعى بعملية الانقلاب) فإذا كانت الإشارة نفسها فإن المدار متماثل نسبة إلى عملية الانقلاب خلال المركز ويدلّ بالرمز السفلي g (كأن يكون $1s\sigma_g$) وبعكسه يكون مضاداً للتماثل ويدلّ بالرمز السفلي u (وهو ينطبق على المدار $1s\sigma_u$). أما الجزيئات ثنائية الذرة غير المتتجانسة النوى فلا تمتلك هذا النوع من التماثل، فلن لا نستخدم لها ها هنا الرموز g و u .

أما أشكال المدارات الجزيئية الأخرى فتتابعها كالتالي :

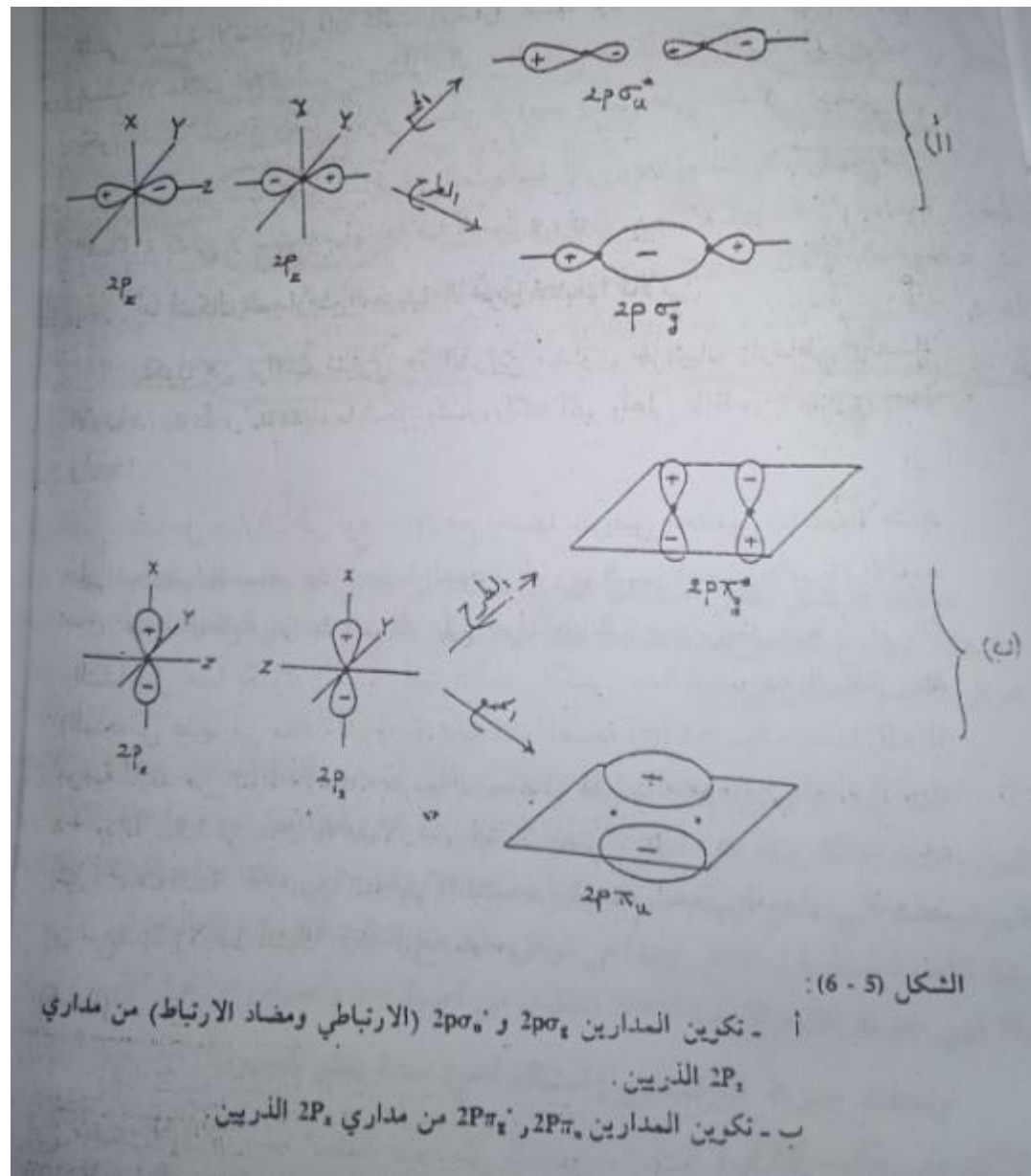
يتكون من تراكب مداري $2s$ الذريين مداران جزيئيان (ارتباطي ومضاد الارتباط) $1s\sigma_g, 1s\sigma_u$ و $2s\sigma_g, 2s\sigma_u$ لهما شكل يشبه (ولكنه أكبر وأعلى طاقة من) مداري تداخل مدارات من نوع $-2p$ مع بعضها بطريقين مختلفين وذلك بالاعتماد على توجهاتها النسبية. فإذا أعطينا المحور النووي البيئي (محور الأصارة) الاتجاه z , عندئذ ندلل مدار $2p$ الممتد على طول هذا المحور من كل ذرة بالرمز $2p_z$ والتدخل هنا يكون رأسيا. أما التعبير الكمي لدالة موجة المدار $2p_z$ (المحصل عليها من معادلة شرودنكر) يمتلك الصيغة $\psi_{2p_z} = z f(r)$ حيث $f(r)$ دالة موجبة للبعد من النواة. وهكذا نتوقع أن نحصل على دالة موجبة في حالة الاتجاه $+z$ ودالة سالبة في حالة الاتجاه $-z$, أي أن فسي مدار $2p$ يمتلكان إشارات متعاكسة. أن المدار الجزيئي الناتج من الجمع الخطي للمدارين الذريين من نوع z (لاحظ الشكل (5 - 6) أدناه هو :

$$\psi_{m.0} = \psi_{2p_z} + \psi_{2p_z} \quad (9-5)$$

وهنا تصبح الكثافة الإلكترونية بين النواتين صفراء والمدار الجزيئي هو من مضاد الارتباط. أما المدار الجزيئي الناتج من الطرح الخطي للمدارين الذرين من نوع z فهو:

$$\psi_{m.0} = \psi_{2p_z} - \psi_{2p_z} \quad (10-5)$$

وفي هذا النوع تزداد الكثافة الإلكترونية بين النواتين ويقال بأنه مدار ارتباطي.



وإذا نظرنا في تماثل هذا المدار وأنجزنا عملية الانقلاب، فإننا نستطيع تدليل المدار الارباطي بـ $2p\sigma$ ومضاد الارباط بـ $2p\sigma$ لقد تكلمنا لحد الآن عن طريق واحد لتدخل مداري $2p$ ببعضهما البعض على طول المحور النووي البياني، في حين تتدخل مدارات $2p$ الأخرى (والعمودية على $2p$) بطريقة التداخل الجانبي (لاحظ الشكل (5 - 6)).

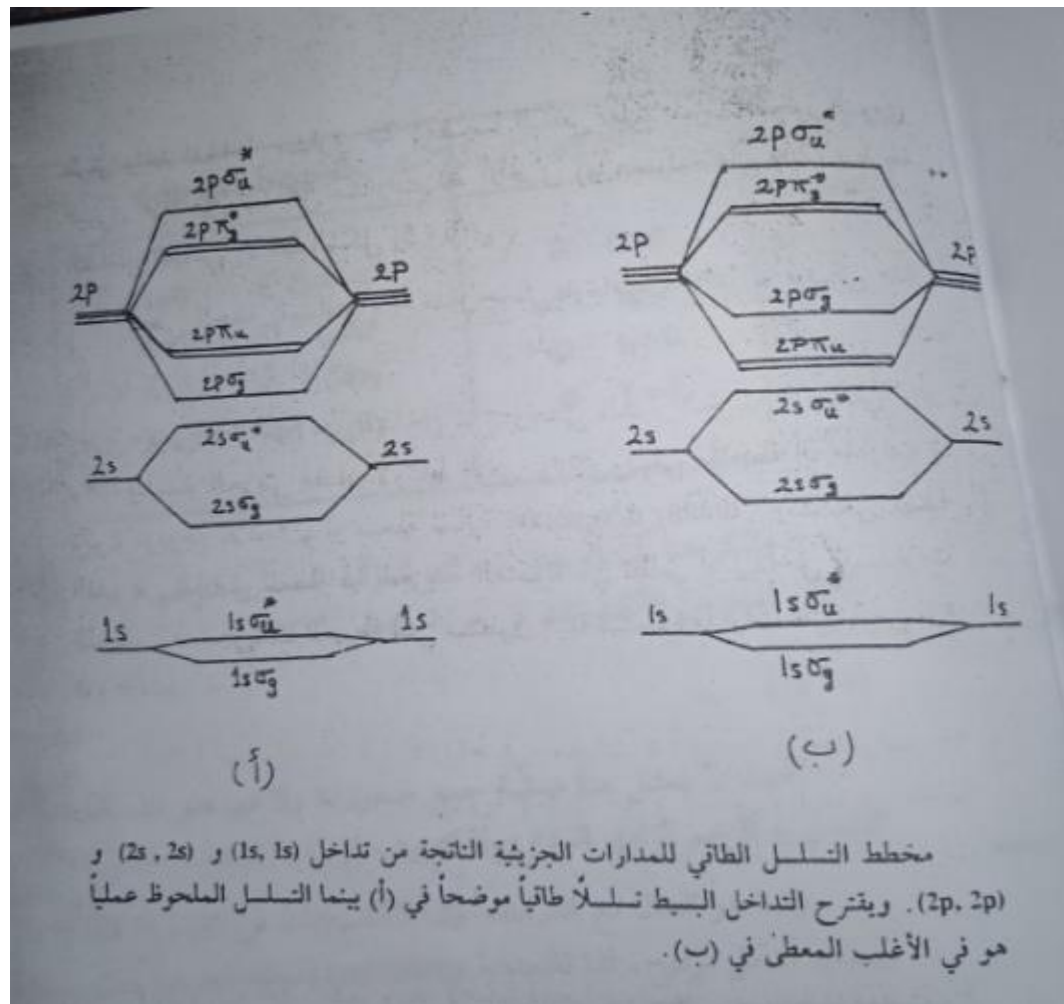
يعطي الجمع المداري $2p_x$ مدار جزيئي ارتباطي أما الطرح فيعطي مدار جزيئي مضاد الاربطة (ونفس الكلام ينطبق على تداخل مداري $2p_y$). ويرمز لهذا النوع من التداخل بـ π ويعطي المدار الجزيئي الارباطي الرمز $2p\pi$ وللمدار الجزيئي مضاد الاربطة الرمز $2p\pi_g$ وينبغي ملاحظة أن مدارات π تكون مزدوجة الانحلال

أو منحلة ثنائية *doubly degenerate*. وسنكتفي بهذا القدر من العرض للمدارات الجزيئية المكونة من طابق أو تداخل المدارات الذرية، لأن الجزيئات البسيطة التي سنتطرق إليها تستخدم مدارات جزيئية من نوع σ و π فقط.

يمكننا أن نتوقع بأن قوة الارتباط في مدارات π أقل مما في مدارات σ وذلك لأن التداخل بين المدارات الذرية يحدث خارج المحور وبعيداً من منطقة الارتباط المفضلة. ويؤدي هذا إلى التسلسل النموذجي لطاقات المدارات الجزيئية المبنية في الشكل (7-5 أ) أدناه.

وعلى أية حال فقد وجد (طيفياً وأيضاً بواسطة حسابات مفصلة) أن التداخلات أو التأثيرات المتبادلة بين الإلكترونات ستؤثر على هذا التسلسل وأنه يتغير من جزئية إلى أخرى، وبالتالي يظهر التسلسل في الشكل (5 - 7 ب) بأنه الأكثر ملائمة للاستخدام. ولننظر في جزئية N_2 التي تمتلك (14) إلكتروناً.

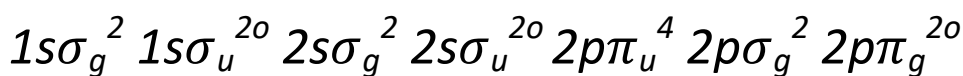
يزدوج الكترونان ويدخلان في $1s\sigma_g$ وهو الآن مملوء. ويدخل مزدوج آخر ليملأ $1s\sigma_u$ وبنفس الطريقة تكمل أربع الإلكترونات مداري $2s\sigma_g$ و $2s\sigma_u$ وبقي لدينا ست الإلكترونات. تشغل أربع منها مداري $2p\pi$ ، أما الإلكترونان المتبقيان فيدخلان المدار $2p\sigma_g$ وهكذا نكتب الترتيب الإلكتروني لجزئية N_2 في حالة الاستقرار كالتالي :
 $1s\sigma_g^2 \quad 1s\sigma_u^2 \quad 2s\sigma_g^2 \quad 2s\sigma_u^2 \quad 2p\pi^4 \quad 2p\sigma_g^2$



مخطط التسلل الطائي للمدارات الجزيئية الناتجة من تداخل (1s, 1s) و (2s, 2s) و (2p, 2p). ويترافق التداخل البطيء تسللاً طائياً موضحاً في (أ) بينما التسلل الملحظ عملياً هو في الأغلب المعطى في (ب).

اما رتبة الأصرة *Bond order* فتحسب على أساس أنها تساوي عدد المزدوجات الإلكترونية التي تمثل المدارات الجزيئية الارتباطية مطروحا منها عدد المزدوجات التي تمثل المدارات الجزيئية مضادة الارتباط. وفي مثالنا هذا ستكون رتبة الأصرة متساوية لثلاثة. وهذا في توافق جيد مع النظرة الكيمائية لالربط في N_2 فهي جزيئه ثلاثية الأصرة $N \equiv N$ (تكون من أصرة - σ و أصرتين من نوع π).

وتمتلك جزيئ الأوكسجين (كمثال آخر) ستة عشر إلكترونا. وترتبتها الإلكتروني يكتب كالتالي :



ورتبة الأصرة هنا تساوي اثنين.

لقد اكتسب وصف المدار الجزيئي للأوكسجين نجاحا آخر، فوفقا لمبدأ البناء الإلكتروني افترض أن الإلكترونين الآخرين في $2p\pi_g^{20}$ (وهو من حل ثانوي)

(101)

يشغلان مدارين مختلفين: الكترون واحد في $2p_z \pi_g$ والثاني في $2p_y \pi_g$ وسيكون برمها متوازي (حسب قاعدة هوند). وهكذا تظهر جزيئه O_2 باحتوائها على الكترونين منفردين (غير مزدوجين) ويقال عنها بأنها جزيئه بارا مغناطيسية، وقد وجد بأن الأوكسجين السائل يلتصق بمغناطيس. إن كل هذا يعطي التأكيد الواضح للصواب العام لطريقة المدار الجزيئي في الارتباط الجزيئي .

5 - 3 - 2 الزخم الزاوي الإلكتروني في الجزيئات ثنائية الذرة (تصنيف الحالات):

يمتلك الإلكترون الواحد في الجزيئ عدد كم رئيسي n (وهذا يحدد حجم وطاقة مدار الإلكترون) وعدد كم زاوي α الذي يحدد الزخم الزاوي المداري للإلكترون، (إضافة إلى عدد الكم ℓ الذي يحدد الزخم الزاوي البرمي الإلكتروني) وعند التعامل مع الذرات ينبغي إيجاد محصلة الزخم الزاوي المداري الكلي L وعده الكمي L أما في حالة الجزيئات ثنائية الذرة يجب النظر في مركبة الزخم الزاوي المداري الممتدة على طول المحور النووي البيني (أي محور $-z$)، وهذه الحركة الزخرمية (أو المركبة المحورية) تكون مكممة *quantized* وتساوي $h\lambda$ حيث λ هو عدد كم يأخذ القيم $0, 1, 2, \dots$ وهكذا فعدد الكم λ ليس الشبيه لعدد الكم L (في حالة الذرات التي يعود لمحصلة الزخم الزاوي المداري الكلي للذرة، ولكنه يكافئ عدد الكم الذري m لذرة عندما يكون هناك مجال كهربائي (ناشئ من الشحنات النووية) على طول محور واحد. إن قيمة عدد الكم λ تعود إلى تماثل *symmetry* الغيمة (أو السحابة) الإلكترونية نسبة إلى المحور $-z$ وعندما تكون $\lambda=0$ فإن الغيمة تمتلك تماثلاً أسطوانيّة حول المحور النووي البيني. ويعطي لهذه الحالة الرمز الإغريقي (س كما) Σ المشابه لرمز الحالة $S(L=0)$ للذرات) وندون أدناه قيم عدد الكم λ والرموز الإغريقيّة المقابلة لها وكالآتي :

الجزئيات ثنائية الذرة		الذرات	
$\wedge=0$	Σ (س كما)	S	L=0
$\wedge=1$	Π (ب اي)	P	L=1
$\wedge=2$	Δ (د لتا)	D	L=2
$\wedge=3$	Φ (ف اي)	F	L=3

ونذكر هنا بأن \wedge يمثل عدد كم المركبة المحورية للزخم الزاوي المداري الكلي لعدد من الإلكترونات في جزيئه وتعطى \wedge كالتالي:

$$\wedge = \sum \lambda_1 \quad (11-5)$$

حيث \sum تمثل هنا عملية جمع حدود λ_1 والأخير هو عدد كم المركبة المحورية للزخم الزاوي المداري لإلكترون منفرد i .

وكما هو الحال مع الذرات، فإن الإلكترونات في الجزيئة قد لا تكون جميعها بشكل مزدوج، لذا فالتجددية *multiplicity* للحالة الجزيئية تعطى بـ $2S+1$ حيث S هو عدد الكم البرمي الكلي ويرمز له أيضا بـ Σ وكتاب عددين التجددية بالصيغة $2\Sigma + 1$ وينبغي التمييز بين عدد الكم هذا ورمز الحالة Σ في حالة $\wedge = 0$

وتوضع عادة بشكل رمز علوي على يسار رمز الحالة الجزيئية (أي يكون $\wedge^{+1} \Sigma^2$) . والآن إذا أردنا معرفة المركبة المحورية للزخم الزاوي الإلكتروني الكلي (ونرمز لها بـ Ω) ينبغي علينا إيجاد المركبتين المحوريتين للحركات البرمية والمدارية . أي نكتب:

$$E = \wedge + \sum \lambda_1 \quad (12-5)$$

(103)

وينبغي أن نذكر بأن Λ قد يكون بنفس الاتجاه أو متعاكسين على طول المحور النووي البيني نمثلاً للحالة $\prod^3 \Sigma = 1$ يكون $\Lambda = 1$ وعندئذ تصبح Ω مساوية لـ 2 (إذا كان Λ وبنفس الاتجاه) أو صفر (إذا كان متعاكسين)، وعليه سنكتب قيمة Ω في أسفل يمين رمز الحالة أي سيكون عندنا $\prod_0^3 \Sigma$. وإذا أخذنا جزئية الهيدروجين مثلاً لنا، فهي تحتوي على الكترونين (الكترون واحد من كل ذرة) وفي حالة الاستقرار يشغل كلاً الإلكترونين نفس أوسط مدار ($1s\sigma_g$) ووفقاً لقاعدة باولي يعطيان حالة أحادية *singlet statute* وطالما أن الإلكترونين موجودان في مدار من نوع σ لذا يقال لهما بأنهما إلكترونات $-\sigma$ وستكون المركبة المحورية للزخم الزاوي المداري لكل إلكtron صفراء وبالتالي فإن $\Lambda = 0$, $\lambda_1 = \lambda_2 = 0$ وستكون لدينا الحالة Σ^1 , وبإمكاننا الآن أن نجد Ω وكالاتي:

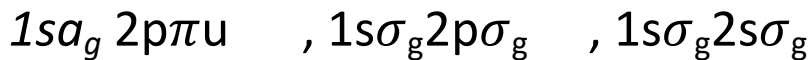
$$\Omega = |\Lambda + \Sigma| = 0 + 0 = 0$$

(حيث للحالات الأحادية تكون Σ (أو Σ^1) مساوية صفر). ومع ذلك لا يفضل وضع هذه القيمة في أسفل يمين رمز الحالة هنا وبدلاً من ذلك نحدد التماطل للمدار فيما إذا كان من نوع g أو u . وفي هذا المثال رأينا كلاً الإلكترونين في نفس المدار ذي التماطل g وبالتالي فالحالة الكلية ستكون Σ^1 .

ومما نود ذكره هنا هو التدليل الإضافي المستخدم مع الحالات Σ والذي يعتمد على التماطل الجزيئي . ففي الجزيئات ثنائية الذرة (متجانسة أو غير متجانسة النووي)، يدعى المستوى الذي يحتوي على المحور النووي البيني بمستوى التماطل. وإذا بقىت الدالة الموجية للإلكترون على حالها من دون تغيير خلال عملية الانعكاس عند مستوى التماطل فيقال للدالة بأنها متماثلة ، أما إذا تغيرت إشارتها خلال عملية الانعكاس فيقال للدالة بأنها مضادة التماطل. وتميز الحالة الأولى بوضع العلامة (+) على أعلى يمين رمز الحالة وللثانية بالعلامة (-). وبالتالي تكون جميع الحالات في مثالنا هنا متماثلة. والآن يصبح رمز الحالة كما يلي :

$$1s\sigma_g^2 (\Sigma_g^+): \text{الحالة مستقرة}$$

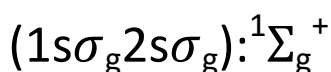
وإذا أردنا أن ننظر في الحالات الأحادية المنهيجة لجزئية H_2 فهي كثيرة ولكننا سنكتفي بالتركيز على بعض منها مثل:



ولنأخذ أولاً $1s\sigma_g 2s\sigma_g$: إن الإلكترونين الموجودين هنا هما من نوع الكترونات σ -عندئذ:

$$\Lambda = \lambda_1 + \lambda_2 = 0$$

أما Σ (أو Σ) فهي صفر (لأننا ذكرنا في البداية بأننا نركز على الحالات الأحادية فقط) وإضافة إلى ذلك نضع الرمز التماثلي g في أسفل يمين رمز الحالة لكون المداريين $1s$ و $2s$ لهما تماثل g . ونضع العلامة $(+)$ في أعلى يمين رمز الحالة، وسيكون عندنا الحالة الكلي :



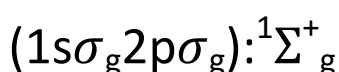
والآن نأخذ $1s\sigma_g 2p\sigma_g$: ومرة أخرى سيكون عندنا Σ^1 لأن الإلكترونين هما من نوع الكترونات σ -ولكن نضع هنا الرمز u (أي إن عملية الانقلاب خلال مركز التماثل تكون مضادة التماثل)، ونحن ندرك كيفية وضعنا للرمز u إذا تصورنا بأن الكترونا واحدا قد ارتفع من ذرة هيدروجين في الحالة $1s$ المتماثلة والالكترون الآخر من الحالة $2p$ مضادة التماثل. وبذلك فإن اتحاد متماثل (g) مع مضادة التماثل (u) سيعطي مضادة التماثل للحالة، وبصورة عامة نذكر الآتي :

$$g^* g = g$$

$$u^* u = g$$

$$g^* u = u$$

وبالتالي يكون رمز الحالة :



ولننظر الآن في $1s\sigma_g 2p\pi_u$:

وهنا تكون Λ مساوية لواحد حيث إن أحد الإلكترونين في حالة $-\pi$ ومرة أخرى،

(105)

بما أن أحد الإلكترونين قد نشأ من مدار $2p$ لذا ينبغي أن نستخدم الرمز u في أسفل يمين رمز الحالة وعندئذ نكتب رمز الحالة النهائي كالتالي :



ولنأخذ جزيئة الأوكسجين كمثال آخر.

يوجد هنا الكترونان في $2p_y \pi^0_g$ متوزعان بانفراد على المدارين $2p_x \pi^0_g$,

وإن الزخمين الزاويين لهذين الإلكترونين يكونان متعاكسين وبالتالي فإن $\Lambda=0$

(حيث إن $\Lambda = \lambda_1 + \lambda_2 = 1 - 1 = 0$) وسيكون رمز الحالة Σ . وطالما أن كلا الإلكترونين

يمتلكان التماثل g وإن الانعكاس خلال مستوى التماثل xz بسبب في تغير الإشارة

$S = 1/2$ (حيث إن $2s+1=3$) أضف إلى ذلك فإن التعديدية هنا هي :

$1/2 = 1$) وعندئذ نكتب رمز الحالة النهائي بالشكل ${}^3\Sigma_g^-$

أما الآن فندون قواعد الاختيار التي تتحكم في الانتقالات الإلكترونية بين الحالات الطافية وكالآتي:

1- أن تكون $\Delta\Lambda = 0$, وهذا يعني أن الانتقالات $\Sigma \leftrightarrow \Sigma$ و $\Pi \leftrightarrow \Pi$ على سبيل المثال تكون مسموحة في حين الانتقال $\Delta \leftrightarrow \Sigma$ يكون غير مسموحا.

2- أن تكون $\Delta S = 0$ (أي لا يكون هنا تغير في البرم).

فالانتقالات: حالة أحادية \leftrightarrow حالة أحادية أو حالة ثلاثية \leftrightarrow حالة ثلاثية تكون مسموحة أما الانتقال حالة أحادية \leftrightarrow حالة ثلاثية تكون غير مسموحة .

3- في حالة الجزيئات ثنائية الذرة التي تمتلك مركز تماثل تكون الانتقالات محتملة من نوع $u \leftrightarrow g$ في حين تكون غير محتملة لأنواع $g \leftrightarrow g$ و $u \leftrightarrow u$.

4- وحتى تكون الانتقالات بين حالات محتملة ينبغي أن تكون بين $+ \leftrightarrow +$ و $- \leftrightarrow -$ ولكن ليس من نوع $- \leftrightarrow +$ وبالرموز نقول: $\Sigma^- \leftrightarrow \Sigma^+$, $\Sigma^- \leftrightarrow \Sigma^+$, $\Sigma^+ \leftrightarrow \Sigma^+$

وهكذا ففي مثالنا السابق (جزيء الهيدروجين) تتوقع حدوث الانتقالات

$\rightarrow_g^1 \Sigma^+$, $\leftarrow_u^1 \Sigma^+$ و هذين الانتقالين يعتبران المسؤولين عن الحزمتين الرئيسيتين في طيف امتصاص H_2 عند $nm 110.0$ و $nm 100.2$.

وعلى أية حال فالاستثناءات لهذه القواعد هو أمر مأثور وعلى الأخص مع جزيئات ثقيلة . فمثلاً تظهر أقوى الحزم في طيف امتصاص جزيئه الأوكسجين عند $nm 200$ وهي تعود لانتقال $\rightarrow_g^3 \Sigma^-$ وهذا الانتقال يخضع لقواعد الاختيار المذكورة أعلاه. ويتضمن طيف الأوكسجين أيضاً بعض الحزم الضعيفة التي تخرج قواعد الاختيار فمثلاً توجد حزمة عند $nm 760$ تعود لانتقال $\rightarrow_g^3 \Sigma^+$ و أيضاً حزمة ضعيفة جداً عند $nm 1300$ ناشئة من الانتقال $\rightarrow_g^1 \Delta_g$.

4.5 الأطیاف الإلکترونية لجزیئات متعددة الذرة:

يكون في أغلب الأحيان تحديد تركيب طيف امتصاص جزيئه متعددة الذرة إلى تهیجات خاصة لمجموعة من الذرات أو الأواصر، فمثلاً تعطي مجموعة الكربونيل $C=O$ حزمة متميزة خاصة بها. أما تأثير بقية الجزيئه (الحاوية) مجموعة الكربونيل على هذه الحزم فيكون ثانوياً (وتدعى هذه المجاميع بـ الكروموفورات (أي حاملات اللون) وعلى هذا الأساس، وطالما أن معظم خواص الأصرة (كتول الأصرة وطاقة تفكها) تكون مستقلة بدرجة كبيرة عن الذرات المحيطة الموجودة في الجزيئه (أي بكلمة أخرى أن خواص الأصرة تعتمد على التركيب الإلكتروني للأصرة) فإننا وبشكل تقريري يمكننا مناقشة التركيب وبالتالي الطيف لكل أصرة بشكل معزول لحد ما عن بقية الجزيئه. إن هذا التصور التقريري يكون مقبولاً مع جزيئات فيها المدارات الجزيئية متمرکزة *localized* في حين تصبح غير مقبولة مع المركبات الحاوية على أواصر متحركة *delocalized* على طول هيكل الجزيئه.

وهكذا وفقاً لهذا التصور يكون الطيف الإلكتروني الكامل لجزيء عبارة عن مجموع الأطیاف من كل أصرة، وبالتالي تكون النتیجة في غایة التعقید، ومع ذلك يبقى هذا الطيف متضمناً على معلومات غنية عن الجزيئه . فإذا سخّصنا الحزم العائدة لأصرة معينة فإننا سنعرف تردد اهتزاز وطاقة تفك تلك الأصرة .

أما ظهور التركيب الدواراني في الطيف يساعدنا في إيجاد عزوّم القصور الذاتي وبالتالي سنحصل على صورة عن اشكال وحجوم الجزيئات. إن الحصول

على مثل تلك المعلومات يكون ممكنا عند التعامل مع جزيئات في الحالة الغازية . ولكن عند استخدام السوائل النقية أو المحاليل فإن التركيب الدوراني الدقيق يكون غير واضح وقد يغطي عدم الوضوح هذا سلسلة الخطوط الاهتزازية والنتيجة هي الحصول على طيف الكتروني بحزم عريضة . ومع ذلك فإن موقع وشدة الامتصاص نتيجة لانتقال الإلكتروني يبقى مميزا للمجموعة الجزيئية الموجودة ضمن الجزيئه .

L

4-5-1 قياس شدة الامتصاص:

إن شدة الامتصاص لانتقال الكتروني يعطى بالمعادلة البسيطة التالية :

$$\epsilon = 1/cL \quad \log I_0/I \quad (13-5)$$

حيث c و L تمثلان تركيز *concentration* و طول المسار *path length* للنموذج على التوالي .

وإن ϵ تشير إلى شدة الضوء ذي الطول الموجي λ_{max} الساقط على النموذج في حين تعود α إلى شدة الضوء النافذ من النموذج . أما μ تمثل معامل الأضعاف المولاري *molar extinction coefficient* وأن مداه يتراوح بين $10^5 * 5$ (بالنسبة إلى أقوى الحزم) إلى واحد أو أقل لامتصاصات ضعيفة جدا، ويعتمد على الجزيئه وعلى تردد الضوء أما وحداته فهي $M^{-1}cm^{-1}$ وتدعى النسبة A_0 بالنفاذية *transmittance* ويرمز لها عادة T . ويعرف التعبير $\log I_0/I$ بالامتصاصية *absorbance* (وتدعى أيضا بالكثافة البصرية) ويرمز لها A وعندئذ نكتب الاتي (وذلك بالاستعانة بمعادلة (13-5)) :

$$A = \epsilon cL \quad (14-5)$$

وأيضا :

$$T = 10^{-\epsilon cL} \quad (15-5)$$

مثال : أمرر ضوء طوله الموجي $nm256$ خلال خلية سمكها $nm1.0$ وتحتوي على محلول $0.05M C_6 H_6$ وقد وجد بأن شدة الضوء قد انخفضت إلى 16% من

قيمته الأولية. احسب الامتصاصية ومعامل الأضعاف المولاري للنموذج. كذلك أوجد النفاذية خلال خلية سمكها $.mm2.0$.

الحل : نستخدم معادلة (13 - 5)

$$\epsilon = \frac{1}{(0.05M)(0.1cm)} \log I_0 / 0.16I_0 = 160 M^{-1} cm^{-1}$$

والآن نستخدم معادلة (14 - 5) لإيجاد الامتصاصية .

$$A = (160 M^{-1} cm^{-1}) (0.05 M) (0.1 cm) = 0.80$$

أما النفاذية خلال خلية سمكها $mm 2.0$ هي :

$$T = 10^{-(160M^{-1}cm^{-1} * 0.05M * 0.2cm)} = 0.0525$$

وهذا يعني أن الضوء النافذ سينخفض إلى 2.5% من شدته الساقطة . إن حزم الامتصاص تنتشر عادة فوق مدى واسع من الترددات وإن إعطاء معامل الامتصاص عند قيمة تردد منفردة قد لا يمثل الدلالة الحقيقة لشدة الانتقال. ولذا فقد جرى التأكيد على إيجاد معامل الامتصاص التكاملي *integrale absorption coefficient*

grated absorption coefficient وهو يمثل مجموع معاملات الامتصاص لجميع الترددات التي تغطيها الحزمة. أي تكتب:

$$\epsilon = \int \epsilon(v) dv \quad (16-5)$$

وإن هذا المعامل التكاملي يقيس القوة الكلية للانتقال ووحداته $M^{-1} cm^{-1} s^{-1}$ (أو $s^{-1} mmol^{-1} cm^2$). ويعبر أحيانا عن معامل الامتصاص التكاملي بدلاله قوة أو شدة المهر *oscillator strength* ويرمز له بـ f (وهو حال من الوحدات) . وإن الصيغة العملية لهذه العلاقة تكتب كالتالي :

$$f = 1.44 * 10^{-19} (\epsilon cm^2 mmol^{-1} s^{-1}) \quad (17-5)$$

مثال : يمتلك انتقال إلكتروني في البنزين معامل امتصاص. مولاري مقداره 160 $cm^2 mmol^{-1}$ وينتشر فوق حوالي $4000 cm^{-1}$ احسب قوة المهر.

(109)

الحل : كصيغة تقريرية نتصور أن المساحة (التي تغطيها الحزمة) تساوي الارتفاع * العرض، وإن العرض كتردد v نحصل عليه من العلاقة $v = cv$ (حيث c هي سرعة الضوء) أما عفتمثل الارتفاع وهكذا تكتب :

$$f_0 = \epsilon(c v') = (160 \text{ cm}^2 \text{ mmol}^{-1})(2.997 \times 10^{10} \text{ cm s}^{-1} \times 4000 \text{ cm}^{-1}) \\ = 1.9 \times 10^{16} \text{ cm}^2 \text{ mmol}^{-1} \text{ s}^{-1}$$

والآن نجد

$$f = 1.44 \times 10^{-19} (1.9 \times 10^{16}) \\ = 2.8 \times 10^{-3}$$

في هذا المثال ظهرت لنا قيمة f أقل بكثير من واحد وهذا يشير إلى أن الانتقال يكون غير مسموح به .

2.4.5 أنواع الانتقالات الإلكترونية :

يمكن تصنيف الإلكترونات في معظم الجزيئات إلى ثلاثة أنواع هي:

الكترونات - σ (سكم)

الكترونات - π (پاي)

الكترونات - η (غير الارتباطية)

وبصورة عامة تكون الكترونات- σ أكثر ارتباطاً بالنوى وبذل فهي تحتاج إلى طاقة عالية من أجل إنجاز الانتقالات. بينما تتطلب الكترونات النوعين الآخرين طاقة أقل، وفي الأغلب تتطلب الكترونات - η طاقة أقل مما تتطلبه الكترونات - π من

الطاقة لأجل إتمام الانتقال الكتروني. إن الانتقال $\sigma \rightarrow \sigma$ يظهر في منطقة فوق

البنفسجية الفراغية أو البعيدة (وهي تقع عند أطوال موجية أقل من 200 nm) أما

الانتقالات $\pi \rightarrow \pi$ و $\sigma \rightarrow \pi$ فتظهر عند الحدود بين منطقتي فوق البنفسجية

القريبة والبعيدة (أي قريباً من 200 nm) في حين نلاحظ الانتقال $\pi \rightarrow \eta$ في

منطقتي فوق البنفسجية القريبة (nm200- nm400) والمرئية

(110)

(400nm-750nm). تعطي جزيئات الهيدروكربونات المشبعة انتقالات من نوع $\sigma \rightarrow \sigma$ فقط.

فمثلاً للميثان والإيثان يكون هذا الانتقال ظاهرة عند 122 nm و 135 nm على التوالي. وكما هو واضح تفقد أطيفات هذا النوع من الجزيئات أية أهمية تحليلية طالما أن أطيفاتها تقع خارج المدى المتوفر الذي تصل إليه الأجهزة التجارية (وهو لحوالي 185 nm). وفي حالة إدخال مجموعة تحوي إلكترونات n في الجزيئة فإننا سلاحظ ظهور انتقال إضافي هو $\sigma \rightarrow n$ وكذلك ازدياد الطول الموجي الذي يظهر عنده الانتقال $\sigma \rightarrow \sigma$ فمثلاً لـ CH_3NH_2 وجد الانتقال $\sigma \rightarrow \sigma$ عند 170 nm والانتقال $\sigma \rightarrow n$ عند 213 nm. وعلى أية حال فإن الأطيفات التي تحتل أهمية كبيرة هي تلك العائدة للجزيئات غير المشبعة. ففي حالة وجود أصارة مزدوجة *double bond* في جزيئة: يرفع الامتصاص الكترون π إلى مدار π مضاد الارتباط. وبالتالي فإن فعالية الكروموفور (حامل اللون) هي بالأساس نتيجة لانتقال الإلكتروني $\pi \rightarrow \pi$.

وفي المركبات الكربونيلية يظهر امتصاص ناتج من الانتقال الإلكتروني لأحد الكتروني المزدوج الحر (غير المرتبط) في الأوكسجين إلى مدار π الفارغ لمجموعة الكربونيل ويرمز لهذا الانتقال بـ $\pi \rightarrow n$ وهو ضعيف الشدة.

إن العامل الأكثر أهمية في تحديد موقع قمم الامتصاص (*maxima*) لهذه الجزيئات هي نوعية الذرات المترابطة بأصارة مزدوجة وندون أدناه قيم الطول الموجي لقمة الامتصاص (λ_{max}) للانتقالات $\pi \rightarrow n$ و $\pi \rightarrow \pi$ لبعض حاملات اللون :

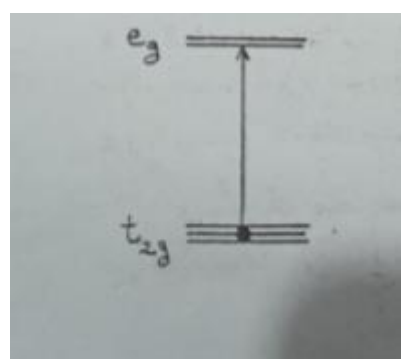
$\pi - \pi^*$ امتصاص ضعيف (nm)	$\pi \rightarrow \pi^*$ (امتصاص قوي) (nm)	الكروموفور
280	170	$\text{C} = \text{C}'$
300	160	$\text{C} = \text{O}$
350	190	$\text{C} = \text{N}'$
500	—	$\text{N} = \text{N}'$
	—	$\text{C} = \text{S}$

ويتضح من هذه القيم بأن الانتقالات $\pi \rightarrow \pi$ تتأثر قليلاً بتغيير الذرات المترابطة في حين يظهر التباين كبيراً بالنسبة لانتقالات $\pi \rightarrow n$.

إن النتائج المذكورة أعلاه هي تقريرية فقط وذلك لأنه عند وجود معلومات مختلفة على مجموعة $A=B$ سيعطي تغييرات في الطول الموجي لانتقال $n \rightarrow \pi$

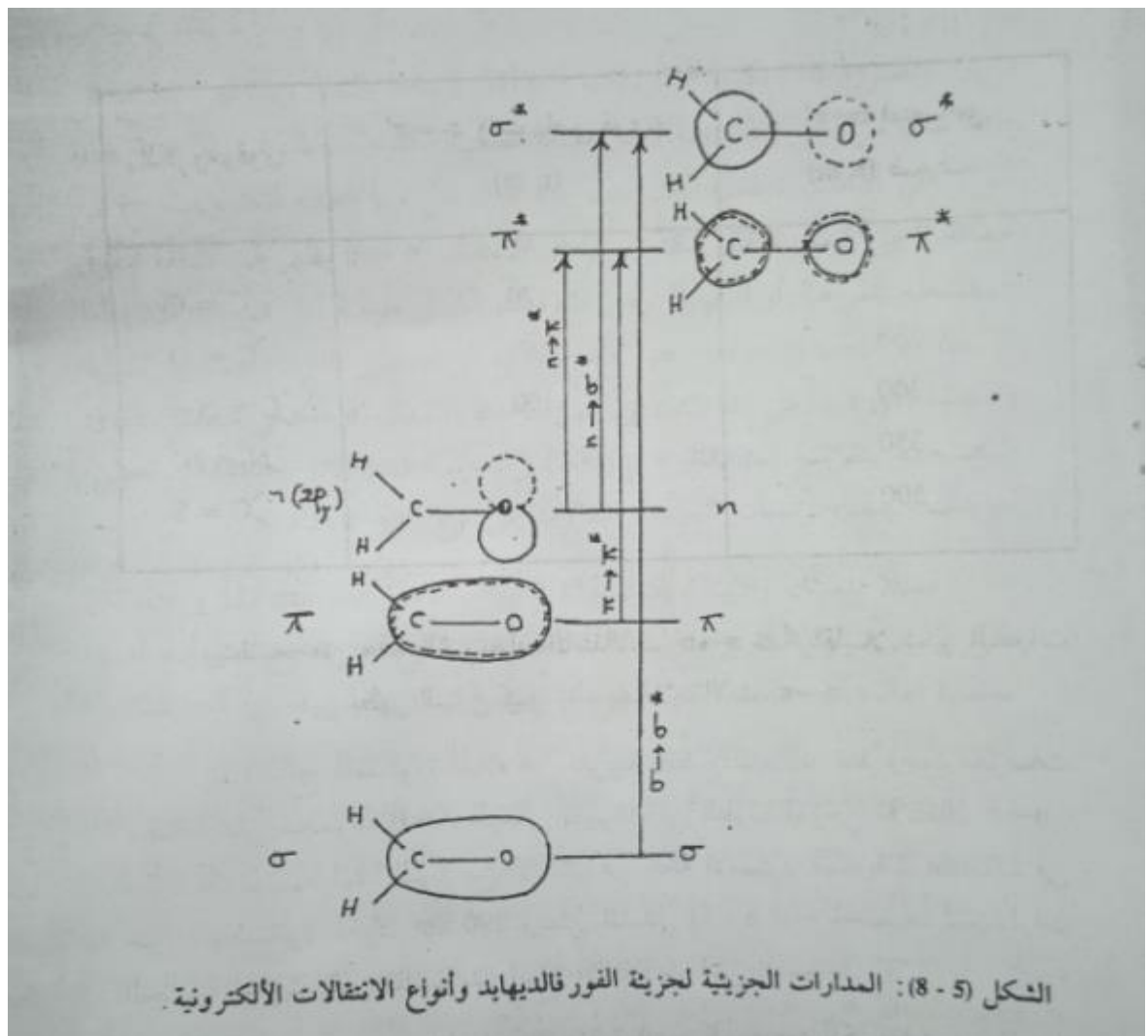
فمثلاً تكون λ_{max} لهذا النوع من الانتقال في حالة الأسيتون مساوية ل 272 nm في حين للهكسانون تكون 290 nm ويمثل الشكل (5 - 8) أدناه تخطيطاً للمدارات الجزيئية لجزيئه الفورمالديهايد وأنواع الانتقالات التي تتضمنها.

أما ألوان معقدات الفلزات الانتقالية فتعود إلى وجود الكترونات من نوع d - (d electrons) والتي عندئذ تسلك كحامِ اللون (الكروموفور).



يؤدي وجود المرتبطات (أو الليغاندات) Ligands إلى تقسيم مدارات - d (112)

للذرة المركزية إلى طائفتين : مدار ذي تماثل e_g (ثنائي الانحلال *doubly degenerate*) وأخر من نوع t_{2g} (ثلاثي الانحلال) وأن الانتقال الإلكتروني : $t_{2g} - e_g$ يقع في المنطقة المرئية .



الشكل (5 - 8): المدارات الجزيئية لجزيئ الفور فالديهايد وأنواع الانتقالات الإلكترونية .

فمثلاً يظهر هذا الانتقال ل $Ti(H_2O)_6^{3+}$ قريباً من $500 nm$ وثمة نقطة هنا نود ذكرها وهي أن هذا النوع من الانتقالات يكون غير مسموح له وفقاً لقاعدة الاختيار للمعقدات التي تحوي مركز تماثل (أي إن: $u \rightarrow g$ يكون مسموها وإن $g \leftrightarrow g$ هو غير مسموح) ولكن في حالة انخفاض أو اخترال تماثل الجزيئية من جراء حدوث اهتزاز سيؤدي هذا إلى إزالة مركز تماثل المعقد وبالتالي تتخلص من g و u ويصبح الانتقال مسموها له (ولو بدرجة ليست قوية).

ويمكن أن يمتلك معقد فلز انتقال ضوءاً أيضاً كنتيجة لنقل شحنة الكترونية

من الليكائدات إلى مدارات d للذرة المركزية أو بالعكس. والحزمة الطيفية العائدة لهذا النوع من الانتقالات تعرف بحزمة نقل الشحنة *charge-transfer* وهي تظهر مثلاً لايون المنغنات MnO_4^- عند $420-700\text{ nm}$ وهي المسؤولة عن لونه البنفسجي العميق.

5.5 الأجهزة المستخدمة في قياس الأطيف الإلكترونية :

إن الأجزاء الرئيسية لأي مطياف هي:

1- مصدر الإشعاع : يعتبر مصباح التنكستن مناسباً في المنطقة المرئية وكذلك بجوار المنطقة فوق البنفسجية القريبة (بين $nm 350, 800$) أما تحت هذا المدى وإلى $nm 190$ فيستخدم مصباح التفريغ الهيدروجين الكهربائي. في حين تستخدم مصابيح تفريغ الغازات نادرة (مثل الزيتون) إلى ما دون ذلك المدى الأخير

2 - خلايا النماذج: تصنيع خلال النماذج عادة من الزجاج أو الكوارتز وهي تستعمل في منطقتي المرئية وفوق البنفسجية القريبة (حدود حوالي $nm 200$) أما تحت هذه المنطقة تستخدم خلايا مصنوعة من فلوريدات العناصر القلوية مثل فلوريد الليثيوم أو فلوريد الكالسيوم وهذه المواد شفافة للضوء لحوالي $nm 100$. وتستخدم عادة خليتان واحدة تحوي محلول قيد الدراسة والثانية مملوئة بالمحلول المرجعي .

3- محلل والمشخص: تستخدم الأجهزة الحديثة محزر انعكاس *reflecting grating* بدلاً من المواشير *prisms* حيث تعطي الأولى قدرة تحليلية عالية تساعدنا في اختيار وقياس الطول الموجي بصورة أكثر دقة. أما المشخص المستخدم في الدراسات المرئية - فوق البنفسجية فهو إما لوح فوتوغرافي *photo-graphic plate* أو مضخم ضوئي *photomultiplier* ويتصل المضخم عادة بالمسجل الذي يدون الطيف بدلاله الامتصاصية أو النفاذية مقابل الطول الموجي أو العدد الموجي.

أسئلة عامة

(1) يحتوي طيف امتصاص جزيئه الأوكسجين تركيبا اهتزازيا (ظهر حزم) ثم يصبح تركيبا مستمرا عند 56876 cm^{-1} وتتفاك الحالة الإلكترونية العليا (المتهيجة) إلى ذرة أوكسجين في حالة دنيا مستقرة وأخرى في حالة متهيجية (طاقة تهيئها تساوى 15875 cm^{-1}) اوجد طاقة تفك الحالة الإلكترونية المستقرة (الدنيا) لجزيئه الأوكسجين₂ O_2 .

(2) ما هو مقدار اللادقة *incertainty* في طاقة حالة متهيجية عمرها $1ps$? أعط جوابك بوحدات cm^{-1} .

(3) عند $330nm$ يمتلك الأيون $Fe(CN)_6^{3-}$ في المحلول المائي معامل امتصاص مولاري $=800M^{-1}\text{cm}^{-1}$, $Fe(CN)_6^{4-}=320M^{-1}\text{cm}^{-1}$ وقد تم متابعة اخترال $Fe(CN)_6^{3-}$ إلى $Fe(CN)_6^{4-}$ بطريقة طيفية في خلية طول مسارها 1.00cm وإن المحلول يمتلك تركيز بدائي $L = 1 \times 10^{-3} M$. مقداره احسب النسبة المئوية $Fe(CN)_6^{3-}$ المتفاعلة

(4) في منطقة فوق البنفسجية أعطى المركب $CH_3CH=CHCHO$ حزمة امتصاص قوية عند 46950cm^{-1} وامتصاص ضعيف عند 30000cm^{-1} بين ان هذه الامتصاصات الطيفية في توافق مع تركيب المركب

(5) أعطت الحسابات النظرية لقوة المهتز لمجموعة من الانتقالات القيم التالية :
 $0.91, 3.2 \times 10^{-9}, 6.2 \times 10^{-5}, 0.75, 2.9 \times 10^{-2}$

صنف هذه القيم باستخدام تعبير : قوي، ضعيف، غير مسموح .

الفصل السادس

استعمالات الطيف الجزيئي

يستخدم الطيف الجزيئي في معرفة ثابت القوة للجزيء ، وفي معرفة المجاميع الفعالة ، وفي معرفة المسافات بين الذرات ، وفي معرفة طاقة التفكك للجزئيات.

أ- ثابت القوة للجزيء او الرابطة في الجزيء :

ثابت القوة *force constant* معناه القوة التي تضاد أي تشويه في الرابطة أو في زاوية معينة في الجزيء لمسافة سنتيمتر واحد . و القوة التي تضاد التشويه تتناسب مع القوية التي تعمل على تشوية الجزيء (تغيير أبعاده) فالجزيء الذي يتعرض إلى قوة عالية للتشويه لا شك أنه يحتاج إلى قوة عالية كى تضاد التشوية . ويمكن تعريف التشوية بأنه الانحراف عن التوزيع المتزن للأنواع والقوة التي تعمل على العودة إلى الوضع الطبيعي هي القوى التي تعمل على منع زيادة طول رابطة معينة، وبهذا فان القوة المذكورة تتناسب طرديا مع التغير في طول الرابطة ، وهي القوى التي تعمل على منع زيادة زاوية بين رابطتين خارجتين من ذرة واحدة ، وعلى هذا فإنها تتوقف على مقدار التغير في الزاوية ويلاحظ أن تردد طيف التذبذب يتوقف على كتلة الذرات وعلى القوة المضادة للتشوية .

ويمكن التعبير عن دالة المكانية بالمعادلة .

$$\text{طق} = \sum \frac{1}{2} \theta_c \Delta L^2 + \sum \frac{1}{2} \theta_c \Delta a^2$$

حيث طق = الطاقة المكانية ، θ_c = ثابت القوة لتمدد الرابطة ، θ_c = ثابت القوة للانثناء ، L = طول الرابطة ΔL = مقدار التغير في طول الرابطة ، a = الزاوية Δa = مقدار التغير في الزاوية .

و يمكن حساب ثابت القوة من المعادلة الآتية التي تعتبر عن حركة نظام متذبذب متماثل *harmonie oscillator* بالمعادلة الآتية :

$$2 \text{ ط ذ س} = (\theta_c / k) \quad (184)$$

حيث (θ_c) عبارة عن ثابت القوة للجزيء ، و(k) عبارة عن تردد الخط الطيفي للنظام المتذبذب المتماثل ، (s) سرعة الضوء و(k) تساوى الكتلة المختزلة

$$(116)$$

و نحسب (ك) كالتالي :

$$\text{لـك} = \frac{1}{\text{لـك}_1 + \frac{1}{\text{لـك}_2}} \quad (185)$$

حيث (ك₁) و (ك₂) عبارة عن كتلة الذرة (1) والذرة (2) على الترتيب .

فإذا عرفنا تردد الخط الطيفي الناشئ من تذبذب الانوية فإننا نستطيع حساب ثابت القوة من المعادلة المذكورة . والنتائج لها ليدات الإيدروجين مدونة في الجدول (19) . من هذا الجدول نجد أن قوة الرابطة بين الهايوجين والإيدروجين يقل كلما زاد الوزن الذري للهايوجين و هذا يفسر لنا سهولة انكسار الرابطة بين الذرتين كلما

جدول رقم (19)		
ذسم -	نق دايت / سـم	المركب
٤١٤١	٠١٠٢٩٢	يد فل
٢٩٨٩	٠١٠٤٨	يد كل
٢٦٥٠	٠١٠٣٩	يد بر
٢٠٣٩	٠١٠٣٠	يد ي

زاد الوزن الذري . فإذا افترضنا أن ثابت القوة لا يتغير باستبدال الذرة بنظير آخر للعنصر *isotope* فإنه حسب المعادلة (184) نجد أن قيمة الكتلة المختزلة قد تغيرت (لأن مقلوب (ك) يساوي مجموع مقلوب الكتلتين) و تبعاً لذلك لابد أن يتغير التردد (د) و بذا فان موضع الخط الطيفي لابد أن يتغير . ولقد وجد أن مقدار تغير مكان الخط الطيفي في طيف الدوران والتذبذب يتفق الناتج من التجربة مع المحسوب بالمعادلة . ويلاحظ أن ثابت القوة لرابطة معينة بين ذرتين ثابتة تقريباً كما يجب أن تتوقع .

غير أن باقي الجزيء له أثر معين فمثلاً التأرجح يغير طبيعة الرابطة و بذا يتغير

مكان الخطط الطيفي في طيف الدوران والتذبذب عن مكانه في حالة عدم وجود تأرجح في الجزيء . ومن الأمثلة على ذلك جزء البنزين الذي يتآرجح بين وضعين فهل يا ترى يكون ثابت القوة لرابطة فردية فقط أو لرابطة مزدوجة فقط مثل رابطة تتآرجح بينهما القوة ، طبعا لا ، لأن عملية التأرجح تغير ثابت القوة بالنسبة للرابطة.

إذن ثابت القوة للرابطة يدل على ماذا كان هناك تأرجح في الجزيء أم لا . وإليك ثابت القوة بالداين لكل سنتيمتر واحد في الروابط المختلفة:

$k = k_{\text{Ar}} \times 10^5 \times 18.6$	$k = k_{\text{Ar}} \times 10^5 \times 12.3$
$k = k_{\text{N}_2} \times 10^5 \times 12.1$	$k = k_{\text{N}_2} \times 10^5 \times 15.8$
$k = k_{\text{O}_2} \times 10^5 \times 17.5$	$k = k_{\text{O}_2} \times 10^5 \times 4.9$
$k = k_{\text{N}_2\text{O}_4} \times 10^5 \times 10.8$	

ولعل من الملحوظ أن قيمة ثابت القوة تزيد تقريريا بما يتناسب مع تعدد الروابط بين ذرتين : وبذا إذا حسبت قيمة (γ) لرابطة فردية فأنا نستطيع أن نستدل منها إلى حد ما على القيمة المتوقعة لثابت قوة الرابطة(γ) في حالة الرابطة المزدوجة والرابطة الثلاثية . ويلاحظ أن قيمة (γ) المحسوبة للرابطة ($k = \gamma$) هي التي وجدت بالتجربة بالنسبة لأول أكسيد الكربون وهذا ولا شك يدل على طبيعة الرابطة بين (k) ، (γ) في هذا المركب .

أما قيمة (γ) \equiv المرابطة ($k = \gamma$) فهي مره 15.3×10^5 داين لكل سنتيمتر واحد وهذا يتفق مع التركيب الذي يدل على التأرجح في مثل هذا النوع من الجزيئات . (15.3×10^5 لا تتفق مع 12.3×10^5 ولا مع 18.6×10^5) أي أن الرابطة لا بد وأنها تتآرجح بين رابطة فردية وأخرى مزدوجة ، فالرابطة ولا شك لها مسلك وسط بين

الرابطة الثنائية ومسلك الرابطة الثلاثية ، و يمكن تلخيص الموقف فنقول إن ثابت القوة يمكننا أن نعرف الآتي :

- ١- قوة الرابطة ومدى سهولة كسرها .
- ٢- درجة الرابطة (أحادية أو ثنائية أو متارجحة) .
- ٣- قد يدلنا على ما قد يحدث في الرابطة من ثني وما يحدث في الجزيء من تغير في الزوايا .

ويمكن ملاحظة الآتي :

- ١- إن الأرقام التجريبية لتردد طيف التذبذب تأتي رئيسياً من طيف الأشعة تحت الحمراء ، ومن طيف رaman . ويلاحظ أن النتائج متغيرة بسبب اختلاف أنواع الأجهزة المستعملة ، ولأن التفسير الطيفي ليس قاطعاً على الدوام .
- ٢- إن التفسيرات والنظريات الخاصة بطياف التذبذب قد وضعت للجزيء على أنه في حالة انفراد . و لكن رaman يقدر في السوائل، و طيف الأشعة تحت الحمراء يقدر في الغازات أو السوائل أو المادة الصلبة . وليس من المعروف على وجه التحديد تأثير التجمع في صورة سائل أو صلب على تردد طيف التذبذب .
- ٣ - ليس من المعروف بدقة إلى حد يمكن استعمال قيمة ثابت القوة المأخوذة للرابطة في جزيء معين بالنسبة لرابطة مماثلة في جزيء آخر .
- ٤ - إن قيم ثابت القوة لرابطة معينة في جزيء معين قد تختلف من باحث لآخر ، فمن ذلك وجد أن قيمة (ث) المرابطة (ك - كل) تتراوح بين $10^{4.42}$ إلى $10^{3.35}$ داين لكل سم . هذا التغير لا يرجع إلا صعوبة إمكان دالة القوة المكانية المناسبة ، وهذه هي أهم صعوبة في هذا المجال .
- ٥-إن قيمة ثابت القوة لانثناء لا يعول عليها بنفس الكيفية .

ولكن رغم ذلك كله فإن ثابت القوة له قيمته الكبرى كدليل لمسلك الرابطة .

ط ذ س = ث / ك (184)

ب - التردد الميز :

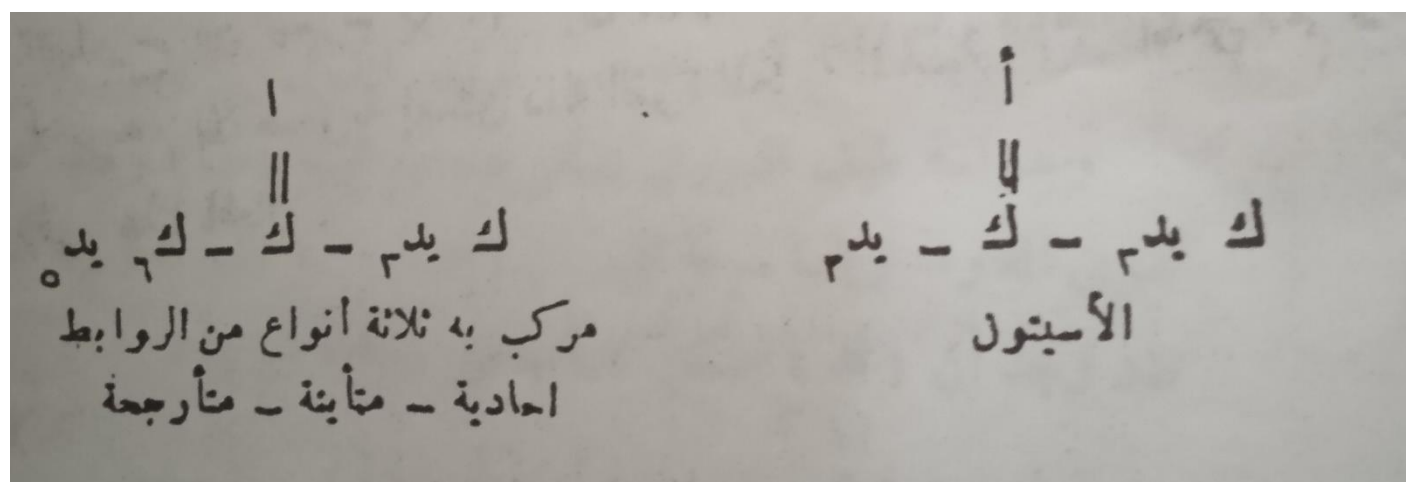
إن التردد المقدر من الطيف هو التردد الناتج من طرق تذبذب الجزيء بأكمله ، ولقد

(119)

أصبح من الواضح أن ثابت القوة للرابطة هو أهم العوامل التي تؤثر في تردد خط طيفي معين في طيف التذبذب والدوران . ومن هنا أمكن ربط كل رابطة بترددات طيفية معينة و مميزة للرابطة . هذا تقرير ولا شك ولكنه برهن على قدرته الكبيرة .

عند النظر إلى المعادلة رقم (184) نجد أن (س)، (ثق)، (ك) ثابت ، إذن لابد أن (ذ) ثابتة هي الأخرى ، وبذا يكون التردد مميزا لنوع المركب ونوع رابطه . وهكذا بمعرفتنا للتردد يمكننا معرفة(ثق)الملازمة لهذا التردد و نعرف الرابطة التي تقابل مثل هذه القوة أي أن التردد ظاهرة لنوع الرابطة ، وفي حالة التعرف على نوع الرابطة فان طيف رامان أكثر استعمالا في هذا الصدد وذلك لأن الفرق في التردد

بين الشعاع الساقط و الشعاع المنتشر *scattcaed* يعطى مباشرة تردد خطوط التذبذب *vibration* للجزيء على وجه التقرير .. ولا شك أن قيمة



تردد الخطوط الطيفية ، يتوقف على باقي الجزيء : من الأمثلة على ذلك دراسة طيف المجموعة الكربونيلية (ك = أ) ففي جزيء الأسيتون نجد أن هذه المجموعة معزولة ولا تتأثر بشيء في الجزيء ، أما في حالة جزيء المركب فيناليل ميثايل كيتون، نجد أن المجموعة الكربونيلية تدخل في تأرجح مع باقي الروابط المزدوجة في النواة البنزينية ، ولذلك فان تردد الخطوط الطيفية المقابلة لامتصاص المجموعة الكربونيلية المنعزلة لا يكون في نفس المكان تماما الذي تمتص فيه نفس المجموعة عندما تتفاعل إلكترونيا مع باقي الجزيء بل تحدث انحياز *shifting* لمكان القمة عند أقصى درجة لامتصاص بقدر يتوقف على مقدار هذا التفاعل أو التداخل الإلكتروني . ولابد إذن أن تكون (ثق) مختلفة النوعي أي أن ثابت القوة يكون مختلفا إلا أن تردد طيف مجموعة الكربونيل في أي مركب لا يحدث فيه تأرجح يكون ثابتا لأن (ثق)

تكون ثابتة لجميع المركبات التي لا يدخل فيها ظاهرة التأرجح. والقيم الآتية لعدد من الروابط تقريبية.

جدول رقم (٢٠)

الردد سم - ١	الرابطة	الردد سم - ١	الرابطة
١٧٥	$k = \frac{1}{l}$	٨٦٠ - ٨٠٠	$k = \frac{1}{l}$
١٧١٠	$k = \frac{1}{l}$	١٦٥٠ - ١٦٠٠	$k = \frac{1}{l}$
٢١٦٠	$k = \frac{1}{l}$	١٢٥٠ - ١٢٠٠	$k = \frac{1}{l}$
٩٣٠ - ٨٨٠	$k = n$	٨٨٠ - ٨٢٠	$k = \frac{1}{l}$
١٦٥٠	$k = n$		
٢١٥٠	$k = \frac{1}{l}$		

٥ - المسافة بين الدرات في الجزي :

لما كانت القوى المقاومة لزيادة سرعة الدوران (في مسار دائري) يمكن الحصول عليها من أبسط أنواع طيف الدوران حيث أنه في الجزيئات ثنائية الذرة يتميز بأنه يتكون من خطوط بينها أبعاد متساوية بحيث يكون مقدار الفرق في تردد هذه الخطوط هو (ΔT^2) على هذا فإن دراسة الطيف تعطي معلومات دقيقة عن أبعاد الجزي حسب المعادلة الآتية :

$$(186) \quad \frac{\Delta T}{T^2} = \frac{B}{4M}$$

$$(187) \quad \Delta T = 2B M$$

حيث (ΔT) تساوى القوى المقاومة لزيادة سرعة الدوران (B) العدد الموجي للخط الطيفي.

(س) سرعة الضوء ، (م) العدد الكمي للدوران .

(121)

فإذا كان $(M) = 1$ ، فإن (d) (العدد الموجي) يساوى $(2B)$ ، وإذا كانت (M) تساوى (2) فإن (d) تساوى $(4B)$ وهذا كما في المعادلة رقم (187)

و بدراسة طيف الدوران يمكن حساب قيمة (B) ومنها تحسب قيمة القوى المقاومة لزيادة سرعة الدوران (قد) وبالنسبة للجزي الثنائي الذرة فقد وجد أن (قد) يمكن حسابها من المعادلة الآتية :

$$\text{قد} = k L^2 \quad (188)$$

حيث (L) هنا عبارة عن المسافة بين النواتين (k) كما نعلم هي الكتلة المختزلة ومن هنا يمكن حساب المسافة بين ذرتين من قياس العدد الموجي من طيف الدوران .

ومن الجدول الآتي رقم (21) يمكن معرفة (L) بمنتهى السهولة :

جدول رقم (21)		
d	M	المركب
$10 \times 10^{-8} \text{ آنجستروم}$	$10 \times 10^{-4} \times 135$	يد فل
$10 \times 10^{-8} \text{ ميكرون}$	$10 \times 10^{-4} \times 265$	يد كل
$10 \times 10^{-8} \text{ ميليمتر}$	$10 \times 10^{-4} \times 331$	يد بر
$10 \times 10^{-8} \text{ متر}$	$10 \times 10^{-4} \times 422$	يد ي

و بالنسبة للجزيئات الأكثر تعقيداً حيث يوجد ثلاث قيم للقوى المقاومة لزيادة سرعة دوران وعدد من المسافات بين الذرات ، لذلك نجد أن العمليات الحسابية تزداد تعقيداً . ويلاحظ أن المسافات بين الذرات التي يكون أحدها ذرة أيروجين يكون من الصعب تقديرها بطرق أخرى غير هذه الطريقة والقيمة المحسوبة لطول الرابطة من

(122)

طيف الميثان والأمونيا والماء هي كالتالي :

أ_ يد انجستروم 0.96

ن_ يد انجستروم 1.01

ك_ يد انجستروم 1.09

وبحساب أن القوة المقاومة لسرعة الدوران أمكن حساب المسافة بين الروابط الآتية:

ك=ك تساوي انجستروم 1.31

ك=ك تساوي انجستروم 1.20

والدراسات الطيفية تفيد أيضا في دراسة طاقة الرابطة.
